

จุฬาลงกรณ์มหาวิทยาลัย

จังหวัดเชียงใหม่

๑๕ ก.พ. ๒๕๖๔



รายงานการวิจัย

การใช้ฟูมซิลิกาที่ปรับสภาพผิวด้วยไชเลนในผลิตภัณฑ์โฟมยางที่ผลิตจาก น้ำยางธรรมชาติ

Using of Silane Treated Fume-Silica in Rubber Foam Product Made
from Natural Rubber Latex

เอกสารนี้ พุ่มนก
รัฐพงษ์ หนูหมาย
วรรณฤทธิ์ หมื่นพล
อัسمາ ศิริการ
อะตีไฟ บุตรา



สำเนาที่ได้รับการอนุมัติโดยคณะกรรมการคุณภาพของมหาวิทยาลัย

มหาวิทยาลัยราชภัฏสงขลา

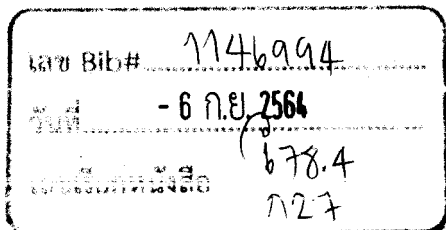
รายงานวิจัยฉบับนี้ได้รับเงินอุดหนุนการวิจัยจากงบประมาณกองทุนวิจัย
มหาวิทยาลัยราชภัฏสงขลา

พ.ศ. ๒๕๕๙

ชื่องานวิจัย	การใช้ฟูมซิลิกาที่ปรับสภาพผิวด้วยไฮเดนในผลิตภัณฑ์โฟมยางที่ผลิตจากน้ำยางธรรมชาติ
ผู้วิจัย	เอกฤกษ์ พุ่มนก และคณะ
คณะ	วิทยาศาสตร์และเทคโนโลยี
ปี	2559

บทคัดย่อ

ในงานวิจัยนี้ได้ศึกษาการเตรียมดิสเพอร์สชันฟูมซิลิกา สภาพการปรับสภาพผิวของฟูมซิลิกาด้วยสารคู่ควบคุมไฮเดน (Si69) ผลกระทบปริมาณ Si69 และปริมาณของซิลิกาที่ปรับสภาพผิวด้วย Si69 (Si69) ที่มีต่อการแปรรูปและสมบัติของโฟมยาง โดยพบว่าปริมาณของซิลิกาที่เพิ่มขึ้น ทำให้ดิสเพอร์สชันซิลิกามีปริมาณของแข็งทั้งหมด และความหนืดเพิ่มขึ้น ในขณะที่ความหนาแน่น และค่า pH ลดลงปริมาณแอมโมเนียในดิสเพอร์สชันซิลิกาที่เพิ่มขึ้นทำให้ปริมาณของแข็งทั้งหมด ความหนาแน่น pH แต่ความหนืดลดลง ซึ่งสภาวะที่เหมาะสมคือปริมาณ SiO_2 และแอมโมเนีย คือร้อยละ 25 และ 10 ตามลำดับ โดยใช้วัลatham อาร์อยด์ 1 และน้ำกากลันร้อยละ 64 บอคอลิปเป็นเวลา 72 ชั่วโมง ในการเตรียมฟูมซิลิกาปรับสภาพผิวด้วยไฮเดน Si69 ที่นำไปใช้ในโฟมยางและให้สมบัติที่ดี สภาวะที่เหมาะสม คืออุณหภูมิในการทำปฏิกิริยา 60 องศาเซลเซียส และปริมาณ Si69 ร้อยละ 5 พบว่าที่อุณหภูมิปฏิกิริยาสูง ปริมาณ Si69 ที่เพิ่มขึ้น ต่างผลให้ความต้านทานต่อการดึงยึด และความสามารถในการยึดจนขาดเพิ่มขึ้น แต่ความต้านทานต่อแรงกด และค่าการจัดตัวเนื่องจากการอัดลดลง ในทางกลับกัน ที่อุณหภูมิในการทำปฏิกิริยาต่ำ เมื่อปริมาณของไฮเดนเพิ่มขึ้น ทำให้ค่าความต้านทานต่อแรงกด และค่าการจัดตัวเนื่องจากการอัดมีค่าสูงขึ้น แต่ความต้านทานต่อการดึงยึด และความสามารถในการยึดจนขาดลดลง การใช้ Si69-t- SiO_2 ในโฟมยาง ในปริมาณน้อย (0.8-2.5 phr) ไม่มีผลต่อการแปรรูปของโฟมยาง ขนาดของเซลล์โฟมยาง การจัดตัวเนื่องจากการการอัด และความต้านทานต่อการดึงยึด แต่ทำให้ความแข็ง และความสามารถในการยึดจนขาดเพิ่มขึ้นเล็กน้อย ซึ่งปริมาณ Si69-t- SiO_2 ที่เหมาะสมของ คือ 2.5 phr



Research Title Using of Silane Treated Fume-Silica in Rubber Foam Product Made From Natural Rubber Latex

Researcher Ekaroek Phumnok et al.

Faculty Science and Technology

Year 2017

Abstract

In this research, the preparation of fume silica displacement, the surface treatment conditions of silica fume with silane coupling agent (Si69) and the effect of coupling silane (Si69) content and Si69 treated fume silica (Si69-t-SiO₂) on processing and mechanical properties of foam rubber were studied. It was found that the increased amount of silica made the total solids content and viscosity increase, while the density and pH decrease. The increased ammonia content resulted in the total solid content, the pH and density increased, but the viscosity decreased. The optimum conditions for the fume silica dispersion preparation were 25% and 10% of the SiO₂ and ammonia respectively, with 1% valtamol and 64% distilled water for 72 hours ball mill time. The best Si69-t-SiO₂ preparation conditions, it was a reaction temperature of 60 ° C and a Si69 content of 5%. It was found that at high reaction temperature, the increased Si69 content resulted increase the tensile strength and the elongation at break, but compression strength and the compression set decreased. On the other hand, at the low reaction temperature, the increased amount of silane made the compression set and compressive strength increased but the tensile strength decreased. The use of Si69-t-SiO₂ in the foam rubber in small quantities (0.8-2.5 phr) had no effect on the processing properties of the foam rubber, size of the rubber foam cells, compression set tensile strength, but the hardness and elongation at break slightly increased. The optimal Si69-t-SiO₂ content of 2.5 phr showed the best properties of rubber foam.

กิตติกรรมประกาศ

รายงานวิจัยเล่มนี้สำเร็จลุล่วงไปได้ด้วยดี ข้าพเจ้า นายเอกฤกษ์ พุ่มนก และคณะ
ต้องขอขอบพระคุณ ปิpermแกรมวิชาเทคโนโลยียางและพอลิเมอร์ คณะวิทยาศาสตร์และเทคโนโลยี
มหาวิทยาลัยราชภัฏสงขลา ที่ให้ความสะดวกเกี่ยวกับอุปกรณ์และเครื่องมือในการทำการ
ทดลองวิจัย และขอขอบพระคุณของคุณ กองทุนวิจัย สำนักวิจัยและพัฒนา มหาวิทยาลัยราชภัฏ
สงขลา ที่ให้ทุนอุดหนุนการวิจัยตลอดโครงการ

นายเอกฤกษ์ พุ่มนก และคณะ
คณะวิทยาศาสตร์และเทคโนโลยี

15 สิงหาคม 2559



สารบัญ

	หน้า
บทคัดย่อภาษาไทย	ก
บทคัดย่อภาษาอังกฤษ	ข
กิตติกรรมประกาศ	ค
สารบัญ	ง
สารบัญภาพ	ฉ
สารบัญตาราง	ภ
บทที่	
1 บทนำ	
1.1 ความสำคัญและที่มาของปูนหา	1
1.2 วัตถุประสงค์ของการวิจัย	2
1.3 ประโยชน์ที่คาดว่าจะได้รับ	2
1.4 ขอบเขตการวิจัย	2
2 ทฤษฎีและเอกสารที่เกี่ยวข้อง	
2.1 บทนำ	4
2.2 น้ำยาจ	4
2.3 น้ำยาจขัน (concentrated natural rubber latex , NRL)	5
2.3.1 ประเภทของน้ำยาจขันตามวิธีการผลิต	5
2.3.2 ประเภทของน้ำยาจขันแบ่งตามวิธีการเก็บรักษา	6
2.4 สารเคมีสำหรับยาง	7
2.4.1 สารกระตุ้น (activator)	7
2.4.2 สารตัวเร่ง (accelerator)	7
2.4.3 สารทำให้คงรูป (vulcanizing agent)	9
2.4.4 สารตัวเติม (filler)	9
2.5 ปูนหาของการใช้ชิลิกานเป็นสารตัวเติม	10
2.6 ฟูมชิลิกา	11
2.7 บทบาทของสารคู่ควบไซเลน (silane)	11
2.8 สมบัติของยางวัลภาไนซ์	14

สารบัญ (ต่อ)

	หน้า
2.8.1 การจัดตัวการเนื่องจากแรงกด (compression set)	14
2.8.2 ความต้านทานต่อการดึง (tensile strength)	14
2.8.3 ความสามารถในการยืด (elongation at break)	14
2.8.4 ความแข็ง (hardness)	15
2.9 การตีฟิม	15
2.10 การเทลงเป็นและการจับตัว	15
2.11 การถ่าย	15
2.12 การทำให้ฟิมยางแห้ง	16
2.13 งานวิจัยที่เกี่ยวข้อง	16
3 สารเคมี อุปกรณ์และวิธีการทดลอง	17
3.1 น้ำยางและสารเคมี	19
3.1.1 น้ำยางชั้น	19
3.1.2 กำมะถัน (sulphur, S)	19
3.1.3 ซิงค์ไดอธิลไดโซ่อาร์บามะต (zinc diethyl dithiocarbamate, ZDEC)	19
3.1.4 ซิงค์เมอร์แคปโตเบนโซไซโคซัล (zinc mercaptobenzothiazole, ZMBT)	19
3.1.5 ซิงค์ออกไซด์ (zinc oxide, ZnO)	19
3.1.6 โพแทสเซียม ออยลิเอต (potassium oleate)	19
3.1.7 ไดฟีนิกัวนิดีน (diphenyl guanidine, DPG)	20
3.1.8 โซเดียม ซิลิโคลูอิริด (sodium silicofluoride, SSF)	20
3.1.9 ฟูมซิลิกา (fumed silica, SiO ₂)	20
3.1.10 เบนโตไนท์ (bentonite)	20
3.1.11 วัลตามอล (vultamol)	20
3.1.12 แอมโมเนียมไฮดรอกไซด์ (ammonium hydroxide, NH ₄ OH)	20
3.2 เครื่องมือและอุปกรณ์	21
3.2.1 เครื่องบด (ball mill)	21

สารบัญ (ต่อ)

	หน้า
3.2.2 เครื่องชั่งไฟฟ้า (electrical balance)	21
3.2.3 เครื่องทดสอบอาหารแบบมือจับ	21
3.2.4 หม้อนึ่งไอน้ำ	22
3.2.5 แก๊สหุงต้ม	22
3.2.6 ตู้อบอากาศร้อน (hot air oven)	23
3.2.7 แบบพิมพ์ทรงกระบอกกลูมิเนียม	23
3.2.8 กล้องถ่ายรูปมือถือ	23
3.2.9 กล้องส่องจุลทรรศน์แบบส่องกราด (scanning electron microscopy, SEM)	24
3.2.10 เครื่องทดสอบความด้านทานต่อแรงดึง (universal testing machine)	24
3.2.11 เครื่องทดสอบความแข็ง (hardness tester)	25
3.2.12 เครื่องทดสอบความด้านทานต่อแรงกด (compressive tester)	25
3.2.13 เครื่องวัดความเป็นกรด-ด่าง (pH meter)	25
3.2.14 เครื่องวัดความหนืด (Brookfield viscometer)	26
3.2.15 เครื่องทดสอบการบ่มเร่ง (Gear ageing oven)	26
3.2.16 เวอร์เนียร์มิเตอร์	27
3.2.17 เครื่องวัดความหนา (micrometer thickness tester)	27
3.2.18 กระบวนการกัมมาย	27
3.2.19 แบบพิมพ์	28
3.2.20 เครื่องแก้วิทยาศาสตร์/อุปกรณ์ที่ใช้	29
3.3 วิธีดำเนินการทดลอง	31
3.3.1 การเตรียมสารเคมี	31
3.3.2 ศึกษาอิทธิพลของปริมาณฟูมซิลิกาและแอมโมเนียนที่มีผลต่อการขึ้นรูปและสมบัติของโพฟยางธรรมชาติ	32
3.3.3 ศึกษาผลของสารคู่ควบ ไซเลน และอุณหภูมิในการเตรียม Si69-t-SiO ₂ ที่มีผลต่อการขึ้นรูปและสมบัติของโพฟยางธรรมชาติ	32
3.3.3.1 ศึกษาการเตรียมฟูมซิลิกาที่ปรับสภาพผิวด้วยสารคู่ควบ ไซเลน Si69	32

สารบัญ (ต่อ)

	หน้า
3.3.3.2 ศึกษาการเตรียม โพฟนยางธรรมชาติที่ใช้ฟูมซิลิกาที่ปรับสภาพผิวด้วย Si69 เป็นสารตัวเติม	33
3.3.4 ศึกษาและเปรียบเทียบของปริมาณ SiO_2 กับ $\text{Si}69\text{-t-SiO}_2$ ที่มีต่อสมบัติของ โพฟนยางธรรมชาติ	35
3.3.5 การทดสอบ	35
3.3.5.1 การทดสอบสารเคมี	35
1) การทดสอบปริมาณของทั้งหมด (total solid content, TSC %)	35
2) การทดสอบค่า pH	36
3) การทดสอบสมบัติของดิสเพอร์ชันฟูมซิลิกา	37
(1) การทดสอบปริมาณของทั้งหมดในสารเคมี (total solid content, TSC)	37
(2) การทดสอบ pH	38
(3) การทดสอบความหนืด (viscosity)	38
3.3.5.2 การทดสอบสมบัติเชิงกล (mechanical properties)	38
1) การทดสอบหากการยุบตัวควรเนื่องจากแรงอัด (compression set)	39
2) การทดสอบสมบัติค้านการดึง	39
3) การทดสอบความแข็ง	39
3.3.5.3 การทดสอบโครงสร้างและสัณฐานวิทยาของโพฟนยาง	39
4 ผลและอภิปรายผลการทดลอง	
4.1 อิทธิพลของเวลาในการบด ปริมาณฟูมซิลิกา และแอมโมเนียที่มีต่อสมบัติของ ดิสเพอร์สชันฟูมซิลิกา	40
4.1.1 ผลการทดสอบค่าการทดสอบปริมาณของแข็งทั้งหมดในสารเคมี	40
4.1.2 ผลการทดสอบค่าความหนาแน่น (density)	43
4.1.3 ผลการทดสอบค่าความเป็นกรด - เบส (potential of hydrogen ion, pH)	46
4.1.4 ผลการทดสอบค่าความหนืด (viscosity)	49

สารบัญ (ต่อ)

	หน้า
4.2 ผลของสารคุ่มควบคุม ไชเลน และอุณหภูมิในการเตรียม Si69-t-SiO ₂ ที่มีต่อสมบัติของ Si69-t-SiO ₂ ดิสเพอร์สชันการขึ้นรูป และสมบัติของโพลีเมอร์ที่ใช้ Si69-t-SiO ₂ ดิสเพอร์สชัน	53
4.2.1 ผลการทดสอบความเป็นกรด-เบส ของ Si69-t-SiO ₂ ดิสเพอร์สชัน	53
4.2.2 ผลการทดสอบความหนืดของ Si69-t-SiO ₂ ดิสเพอร์สชัน	55
4.2.3 ผลการทดสอบค่าความต้านทานต่อแรงกดของโพลีเมอร์ที่ใช้ Si69-t-SiO ₂ ดิสเพอร์สชันเป็นสารตัวเติม	57
4.2.4 ผลการทดสอบการจัดตัวเนื่องจากแรงอัดของโพลีเมอร์ที่ใช้ Si69-t-SiO ₂ ดิสเพอร์สชันเป็นสารตัวเติม	59
4.2.5 ผลการทดสอบความสามารถในการยึดจนขาดของโพลีเมอร์ที่ใช้ Si69-t-SiO ₂ ดิสเพอร์สชันเป็นสารตัวเติม	61
4.2.6 ผลการทดสอบค่าความต้านทานต่อแรงดึงของโพลีเมอร์ที่ใช้ Si69-t-SiO ₂ ดิสเพอร์สชันเป็นสารตัวเติม	63
4.3 เปรียบเทียบผลของปริมาณ Si69-t-SiO ₂ ที่มีต่อสมบัติของโพลีเมอร์	65
4.3.1 อิทธิพลของปริมาณฟูมซิลิกาที่มีผลต่อสมบัติค้านการยุบตัวของโพลีเมอร์	65
4.3.2 อิทธิพลของปริมาณฟูมซิลิกาที่มีต่อสมบัติค้านการดึง	66
4.3.2.1 ความสามารถในการยึดจนขาด (elongation at break)	66
4.3.2.2 ความต้านทานต่อแรงดึง (tensile strength)	67
4.3.3 อิทธิพลของปริมาณฟูมซิลิกาที่มีต่อสมบัติค้านความแข็งของโพลีเมอร์	68
4.3.4 อิทธิพลของปริมาณฟูมซิลิกาที่มีต่อสมบัติทางสัณฐานวิทยาของโพลีเมอร์	69
5 สรุปและข้อเสนอแนะ	
5.1 สรุปผลการทดลอง	71
5.2 ข้อเสนอแนะ	71
บรรณานุกรม	73
ภาคผนวก	78
ภาคผนวก ก	79
ภาคผนวก ข	82
ภาคผนวก ค	86

สารบัญ (ต่อ)

	หน้า
ภาคผนวก ง	96
ภาคผนวก จ	103
ภาคผนวก ฉ	107



สารบัญภาพ

หน้า

บทที่ 2

รูปที่ 2.1 น้ำยาหารมชาติจากต้นยางพารา	4
รูปที่ 2.2 fumed silica	9
รูปที่ 2.3 โครงสร้างทางเคมีของสารคุ่คwarm ไซเลน Si69	12
รูปที่ 2.4 ปฏิกิริยาการปรับปรุงผิวของซิลิกาด้วยสารคุ่คwarm ไซเลน Si69	13
รูปที่ 2.5 ปฏิกิริยาระหว่างซิลิกาที่ปรับสภาพผิวด้วยสารคุ่คwarm ไซเลน Si69 กับยางธรรมชาติ	13

บทที่ 3

รูปที่ 3.1 เครื่องบด (ball mill)	21
รูปที่ 3.2 เครื่องชั่งไฟฟ้า (electrical balance)	21
รูปที่ 3.3 เครื่องผสมอาหารแบบมือจับ	22
รูปที่ 3.4 หม้อนั่งไอน้ำ	22
รูปที่ 3.5 แก๊สหุงต้ม	22
รูปที่ 3.6 ตู้อบอากาศร้อน (hot air oven)	23
รูปที่ 3.7 แบบพิมพ์ทรงกระบอกอลูมิเนียม	23
รูปที่ 3.8 กล้องถ่ายรูปมือถือ	23
รูปที่ 3.9 กล้องส่องจุลทรรศน์แบบส่องกราด	24
รูปที่ 3.10 เครื่องทดสอบความต้านทานต่อแรงดึง	24
รูปที่ 3.11 เครื่องทดสอบความแข็ง	25
รูปที่ 3.12 เครื่องทดสอบความต้านทานต่อแรงกด (compression set tester)	25
รูปที่ 3.13 เครื่องวัดความเป็นกรด-ค้าง (pH meter)	26
รูปที่ 3.14 เครื่องทดสอบความหนืด (Brookfield viscometer)	26
รูปที่ 3.15 เครื่องทดสอบการบ่มเร่ง (Geer aging oven)	26
รูปที่ 3.16 เวอร์เนียดิจิตอล	27
รูปที่ 3.17 เครื่องวัดความหนา (micrometer thickness gauge)	27
รูปที่ 3.18 ระบบอุกเปิ่มฉีดยา	28
รูปที่ 3.18 ระบบอุกเปิ่มฉีดยา	28

สารบัญภาพ (ต่อ)

	หน้า
รูปที่ 3.20 แบบพิมพ์ทดสอบการจัดตัวเนื่องจากแรงกด (Compression set)	28
รูปที่ 3.21 บีกเกอร์	29
รูปที่ 3.22 แท่งแก้วคน	29
รูปที่ 3.23 ไม้กวนแบ่งชั้น	29
รูปที่ 3.24 มีดคัตเตอร์	30
รูปที่ 3.25 กระถาง	30
บทที่ 4	
รูปที่ 4.1 ความสัมพันธ์ระหว่างปริมาณฟูมซิลิกา (%) กับแอมโมนีย (%) ที่มีต่อค่าปริมาณของแข็งหั่นทดสอบดิสเพอร์สชันฟูมซิลิกา	43
รูปที่ 4.2 ความสัมพันธ์ระหว่างปริมาณฟูมซิลิกา (%) กับแอมโมนีย (%) ที่มีต่อค่าความหนาแน่นของดิสเพอร์สชันฟูมซิลิกา	46
รูปที่ 4.3 ความสัมพันธ์ระหว่างปริมาณฟูมซิลิกา (%) กับแอมโมนีย (%) ที่มีต่อค่าความเป็นกรด-เบสของดิสเพอร์สชันฟูมซิลิกา	49
รูปที่ 4.4 ความสัมพันธ์ระหว่างปริมาณฟูมซิลิกา (%) กับแอมโมนีย (%) ที่มีต่อความหนืดของ ดิสเพอร์สชันฟูมซิลิกา	52
รูปที่ 4.5 การปรับสภาพผิวของฟูมซิลิกา	53
รูปที่ 4.6 อิทธิพลของปริมาณ Si69 และอุณหภูมิในการทำปฏิกิริยาที่มีผลต่อ pH ของ Si69-t-SiO ₂ ดิสเพอร์สชัน	54
รูปที่ 4.7 อิทธิพลของปริมาณ Si69 และอุณหภูมิในการทำปฏิกิริยาที่มีผลต่อค่าความหนืดของ Si69-t-SiO ₂ ดิสเพอร์สชัน	56
รูปที่ 4.8 อิทธิพลของปริมาณ Si69 และอุณหภูมิในการทำปฏิกิริยาที่มีผลต่อค่าความต้านทานต่อแรงกดของโพเมยางที่ใช้ Si69-t-SiO ₂ ดิสเพอร์สชันเป็นสารตัวเติม	58
รูปที่ 4.9 อิทธิพลของปริมาณ Si69 และอุณหภูมิในการทำปฏิกิริยาที่มีผลต่อค่าการจัดตัวเนื่องจากแรงอัดของโพเมยางที่ใช้ Si69-t-SiO ₂ ดิสเพอร์สชันเป็นสารตัวเติม	60

สารบัญภาพ (ต่อ)

	หน้า
รูปที่ 4.10 อิทธิพลของปริมาณ Si69 และอุณหภูมิในการทำปฏิกิริยาที่มีผลต่อค่าความสามารถในการยึดจันภาคของโฟมยางที่ใช้ Si69-t-SiO ₂ ดิสเพอร์สชันเป็นสารตัวเติม	62
รูปที่ 4.11 อิทธิพลของปริมาณ Si69 และอุณหภูมิในการทำปฏิกิริยาที่มีผลต่อค่าความด้านทานต่อแรงดึงของโฟมยางที่ใช้ Si69-t-SiO ₂ ดิสเพอร์สชันเป็นสารตัวเติม	64
รูปที่ 4.12 อิทธิพลของปริมาณฟูมซิลิกาต่อการจัดตัวเนื่องจากแรงอัดของโฟมยางที่แปรปริมาณ Si69-t-SiO ₂ 0, 0.83, 1.67 และ 2.51 phr	65
รูปที่ 4.13 อิทธิพลของปริมาณฟูมซิลิกาต่อความสามารถในการยึดของโฟมยางที่แปรปริมาณ Si69-t-SiO ₂ 0, 0.83, 1.67 และ 2.51 phr	66
รูปที่ 4.14 อิทธิพลของปริมาณฟูมซิลิกาต่อความด้านทานต่อแรงดึงของโฟมยางที่แปรปริมาณ Si69-t-SiO ₂ 0, 0.83, 1.67 และ 2.51 phr	67
รูปที่ 4.15 อิทธิพลของปริมาณฟูมซิลิกาต่อความแข็งของโฟมยางที่แปรปริมาณ Si69-t-SiO ₂ 0, 0.83, 1.67 และ 2.51 phr	68
รูปที่ 4.16 ภาพขยายของโฟมยาง ด้วยกล้องจุลทรรศน์แบบส่องกราดที่มีกำลังขยาย 20x 50x และ 100x โดยการแปรปริมาณ SiO ₂ 0, 0.83, 1.67 และ 2.51 phr	69
รูปที่ 4.17 ภาพขยายของโฟมยาง ด้วยกล้องจุลทรรศน์แบบส่องกราดที่มีกำลังขยาย 20x 50x และ 100x โดยการแปรปริมาณ Si69-t-SiO ₂ 0, 0.83, 1.67 และ 2.51 phr	71

สารบัญตาราง

	หน้า
ตารางที่ 3.1 การเตรียมสารเคมีดิสเพอร์ซันสำหรับตีฟอยล์ยางธรรมชาติ	31
ตารางที่ 3.2 สัดส่วนของการเตรียมโพแทสเซียมโอลิออต	32
ตารางที่ 3.3 สูตรที่ใช้ในการเตรียมดิสเพอร์ซันฟูมซิลิกา	32
ตารางที่ 3.4 สูตรการผสม Si69-t-SiO ₂ ที่ปรับปรุงมาสารคู่ควบคู่กัน Si69 และอุณหภูมิในการทำปฏิกิริยา	33
ตารางที่ 3.5 น้ำหนักน้ำยางและสารเคมีที่ใช้เตรียม ฟอยล์ยางผสมฟูมซิลิกาที่ปรับสภาพพิเศษ	34
ตารางที่ 3.6 น้ำหนักน้ำยางและสารเคมีที่ใช้เตรียม ฟอยล์ยาง	35
ตารางที่ 4.1 อิทธิพลและสัมประสิทธิ์ค่าปริมาณของแข็งทั้งหมดในสารเคมี (total solid content, TSC) ของดิสเพอร์ซัน	40
ตารางที่ 4.2 วิเคราะห์ค่าความแปรปรวนของปริมาณของแข็งทั้งหมด (total solid content, TSC)	41
ตารางที่ 4.3 ค่าสัมประสิทธิ์ของปริมาณของแข็งทั้งหมด (total solid content, TSC)	42
ตารางที่ 4.4 อิทธิพลและสัมประสิทธิ์ค่าความหนาแน่น (Density) ของดิสเพอร์ซัน	43
ตารางที่ 4.5 วิเคราะห์ค่าความแปรปรวนของความหนาแน่น (Density)	44
ตารางที่ 4.6 ค่าสัมประสิทธิ์ของปริมาณของความหนาแน่น (Density)	45
ตารางที่ 4.7 อิทธิพลและสัมประสิทธิ์ค่าความเป็นกรด-เบส (potential of hydrogen ion, pH) ของดิสเพอร์ซัน	46
ตารางที่ 4.8 วิเคราะห์ค่าความแปรปรวนของความเป็นกรด-เบส (potential of hydrogen ion, pH)	46
ตารางที่ 4.9 ค่าสัมประสิทธิ์ของปริมาณของความเป็นกรด-เบส (potential of hydrogen ion, pH)	47
ตารางที่ 4.10 อิทธิพลและสัมประสิทธิ์ค่าความหนืด (Viscosity) ของดิสเพอร์ซัน	49
ตารางที่ 4.11 วิเคราะห์ค่าความแปรปรวนของความหนืด (Viscosity)	49
ตารางที่ 4.12 ค่าสัมประสิทธิ์ของปริมาณของความเป็นกรด-เบส (potential of hydrogen ion, pH)	50
ตารางที่ 4.13 ค่าสัมประสิทธิ์ความคงคลาดมาตรฐานค่า t และค่า p ของสมการพื้นผิวตอบสนองของค่า pH	53

สารบัญตาราง (ต่อ)

	หน้า
ตารางที่ 4.14 ค่าสัมประสิทธิ์ความผิดพลาดมาตรฐานค่า t และค่า p ของสมการพื้นผิว ตอบสนองของค่าความหนืด	54
ตารางที่ 4.15 ค่าสัมประสิทธิ์ความผิดพลาดมาตรฐานค่า t และค่า p ของสมการพื้นผิว ตอบสนองของค่าความด้านทานต่อแรงกดของไฟฟามาก	56
ตารางที่ 4.16 ค่าสัมประสิทธิ์ความผิดพลาดมาตรฐานค่า t และค่า p ของสมการพื้นผิว ตอบสนองของค่าการจัดตัวเนื่องจากแรงอัดของไฟฟามาก	58
ตารางที่ 4.17 ค่าสัมประสิทธิ์ความผิดพลาดมาตรฐานค่า t และค่า p ของสมการพื้นผิว ตอบสนองของค่าความสามารถในการยึดออกจากขาดของไฟฟามาก	60
ตารางที่ 4.18 ค่าสัมประสิทธิ์ความผิดพลาดมาตรฐานค่า t และค่า p ของสมการพื้นผิว ตอบสนองของค่าความด้านทานต่อแรงดึงของไฟฟามาก	62



บทที่ 1

บทนำ

1.1 ความสำคัญและที่มาของปัญหา

ประเทศไทยเป็นประเทศที่มีส่วนร่วมในรูปของวัตถุดิบยางธรรมชาติมากเป็นอันดับหนึ่ง ซึ่งจากข้อมูลของสถาบันวิจัยยางในปีพ.ศ. 2558 พบว่า ปริมาณการใช้ยางธรรมชาติกายในประเทศไทย มีเพียงประมาณร้อยละ 15 เท่านั้น ที่เหลือส่วนใหญ่ในรูปของวัตถุดิบในรูปแบบของน้ำยางข้นและยางดิบ ทำให้ราคายางดิบภายในประเทศมีความผันผวนตามปริมาณความต้องการของต่างประเทศ ซึ่งขึ้นกับเศรษฐกิจโลก แม้เป็นผู้ผลิตและส่งออกยางธรรมชาติรายใหญ่ ประเทศไทยยังต้องนำเข้า พลิตกัณฑ์ยางสูงถึง 41,609 ล้านบาทในปีพ.ศ. 2558 (สถาบันวิจัยยาง, 2558) ในปัจจุบันรัฐบาลจึงสนับสนุนให้เกิดการแปรรูปยางจากวัตถุดิบเป็นผลิตภัณฑ์ เพื่อเพิ่มมูลค่า และการใช้งานในประเทศของยาง ซึ่งจะส่งผลให้ราคายางมีเสถียรภาพมากขึ้น ดังนี้ การพัฒนาองค์ความรู้ใหม่ด้านเทคโนโลยียางซึ่งมีความสำคัญมาก เพราะเป็นการเพิ่มขีดความสามารถในการผลิตผลิตภัณฑ์ยาง รูปแบบใหม่ที่มีสมบัติที่ดี เทียบได้จากที่นำเข้า หรือมีจำหน่ายอยู่แล้วตลาดโลก

โฟมยางเป็นผลิตภัณฑ์ที่เตรียมได้จากน้ำยางข้น ฟองยางประกอบด้วยเซลล์ของอากาศที่ต่อเนื่องติดกันไป ทำให้การถ่ายเทอากาศจากฟองยางเป็นไปอย่างรวดเร็ว เป็นเหตุให้โฟมยางได้ถูกนำมาใช้เป็นเบาะและที่นอน ซึ่งมีความต้องการที่จะให้มีสมบัติที่นุ่มและสบาย เป็นผลิตภัณฑ์ยางที่ได้จากน้ำยางธรรมชาติที่นำสนิže ใจและมีศักยภาพในการแข่งขันสูง ในตลาดเครื่องนอน หรือผลิตภัณฑ์รับแรงกระแทกต่างๆ มูลค่าเพิ่มจากการแปรรูปสูงมาก ตัวอย่างเช่น โดยปกติน้ำยาง 1.5 กิโลกรัม สามารถแปรรูปเป็นหมอนโฟมยางได้ 1 ใน ผู้ผลิตสามารถขายได้ในประมาณ 350 บาท เมื่อขายในห้างสรรพสินค้าราคาจะสูงถึง 900 บาทขึ้นไป แต่โฟมยางยังมีปัญหานางอย่าง เช่น การปรับความแข็ง ความนิ่ม ตามความต้องการของลูกค้า ความทนทานต่อการนิ่กขาด และน้ำหนักมาก

ชิลิกาเป็นสารตัวเติมในยางที่นิยมใช้เพื่อเสริมประสิทธิภาพของยางให้มีสมบัติที่ดีขึ้น เป็นสารตัวเติมที่มีสีขาวจึงเหมาะสมที่จะนำมาใช้ในฟองยาง เพื่อให้สามารถปรับความแข็ง ความนิ่ม ได้ตามความต้องการ อีกทั้งยังสามารถเพิ่มสมบัติทางฟิสิกส์ของยางให้ดีขึ้น ประสิทธิภาพการเสริมแรงของชิลิกาขึ้นกับขนาดอนุภาคของชิลิกา ในบรรดาชิลิกาต่างๆ ที่มีจำหน่ายในห้องตลาด ฟูมชิลิกาเป็นชิลิกาที่นำสนิže ใจในการนำมาใช้เป็นสารตัวเติมในโฟมยาง เพราะฟูมชิลิกามีขนาดอนุภาคเล็กมาก โดยมีขนาดอนุภาคปูมตั้งแต่ 5-50 นาโนเมตร เสริมสมบัติทางฟิสิกส์ของยางได้ดี แม้ใช้ในปริมาณน้อย ซึ่งเหมาะสมกับโฟมยาง ในบางการประยุกต์ใช้งาน เช่น ที่นอน หมอน เป็นต้น แต่ ฟูมชิลิกา ยังมีปัญหาที่สำคัญคือ สภาพผิวมีของใช้เล่นประกอบไปด้วยหนูไซครอกซีจำนวน

มาก ทำให้เกิดพันธะไออกซิเจนดึงดูดกัน จนอนุภาคปฐมขนาดเล็กประกอบเป็นอนุภาคใหญ่ การเกิดอันตราริยาระหว่างสารตัวเติม-สารตัวเติมสูง การเกิดอันตราริยาระหว่างสารตัวเติม-ยางต่า จึงมีการพัฒนานำอัลคลอกซีไซเลน (alkoxy silane) มาเป็นสารเป็นตัวกลางในการสร้างอันตราริยา ระหว่างซิลิกากับยางมากขึ้น ลั่งผลให้มีอันทำให้มีสมบัติทางพิสิกส์ที่ดีขึ้นมาก

การทำวิจัยในครั้งนี้ จึงนำฟูมซิลิกาที่มีขนาดอนุภาคปฐมในระดับนาโน มาเตรียมให้อยู่ในรูปของดิสเพอร์สชัน และปรับสภาพผิวด้วยอัลคลอกซีไซเลน นำมาเป็นสารตัวเติมในผลิตภัณฑ์ฟอยมยาง เช่น หมอน ที่นอน ฟอยยาง เป็นต้น เพื่อให้สามารถใช้ในปริมาณน้อยแต่เสริมสมบัติทางพิสิกส์ ของยางให้ดีขึ้น

1.2 วัตถุประสงค์ของโครงการวิจัย

1. เพื่อศึกษาสภาวะที่เหมาะสมในการเตรียมฟูมซิลิกาดิสเพอร์สชัน ด้วยเครื่องบดอลมิล
2. เพื่อศึกษาสภาวะที่เหมาะสมในการปรับสภาพผิวด้วยฟูมซิลิกาด้วยไซเลน
3. เพื่อศึกษาอิทธิพลของปริมาณของไซเลนที่มีต่อการปรับสภาพผิวด้วยฟูมซิลิกา
4. เพื่อศึกษาผลของฟูมซิลิกาที่ปรับสภาพผิวด้วยไซเลนต่อการขึ้นรูปและสมบัติของฟอยยางธรรมชาติ

1.3 ประโยชน์คาดว่าจะได้รับจากการวิจัย

1. สามารถลดค่าฟอยยางจากน้ำยางข้นที่มีสมบัติต่างๆ ที่ดีได้โดยมีฟูมซิลิกาและฟูมซิลิกาที่ปรับสภาพผิวด้วยอัลคลอกซีไซเลนเป็นสารตัวเติม
2. สามารถทราบผลของการแปรปริมาณฟูมซิลิกาและฟูมซิลิกาที่ปรับสภาพผิวด้วยอัลคลอกซีไซเลนที่มีผลต่อโครงสร้างผลิตภัณฑ์ฟอยยาง
3. สามารถทราบผลของการแปรปริมาณฟูมซิลิกาและฟูมซิลิกาที่ปรับสภาพผิวด้วยอัลคลอกซีไซเลนที่มีผลต่อสมบัติทางสัณฐานวิทยา
4. สามารถทราบผลของการแปรปริมาณฟูมซิลิกาและฟูมซิลิกาที่ปรับสภาพผิวด้วยอัลคลอกซีไซเลนที่มีผลต่อสมบัติทางพิสิกส์

1.4 ขอบเขตของโครงการวิจัย

ในการวิจัยในครั้งนี้ เป็นการศึกษาสภาวะที่เหมาะสมในการเตรียมฟูมซิลิกาดิสเพอร์สชัน ด้วยเครื่องบดอลมิล ศึกษาสภาวะที่เหมาะสม ได้แก่ อุณหภูมิ เวลา ใน การปรับสภาพผิวด้วยฟูมซิลิกา ด้วยไซเลน ชนิด Alkoxy silane และอิทธิพลของปริมาณไซเลน ที่มีต่อการปรับสภาพผิวด้วยฟูมซิลิกา

การดังกล่าว จากนั้นนำผู้ชิลิกาที่ปรับสภาพผิวด้วยไชเลนที่ได้จากการวิจัย มาประยุกต์ใช้เป็นสารตัวเติมในฟองยางจากน้ำยาหงษ์ธรรมชาติ โดยศึกษาผลของปริมาณผู้ชิลิกาที่ปรับสภาพผิวด้วยไชเลนที่มีต่อความสามารถในการขึ้นรูป และสมบัติของฟองยาง เช่น ลักษณะและขนาดของรูพรุนฟองยาง ความหนาแน่น สมบัต้านการทนต่อแรงดึง การทนต่อการฉีกขาด การยุบตัวภาครเมื่อได้รับแรงกดเป็นต้น



บทที่ 2

ทฤษฎีและงานวิจัยที่เกี่ยวข้อง

2.1 บทนำ

ยางพาราเป็นพืชเศรษฐกิจที่สำคัญของประเทศไทยเป็นพื้นที่ในการปลูกยางพาราเป็นจำนวนมาก นักปลูกอยู่ในพื้นที่ทางภาคใต้ ภาคตะวันออก และภาคตะวันออกเฉียงเหนือของประเทศไทย จากข้อมูลสถิติยางพาราของสมาคมยางพาราไทย ได้ระบุว่า ในปี 2555 ที่ผ่านมาประเทศไทยมีปริมาณการผลิตยางพาราสูงถึง 3,778,010 ตัน ซึ่งกว่า 3,121,332 ตันของผลิตยางพาราได้ถูกส่งออกไปขายต่างประเทศอีกทั้งยังทำให้เห็นได้ว่า ในแต่ละปีนั้นปริมาณของผลิตยางพาราในประเทศไทยมีแนวโน้มที่จะเพิ่มมากขึ้นอย่างต่อเนื่องตามความต้องการของตลาดที่เพิ่มมากขึ้นและมีอุตสาหกรรมการผลิตยางธรรมชาติและการใช้น้ำยางข้นภายใต้ประเทศไทยเพิ่มขึ้นอย่างรวดเร็ว มีการใช้น้ำยางในการผลิต เช่น ผลิตภัณฑ์ถุงยางอนามัย ถุงมือยาง เป็นต้น นอกจากนี้ โฟมยางซึ่งผลิตจากน้ำยางธรรมชาติที่สามารถทำให้เป็นรูปทรงต่างๆ และมีสมบัติทนต่อการกดหรือบิด เนื่องจากโฟมยางมีโครงสร้างที่เป็นรูพรุนสามารถระบายอากาศได้ดี ดังนั้นจึงนิยมใช้เป็นวัสดุประเภทที่ต้องการความอ่อนนุ่ม เช่น เบเยอร์ยนนั่ง หมอน และที่นอน เป็นต้น

2.2 น้ำยาง

น้ำยาง (latex) คือ วัสดุพอลิเมอร์ที่มีต้นกำเนิดจากของเหลวของพืชบางชนิดซึ่งมีลักษณะเป็นของเหลวสีขาวคล้ำน้ำนม มีสมบัติเป็นคอลloid อนุภาคเล็ก มีตัวกลางเป็นน้ำ



รูปที่ 2.1 น้ำยางธรรมชาติจากต้นยางพารา
(ที่มา: <http://www.springnews.co.th/view/71511>)

น้ำยางจากต้นไม้ยืนต้นมีชื่อเรียกอีกชื่อหนึ่งคือ ยางพารามีถิ่นกำเนิดบริเวณกลุ่มน้ำแม่นอน ประเทศบราซิล และเปรู ทวีปอเมริกาใต้ ซึ่งชาวนาในอเมริกากลาง ได้รู้จักรการนำยางพารามาใช้ ก่อนปี พ.ศ. 2000 โดยการจุ่มเท้าลงในน้ำยางดิบเพื่อทำเป็นรองเท้า ส่วนผ่าอื่นๆ นำยางไปใช้ ประโยชน์ในการทำผ้ากันฝน ทำขวดใส่น้ำ และทำถุงน้ำยางเล่นเกมส์ต่างๆ เป็นต้น จนกระทั่ง คริสโตเฟอร์ โคลัมบัส ได้เดินทางมาสำรวจทวีปอเมริกาใต้ ในระหว่างปี พ.ศ. 2036-2039 และได้ พบกับชาวพื้นเมืองเก้าะ ไฮติสที่กำลังเล่นถุงน้ำยาง ซึ่งสามารถกระดอนได้ ทำให้คณฑ์เดินทางสำรวจประหาดใจจึงเรียกว่า "ถุงน้ำยางพีสิง" ต่อมาในปี พ.ศ. 2279 นักวิทยาศาสตร์ ชาฟรั่งเศส ชื่อชาลด์ มารี เดอลา คอนดามีน (charles merie dela condamine) ได้ใช้ชื่อเรียกยางตามคำพื้นเมือง ของชาวไน加ว่า "คาโอชู" (caoutchouc) ซึ่งแปลว่าต้นไม้ร่องไห้ และใช้ชื่อเรียกของเหลวที่มี ลักษณะขุ่นขาวคล้ายน้ำนมซึ่ง แหลกออกมานอกต้นยางเมื่อครีดเป็นรอยแพลงว่า ตาเหือก และใน พ.ศ. 2369 ไมเคิลฟาราเดย์ (faraday) ได้รายงานว่าน้ำยางเป็นสารที่ประกอบด้วยธาตุคาร์บอนและ ไฮโดรเจนมีสูตรเคมีพาราфин C_5H_8 หลังจากนั้นจึงได้มีการปรับปรุงสมบัติของยางพาราเพื่อให้ ใช้งานได้กว้างขึ้นเพื่อตอบสนองความต้องการของมนุษย์ (สารานุกรมเสรี, 2558)

2.3 น้ำยางข้น (concentrated natural rubber latex, NRL) (วราภรณ์, 2555)

น้ำยางสดโดยปกติจะมีปริมาณเนื้อยางแห้งประมาณร้อยละ 25-45 มีส่วนที่ไม่ใช้ยางประมาณร้อยละ 3 นอกจากนั้นจะเป็นน้ำ และวิธีการนำมาแปรรูปเป็นวัตถุคุณภาพต้องการให้น้ำยางมีความ เชื้อมข้นเป็นร้อยละ 60 เนื้อยางแห้งหรือที่เรียกว่า น้ำยางข้น

2.3.1 ประเภทของน้ำยางข้นตามวิธีการผลิต

น้ำยางข้นที่ใช้ในอุตสาหกรรมยางปั๊จุบัน แบ่งตามกรรมวิธีการผลิต (processing system) ได้ 3 ประเภท

2.2.1.1 น้ำยางจากการระเหยน้ำ (evaporation latex) เป็นการระเหยหรือการแยกน้ำ ออกจากน้ำยางเพียงเดียวแต่สารอื่นๆ ที่ไม่ใช่น้ำยางคงอยู่ในน้ำยางเหมือนเดิมโดยใช้ความร้อนใน สภาพที่มีความดันต่ำเข้าช่วยดังนั้น จึงทำให้น้ำยางข้นมีความบริสุทธิ์ต่ำ

2.3.1.2 น้ำยางข้นจากการทำให้เกิดครีม (creaming latex) เป็นน้ำยางข้นที่ได้จากการ ทำให้เป็นครีมเติมตัวทำให้เกิดครีมลงไป น้ำยางชนิดนี้จะมีความบริสุทธิ์สูงกว่าแต่จะมี องค์ประกอบที่สำคัญบางอย่างลดลง

2.3.1.3 น้ำยาางขันจากการปั่น (centrifuging latex) เป็นน้ำยาางขันที่ได้จากการผลิตโดยวิธีปั่นด้วยเครื่องแยกที่หมุนด้วยความเร็วสูง ประมาณ 7,000-8,000 รอบต่อนาที เป็นการแยกอาจส่วนที่มีความถ่วงจำเพาะไม่เท่ากัน ที่แบ่งคลอยด์ในน้ำยาางออกจากกัน โดยอาศัยแรงเหวี่ยงน้ำยาางขันที่ได้จากการบันจะมีความบริสุทธิ์สูงแต่จะขาดองค์ประกอบที่ไม่ใช่ยางที่สำคัญ

2.3.2 ประเภทของน้ำยาางขันแบ่งตามวิธีการเก็บรักษา

น้ำยาางแบ่งตามวิธีการถนอม (preservation system) ได้ 2 ประเภทใหญ่คือ น้ำยาางขันที่มีแอมโมเนียมสูง (high ammoniated latex-HA latex) และ น้ำยาางขันที่มีแอมโมเนียมสูงต่ำ (low ammoniated latex-LA latex) น้ำยาางขันที่มีแอมโมเนียมสูง ได้แก่ น้ำยาางขันที่ถนอมด้วยฟอร์มาลดีไฮด์ (formaldehyde) กับแอมโมเนียม หรือถนอมด้วยแอมโมเนียย่างเดียว ส่วนน้ำยาางขันที่มีแอมโมเนียมต่ำ ได้แก่ น้ำยาางขันที่ถนอมด้วยแอมโมเนียบรมานน้อยประมาณร้อยละ 0.2 แล้วใช้ร่วมกับที่อึเม็ทีร้อยละ 0.01 ซิงก์ออกไซด์ ร้อยละ 0.01 และกรดคลอริก ร้อยละ 0.04

น้ำยาางเป็นสารผสมที่ประกอบด้วยอย่างน้อยสองส่วนคือ ส่วนของสารแ xenoloy กระจัดกระจาย (disperse phase) อยู่ในส่วนที่เป็นตัวกลาง (disperse medium) ปกติน้ำยาาง มีลักษณะเป็นขาวคล้ายน้ำนม ความเป็นของเหลวมากจากสถานะของตัวกลาง ซึ่งโดยทั่วไปเป็นน้ำ ยกเว้นเป็นสารอินทรีย์ในกรณีของน้ำยาางที่ไม่ใช่น้ำเป็นตัวกลาง (non-aqueous latices) อนึ่งโอกาสจะใช้คำว่า “เซรั่ม” (serum) แทนส่วนของตัวกลาง กรณีของน้ำยาางประเภทมีน้ำเป็นตัวกลาง (aqueous latices) ทั้งนี้ถ้าใช้คำว่า “เซรั่ม” กับน้ำยาางที่มีน้ำเป็นตัวกลาง “เซรั่ม” ก็จะหมายถึง ของเหลว (aqueous fluid) ที่แยกออกจากขณะที่เกิดการแยกของสารแ xenoloy เมื่อน้ำยาางสูญเสียความเสถียรส่วนของสารแ xenoloy ที่กระจัดกระจายในตัวกลาง ประกอบด้วยอนุภาคขนาดเล็กจำนวนมากที่มีรูปร่างเป็นทรงกลมแยกกัน ไม่เลกูลที่ประกอบด้วยอนุภาค โดยหน่วยย่อยๆ ทางเคมี (chemical repeat unit)

น้ำยาางส่วนใหญ่อยู่ในรูปสารแ xenoloy ในตัวกลาง โดยไม่มีการละลาย (lyophobic sols) แต่ถ้าพิจารณาเฉพาะน้ำยาางที่มีน้ำเป็นตัวกลาง (aqueous latices) จะเป็นกลุ่มของสารผสมที่มีน้ำเป็นตัวกลาง (hydrophobic sols) ลักษณะที่บ่งบอกความแตกต่างของน้ำยาางจากสารผสมชนิดของผสมที่ไม่ชอบตัวกลางอื่น ๆ คือ ธรรมชาติของส่วนที่กระจัดซึ่งไม่คล้ายเข้ากับตัวกลางที่เป็นของเหลวที่มีน้ำแ xenoloy จึงทำให้น้ำยาางในสถานะของของผสมที่ไม่ชอบตัวกลางมากกว่าของผสมที่ชอบตัวกลาง (philic) แม้ว่าในทางวิทยาศาสตร์คอลloidคลาสสิก (classical colloidal science) น้ำยาางจะมีสมบัติที่กำกับไว้ว่างสารผสมที่ชอบหรือไม่ชอบสารตัวกลาง แต่โดยปกติลักษณะของ

ความไม่ชอบสารตัวกลางจะเด่นกว่านั้นคือ สิ่งจำเป็นที่หลีกเลี่ยงไม่ได้สำหรับน้ำยาหงค์ สถานะของสารแurenลดอยต้องมีความเสถียรในสภาพปกติลดระยะเวลาเป็นเดือนหรือปี

น้ำยาหงค์มีสมบัติที่เด่นที่สุด คือ ความแข็งแรงของเจลยางเปียกสูง (high wet gel strength) ซึ่งเป็นความพิเศษได้เปรียบในการการใช้ขั้นรูปผลิตภัณฑ์ที่ใช้เทคนิค การจุ่ม หรือการผลิตผลิตภัณฑ์ที่ไม่มีวัสดุอื่นเสริมความแข็งแรง

2.4 สารเคมีสำหรับน้ำยาหงค์ (บัญชารม, 2532)

การนำน้ำยาหงค์มาใช้งานจำเป็นต้องผสมสารเคมีลงในน้ำยาหงค์ เพื่อให้ได้คุณสมบัติตามต้องการ แต่สารที่จะผสมลงในน้ำยาหงค์ได้นั้น ต้องเตรียมให้อยู่ในรูปของสารละลาย (solution) ดิสเพอร์สชัน (dispersion) หรืออีมัลชัน (emulsion) ซึ่งเรียก น้ำยาหงค์ที่ผสมสารเคมีแล้วว่า น้ำยาหงค์คอมเปนด์ (compound latex) หากนำสารเคมีผสมลงไปในน้ำยาหงค์โดยตรง ได้น้ำยาหงค์คอมเปนด์ที่ไม่เหมาะสม ในการทำผลิตภัณฑ์ เนื่องจากสารเคมีจะตกตะกอน ได้ นอกจากนั้นยังอาจทำให้น้ำยาหงค์จับตัวเป็นก้อนได้ สารเคมีที่ผสมลงในน้ำยาหงค์ต้องมีการเตรียมให้ผิวของสารเคมีนั้นเล็กลง เพื่อป้องกันไม่ให้สารเคมีนั้นตกตะกอน และต้องมีการปรับสภาพความเป็นกรด-ด่าง ของสารเคมีนั้นด้วย สารเคมีที่สามารถละลายในน้ำได้ต้องมีการเตรียมให้อยู่ในรูปของสารละลายสำหรับสารเคมีที่เป็นของแข็งที่ละลายน้ำได้น้อยมากหรือไม่ละลายน้ำเลย ต้องเตรียมให้อยู่ในรูปของดิสเพอร์สชันและถ้าสารเคมีที่เป็นของเหลวที่ละลายน้ำได้น้อยหรือไม่ละลายน้ำต้องมีการเตรียมให้อยู่ในรูปของอีมัลชัน

2.4.1 สารกระตุ้น (activators)

สารกระตุ้นจะทำหน้าที่ช่วยให้สารตัวเร่งทำงานได้ดีขึ้น สารที่ใช้เป็นสารกระตุ้นได้แก่ ซิงค์ออกไซด์ และออกไซด์ของโลหะอื่นๆ เช่น ตะกั่ว แคนเดเมียม แต่นิยมใช้คือ ซิงค์ออกไซด์ สารกระตุ้นในน้ำยาหงค์ต่างจากสารกระตุ้นที่ใช้ในยางแห้งตรงที่ไม่ใช้กรดไขมัน เพราะในน้ำยาหงค์ที่ใช้ผลิตภัณฑ์ ไม่ได้ผ่านการชะล้างอาการ ไขมันแห้งปกติ ปริมาณซิงค์ออกไซด์ที่ใช้มีค่าประมาณ 3-5 phr แต่กรณีที่ต้องการผลิตภัณฑ์ที่โปร่งใสควรใช้ซิงค์ออกไซด์เล็กน้อยประมาณ 0.5 phr และถ้าต้องการผลิตภัณฑ์ที่มีโมดูลัสสูง และทนทานอาจใช้ซิงค์ออกไซด์ในปริมาณมากได้

2.4.2 สารตัวเร่ง (accelerator)

สารตัวเร่งเป็นสารเคมีที่เร่งให้เกิดปฏิกิริยาวัลภาไนซ์เร็วขึ้นหรือช่วยให้กำเนิดทำปฏิกิริยาให้เร็วขึ้น สารเคมีพวกนี้ นอกจากจะช่วยเร่งปฏิกิริยาดังกล่าวแล้ว ยังช่วยลดปริมาณ กำเนิดที่ต้องใช้ลงได้ด้วยโดยปกติการวัลภาไนซ์ในน้ำยาหงค์ไม่มีปัญหาของยางสูกก่อนกำหนด

(scorch) ดังนั้นสามารถใช้สารตัวเร่งชนิดเร่งให้เกิดการวัลค้าน้ำได้เร็ว สารตัวเร่งถ้าบ่อบอกตามความสามารถในการบ่มร่างให้เกิดการคงรูป จะแบ่งได้เป็น 4 พวก

2.4.2.1 แซนเทท (xanthate) เป็นสารตัวเร่งใช้สำหรับน้ำยาโดยเฉพาะสาร ตัวเร่งพวกนี้เร่งปฏิกิริยาได้เร็วกว่าได้โซโคบานามेट การทำผลิตภัณฑ์จากน้ำยาโซเดียมแซนเทททำปฏิกิริยาเร็วกว่าซิงค์แซนเทท และถ้าผสมโซเดียมแซนเทตกับซิงค์แซนเททเข้าด้วยกันสามารถเร่งการวัลค้าน้ำได้เร็วกว่าเมื่อใช้เดี่ยว เนื่องจากสารตัวเร่งชนิดนี้เร่งการคงรูปได้เร็วมาก ฉะนั้นอุณหภูมิในการวัลค้าน้ำควรตั้งประมาณ 80-110 องศาเซลเซียส และต้องใช้ซิงค์ออกไซด์เป็นสารกระตุ้นสารตัวเร่งพวkn ได้แก่ โซเดียมไอโซโพพิลแซนเทท(sodium isopropyl xanthate, SIX), ซิงค์ไอโซโพพิลแซนเทท (zinc isopropyl xanthate, ZIX), ซิงค์บิวทิลแซนเทท (zinc butyl xanthate, ZBX)

2.4.2.2 ไดโซโคบานามेट (dithiocarbamates) เป็นสารตัวเร่งที่เร่งปฏิกิริยาได้เร็ว รองจากแซนเทท สารตัวเร่งชนิดนี้ที่ใช้นิยมใช้มากที่สุดคือ ซิงค์ไดอีธิลไดโซโคบานามेट (zinc diethyldithiocarbamate, ZDC) การใช้สารนี้ไม่ต้องใช้ซิงค์ออกไซด์ได้แต่การใช้ซิงค์ออกไซด์ช่วยเพิ่มโนดูลัส และความด้านทานต่อแรงดึง ข้อเสียของสารตัวเร่งพวkn ไดโซโคบานามे�ต คือ ถ้าในน้ำยาจะมีสารประกอบทองแดงจะเกิดปฏิกิริยาให้คوبเปอร์ ไดโซโคบานามेट (copper dithiocamate) มีสีน้ำตาลแดงทำให้ผลิตภัณฑ์มีตำหนิ

2.4.2.3 ไธูรัม (thiurams) เป็นสารตัวเร่งที่นิยมใช้เป็นตัวช่วยสารเร่งพวkn ไดโซโคบานามे�ต สารตัวเร่งพวkn ไม่มีรีต ไม่มีกลิ่น ใช้ในการทำผลิตภัณฑ์ปอร์ไบ หรืออุปกรณ์ที่สัมผัสถกับอาหาร ได้ผลิตภัณฑ์ที่ใช้ไธูรัมเป็นสารตัวเร่ง เช่น ผลิตภัณฑ์ทางการแพทย์ เกสัชกรรม อุปกรณ์ว่ายน้ำ เป็นต้น สารตัวเร่งพวkn ได้แก่ เตตรามีทาซิล ไothyram โนโนนัลไฟฟ์ (tetramethyl thiuram monosulphide, TMTM), เตตรามีทาซิล ไothyram ไดซัลไฟฟ์ (tetramethyl thiuram disulphide, TMTD), เตตรามีทาซิล ไothyram ไดซัลไฟฟ์ (tetradimethyl thiuram disulphide, TDTD)

2.4.2.4 ไธอาโซอล (thiazole) เป็นสารตัวเร่งที่ใช้เป็นตัวช่วยสารตัวเร่งพวkn ไดโซโคบานามे�ต เช่นกันจะให้ผลิตภัณฑ์ที่มี modulus สูงการใช้ไธอาโซอลในน้ำยาต้องระมัดระวัง เพราะอาจทำให้น้ำยาเป็นก้อนหรือครึ่ม ไดสารตัวเร่งพวkn ได้แก่ เมอร์แคปโตเบนโซไทาโซอล (2-mercaptopbenzothiazole, MBT), ซิงค์เมอร์แคปโตเบนโซไทาโซอล (zinc mercaptoben thiazole, ZMBT)

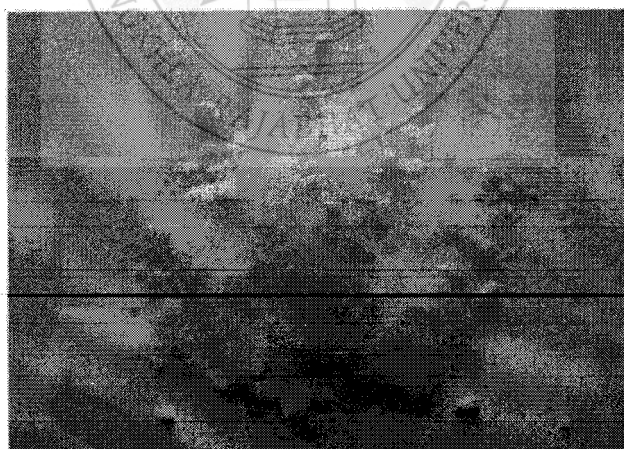
2.4.3 สารทำให้คงรูป (vulcanizing agent)

สารทำให้คงรูปเป็นสารเคมีที่ทำให้เกิดปฏิกิริยาการวัตถุค่าไนซ์ หรือทำการเชื่อมโยงโมเลกุลของยางเป็นแบบตาข่ายในโมเลกุล ทำให้ยางมีคุณสมบัติที่ดีขึ้น เช่น อุณหภูมิสูงยาง ไม่หลวม หรืออุณหภูมิตามาก ไม่แข็งเประ

สารทำให้ยางคงรูป ที่นิยมใช้ในน้ำยาง ได้แก่ กำมะถัน สารประกอบของกำมะถันสารพวงเปอร์ออกไซด์ กำมะถัน เป็นสารทำให้ยางคงรูป ที่นิยมใช้มากที่สุด ทั้งในยางแห้งและในน้ำยางแต่กำมะถันที่ใช้ในน้ำยาง จะต้องเป็นชนิดที่มีขนาดอนุภาคที่เล็ก ปริมาณที่ใช้น้อยกว่าในยางแห้ง เพราะการนำน้ำยางมาแปรรูปไม่ต้องผ่านการบด (mastication) ให้โมเลกุลเล็กลง ซึ่งต้องการกำมะถันมาทำให้เกิดการเชื่อมโยงโมเลกุลของยางใหม่ นอกจากนั้นผลิตภัณฑ์จากน้ำยางมักต้องการโมดูลัสต่ำไม่จำเป็นต้องใช้กำมะถันมาก ดังนั้นปริมาณกำมะถันที่ใช้มีค่าประมาณ 0.5-2.5 phr

2.4.4 สารตัวเติม (filler)

สารตัวเติมเป็นสารที่เติมเข้าไปในกระบวนการการทำผลิตภัณฑ์จากน้ำยาง เพื่อจุดประสงค์ ขยายอย่าง เช่น ลดต้นทุนในกระบวนการผลิต ทำให้เกิดสี เพิ่มความแข็งแรง เช่น ฟูมซิลิกา (fumed silica) มีผลมากต่อความแข็งแรง มีขนาดอนุภาค 5-50 นาโนเมตร จะไม่มีรูพรุน และมีพื้นที่ผิว 50-600 m²/g มีความหนาแน่น 160-190 kg/m³



รูปที่ 2.2 fumed silica

(ที่มา: <http://vietnamesepaintflatteningagent.com>)

2.4.4.1 การเตรียม เตรียมได้จากปฏิกิริยาระหว่าง SiCl₄ กับไอน้ำในเปลวไฟของไฮโรเจน และออกซิเจนที่อุณหภูมิสูง 1,400 องศาเซลเซียส จะเกิดการสลายตัวให้ซิลิกรอกวนชาติ

กานีมีหมู่ไชครอกไชค์ที่พิวน้อยกว่าซิลิกานิดตกละกอน และมีเนื้อซิลิกาถึง 99.8 เปอร์เซ็นต์ มีน้ำปนอยู่ไม่เกิน 2 เปอร์เซ็นต์ มีฤทธิ์เป็นกรด มีขนาดอนุภาคเล็กมากราคายังคง แม้ว่าจะเป็นสารตัวเติมในยางปริมาณน้อย ก็สามารถเสริมประสิทธิภาพช่วยให้สมบัติทางฟิสิกส์ของยางดีขึ้นมาก

2.4.4.2 การใช้งานในผงฟูมซิลิกา ทั่วไปมีสารที่ทำให้เกิดความแข็งและมีสารที่ไม่ทำให้เกิดกลุ่มก้อนร้าวกับซิลิกาเจล ทำหน้าที่เป็นสารดูดซับความชื้น ซึ่งมักจะถูกใช้ในเครื่องสำอางที่ให้คุณสมบัติของแสงที่ฟูงกระจาย จะถูกใช้เป็นแสงที่มีฤทธิ์กัดกร่อนในผลิตภัณฑ์ต่างๆ เช่น ยาสีฟัน การใช้งานด้านอื่นๆ ได้แก่ สารตัวเติมในยางซิลิโคนและการปรับความหนืดในสีเคลือบ หมึกพิมพ์ กาว และเรซิน สังเคราะห์แบบไม่อิ่มตัว นอกจากนี้ยังเป็นวัสดุหลักในการผลิตแพลงค์นวนสุญญากาศ

2.5 ปัญหาของการใช้ซิลิกาเป็นสารตัวเติม (hexane, 2553)

บนผิวซิลิกามีหมู่ไชланอลในปริมาณมาก ซึ่งหมู่ไชланอลทำให้ออนุภาคของซิลิกามีอันตรกิริยาระหว่างกัน (filler-filler interaction) สูง ทำให้ซิลิกาอยู่ร่วมกันเป็นกลุ่มก้อนขนาดใหญ่ เพราะมีแรงดึงดูดที่ยึดของซิลิกาเข้าด้วยกันคือจะมีพันธะไชโตรเจน ซึ่งมีความแข็งแรงค่อนข้างมาก ด้วยเหตุนี้ ซิลิกาจึงแตกตัว และกระจายตัว ในยาง ได้ยากกว่าสารตัวเติมบางชนิด การใช้ซิลิกาจำนวนมากเป็นสารตัวเติมในยาง ทำให้กลุ่มซิลิกาอยู่ชิดกันมากขึ้นจนทำให้มีแรงดึงดูดระหว่างกลุ่มก้อนซิลิกากับซิลิกาด้วยกันเป็นโครงสร้างตาข่ายที่เรียกว่า “โครงสร้างตาข่ายของสารตัวเติม (filler-filler network)” ซึ่งทำให้ยางคอมเพ่นด์มีความหนืดสูงขึ้น ทำให้กระบวนการแปรรูปทำได้ค่อนข้างยาก และทำให้สีเปลือยพลังและระยะเวลาสามารถยึด住

การเติมสารเติมแต่งบางชนิดที่สามารถเข้าไปจับกับหมู่ไชланอลได้ง่ายลง ไปจะช่วยทำให้กลุ่มก้อนของซิลิกาแตกตัวออกได้ง่ายยิ่งขึ้น และความหนืดของยางคอมเพ่นด์ลดลง ตัวอย่างของสารเติมแต่งดังกล่าว ได้แก่ ซิงค์ออกโตเอต (zinc octoate) หรือ เอกไซเมทิลีนเตตราเมิน (Hexamethylenetetramine, HEXA) รวมถึงสารตัวเร่งปฏิกิริยาคงรูปในกลุ่มกวนนีดิน เช่น ไดฟินิกัวนิดิน (diphenyl guanidine, DPG) เป็นต้น

ปัญหาสำคัญเมื่อใช้ซิลิกา เป็นสารตัวเติม คือเรื่องการคงรูป เพราะบนผิวซิลิกามีหมู่ไชланอลที่สามารถดูดซับสารตัวเร่งปฏิกิริยาคงรูปที่มีฤทธิ์เป็นค่าง เช่น ไดฟินิกัวนิดิน (diphenyl guanidine, DPG) รวมถึงสารประกอบเชิงซ้อนของสังกะสี (Zinc complex) ซึ่งทำหน้าที่เป็นสารกระตุ้นสำหรับปฏิกิริยาการคงรูปด้วยกำมะถัน การดูดซับดังกล่าวทำให้สารตัวเร่งปฏิกิริยาหรือสารประกอบเชิงซ้อนสังกะสีมีปริมาณลดลง ซึ่งจะส่งผลทำให้ยางมีระดับของการคงรูปลดลงด้วยเช่นกัน โดยทั่วไปผู้ผลิตเคมียางสามารถลดปัญหาดังกล่าวได้โดยการเติมสารประกอบในกลุ่มไกลดอล หรือกลุ่มเอมนิล ไป เพราะสารประกอบเหล่านี้จะเข้ามาปฏิกิริยากับหมู่ไชланอลบนพื้นผิวของซิลิกา

การทำให้สารตัวเร่งปฏิกิริยาหรือสารประกอบเชิงชั้นของสังกะสีที่ถูกดูดซับโดยหมูไซลอนอลมีปริมาณลดลง ทำให้ปฏิกิริยาคงรูปเกิดได้ร้าวขึ้น ตัวอย่างที่สำคัญของสารประกอบเหล่านี้ได้แก่ ไดฟินิ กัวนดีน (diphenyl guanidine, DPG) พอลิเอทธิลีนไอกลคอล (poly ethylene glycol, PEG) ไครอเอยาโนตามีน และเซกแซเมทิลีนเตตรามีน (Hexamethylenetetramine, HEXA) เป็นต้น นอกจากการเติมสารประกอบดังกล่าวแล้ว การปรับลำดับการเติมสารเคมีลงไปในเครื่องผสม เช่น การเติม ซิงค์ออกไซด์ (Zinc oxide, ZnO) ลงไปในช่วงท้ายของการผสมซึ่งช่วยลดปัญหาการดูดซับสารประกอบเชิงชั้นของสังกะสีได้ชั่นกัน แต่ซิงค์ออกไซด์จะกระจายตัวได้ยากในยาง การผสมในลำดับหลังๆ ไม่ควรกระทำ เพราะอาจส่งผลต่อสมบัติของยางได้

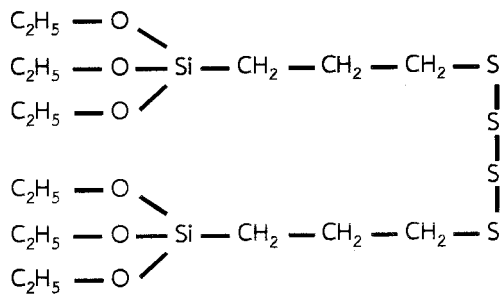
การเติมสารประกอบในกลุ่มดังกล่าว นอกจากจะช่วยเพิ่มอัตราเร็วในการเกิดปฏิกิริยาคงรูปแล้ว สารประกอบเหล่านี้ยังช่วยลดอันตรายระหว่างอนุภาคของซิลิกาอีกด้วย ช่วยให้โครงสร้างทุติยภูมิของซิลิกาถูกทำลายได้ง่ายขึ้น ทำให้ซิลิกาแตกตัวและกระจายตัวได้ง่ายขึ้น ความหนืดของยางคอมเป่นเดล ลดลง ทำให้กระบวนการผลิตเป็นไปได้ง่ายขึ้น ปริมาณของสารเคมีที่แนะนำให้ใช้นั้นโดยตรงกับปริมาณของซิลิกา เช่น ใช้พอลิเอทธิลีนไอกลคอล (poly ethylene glycol, PEG) ประมาณ 8-10 ส่วน โดยน้ำหนักเมื่อเทียบกับปริมาณของซิลิกา

2.6 ฟูมซิลิกา (เชาวน์, 2553)

ฟูมซิลิกา หรือซิลิกาที่ได้จากการระเหยเป็นซิลิกอน ไดออกไซด์ ที่ประกอบด้วยน้ำหนักกว่า 2% สามารถเตรียมได้จากการเผาสารประกอบซิลิกอนจนระเหยเป็นไอและกลับตัวที่อุณหภูมิต่ำๆ ได้เป็นอนุภาคที่เล็กมาก ฟูมซิลิกาเป็นสารเติมแต่งที่ช่วยในการเสริมแรงได้ดี ซึ่งให้ความต้านทานต่อแรงดึง ความต้านทานต่อการนิ่กขาด ความต้านทานต่อการขัดถู โดยเฉพาะอย่างยิ่งในยางซิลิโคนฟูมซิลิกาเป็นตัวหน่วงทำให้ยางใช้เวลาในการขึ้นรูปนานขึ้น ซึ่งทำให้ต้องเพิ่มปริมาณของสารตัวเร่ง หรือเอมีนนาขึ้น ในกระบวนการขึ้นรูปควรใช้พวกแวกซ์ พอลิเอทธิลีน หรือสารหล่อลื่น เพื่อหลีกเลี่ยงการเกาะกันถูกกลึง หรือการยึดติดกับแม่พิมพ์หลังจากที่ยางสุกแล้ว

2.7 บทบาทของสารคู่ควบไชเลน (silane) (เชาวน์, 2553)

การเติมสารควบคู่ไชเลนลงไปทำให้อันตรายริยาระหว่างยางและซิลิกาสูงขึ้น เพราะสารคู่ควบไชเลนประกอบด้วย หมู่ฟังก์ชันเคมี 2 หมู่ที่แตกต่างกัน คือ หมู่อัลกอокซี่ (alkoxy group) เช่น หมู่ เมท โซกซ์ (-OCH₃) หรือหมู่เอทธอокซี่ (-OC₂H₅) และหมู่ที่เป็นสารอินทรีย์ (organo-functional group) ดังแสดงในรูปที่ 2.3

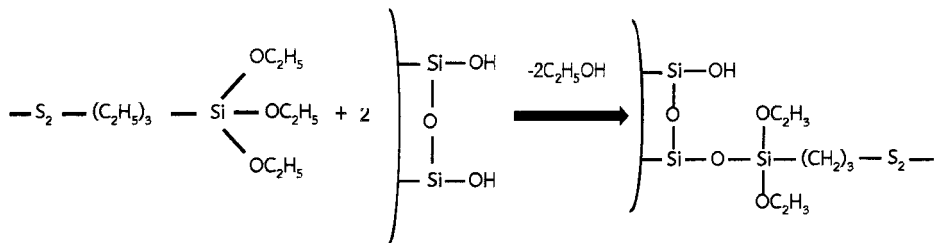


รูปที่ 2.3 โครงสร้างทางเคมีของสารคุ่คิวบ์ไซเลน Si69

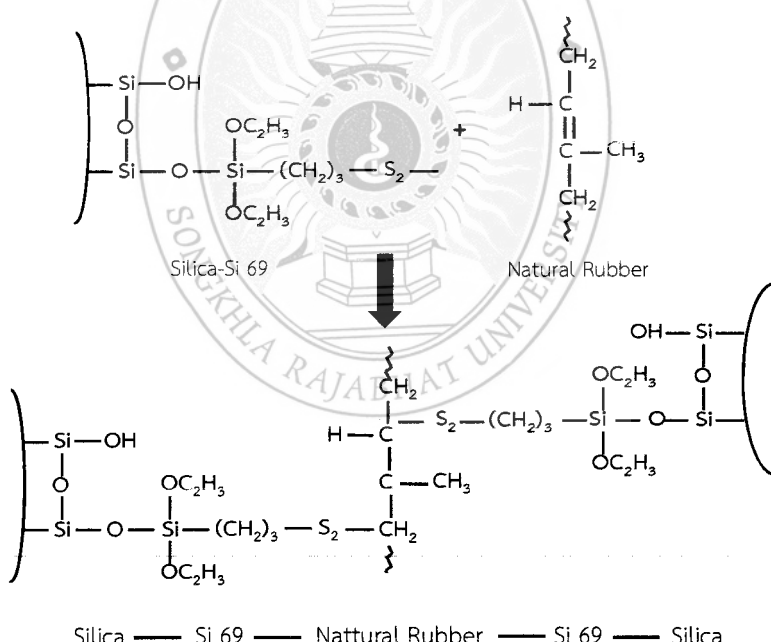
(ที่มา: เซาว์น์, 2553)

เมื่อเติมสารคุ่คิวบ์ไซเลนลงไป หนูอัลคออลซึ่งอยู่ที่ปลายด้านหนึ่งของโนมเลกุลจะเข้าทำปฏิกิริยากับหนูไซลานอลบนพื้นผิวของซิลิกาในระหว่างกระบวนการผสมเกิดเป็นพันธะไซลอเซนที่มีความเสถียรและมีการปล่อยออกซอล์อกมา ทำให้ซิลิกามีอันตรกิริยาระหว่างกันลดลงเนื่องจากปริมาณหนูไซลานอลที่ลดลงจากการเกิดปฏิกิริยากับสารคุ่คิวบ์ไซเลนทำให้พันธะไซโคลเจนระหว่างอนุภาค ซิลิกานี้มีกำลังอ่อนลง ตั้งในกลไกปฏิกิริยาของภาพที่ 2.4 และ 2.5 ซิลิกาจึงสามารถแตกตัว และกระจายตัวในยางได้ง่ายขึ้น ยางคอมเปานด์ที่ได้มีความหนืดลดลง สามารถไห้กลแต่ขึ้นรูปได้ง่าย ส่วนหนูที่เป็นสารอินทรีย์ซึ่งอยู่ที่ปลายอีกด้านหนึ่งช่วยทำให้ซิลิกาเข้ากับยางได้ง่ายในระหว่างกระบวนการผสมเพราหมูที่เป็นสารอินทรีย์นี้มีความเป็นขั้วต่างเข้ากับยางได้จากนอกจากนี้ หนูที่เป็นสารอินทรีย์ของสารคุ่คิวบ์ไซเลนส่วนใหญ่ยังมีกำมะถันเป็นองค์ประกอบซึ่งในระหว่างการอบคงรูป กำมะถันในสารคุ่คิวบ์ไซเลนจะเข้าไปมีส่วนร่วมในปฏิกิริยาการคงรูปด้วยกำมะถัน (sulfur vulcanization reaction) เกิดเป็นการเชื่อมโยงทางเคมีขึ้น ทำให้สารคุ่คิวบ์ไซเลนทำหน้าที่เบรย์เบร์มีนสะพานเชื่อมระหว่างซิลิกากับยาง ทำให้อันตรกิริยาระหว่างยางกับซิลิกาสูงขึ้น ประสิทธิภาพในการเสริมแรงของซิลิกาจึงสูงขึ้นด้วยเห็นแก่ ด้วยเหตุนี้ การเติมสารคุ่คิวบ์ไซเลนลงไปจึงส่งผลทำให้ยางคงรูปมีสมบัติเชิงกลต่างๆ ดีขึ้น โดยเฉพาะค่าโนมูลส์ความทนทานต่อแรงดึง ความทนทานต่อการนีกหาด และความต้านทานต่อการขัดขู เป็นต้น โดยทั่วไปแล้วการเติมสารคุ่คิวบ์ไซเลนลงไปในปริมาณเดือน้อยช่วยทำให้ยางคงคงรูปมีความต้านทานต่อการขยายตัวของรอยแตก (cut growth resistance) สูงสุด แต่ในกรณีที่ต้องการยางคงรูปที่มีความต้านทานต่อการขัดขูสูงสุดจำเป็นต้องเติมสารคุ่คิวบ์ไซเลนลงไปในปริมาณมากขึ้น นอกจากสมบัติเชิงกลแล้วสารคุ่คิวบ์ไซเลนยังช่วยปรับปรุงสมบัติเชิงพลวัต (dynamic properties) ของยางคงรูปอีกด้วยโดยเฉพาะการลดความร้อนสะสม (heat build up) ที่เกิดขึ้นในระหว่างการใช้งาน ตัวอย่างของสารคุ่คิวบ์ไซ

เดนที่นิยมใช้กันมากในโรงงานอุตสาหกรรม ได้แก่ ไตรเอทธอกซ์ิไซลิปโพรพิลเตตราซัลไฟฟ์ (bis-(3-triethoxysilylpropyl)-tetrasulfide, Si-69) เมอร์แคพโตโพรพิลไตรเอทธอกซ์ิไซเลน (3-thiocyanato-propyl-triethoxysilane, Si-264) เป็นต้น



รูปที่ 2.4 ปฏิกิริยาการปรับปรุงผิวของซิลิกาด้วยสารคุ่มควร ไซเลน Si69
(ที่มา: เขาวน, 2553)



รูปที่ 2.5 ปฏิกิริยาระหว่างซิลิกาที่ปรับปรุงผิวด้วยสารคุ่มควร ไซเลน Si69 และ กั้นยางธรรมชาติ
(ที่มา: เขาวน, 2553)

2.8 สมบัติของยางวัลค่าไนซ์ (ชินรัตน์, 2558)

2.8.1 การยุบตัวเนื่องจากแรงอัด (compression set)

ยางธรรมชาติที่ไม่ใส่สารตัวเติม เมื่อถูกกดไว้นานๆ ไม่เลกคลื่นของยางเกิด การollapsed ตามการกดนั้น พันธะเชื่อมโยงที่มีอยู่ในไม้เลกคลื่นของยางเป็นตัวที่คงยางให้แน่นรูปกลับมาเมื่อได้อาแรงกดนั้นออกไป การยุบตัวเนื่องจากแรงอัดคือค่าที่บ่งบอกถึงความสามารถในการรักษาสมบัติความยืดหยุ่นของยาง หลังจากได้รับแรงกระยะเวลาหนึ่ง ซึ่งคำนวนเป็น %

2.8.2 ความต้านทานต่อการดึง (tensile strength)

ยางธรรมชาติเป็นสารประกอบของไอโซพրีนที่ต่อเนื่องกันอย่างเป็นระเบียบ มีน้ำหนักไม้เลกคลื่นสูง ก่อนใช้งานต้องมีการบด (masticate) เสียก่อน เนื่องจากไม้เลกคลื่นของยางธรรมชาติมีความเป็นระเบียบสูง ทำให้ยางธรรมชาติคงผลึกได้ง่ายเมื่อดึง หรือยึดผลึกที่เกิดขึ้นนี้เป็นตัวเสริมความแข็งแรงของยาง ทำให้ยางธรรมชาติแข็งแรงโดยตัวของมันเอง โดยการออกสูตรยางไม่ต้องใช้สารตัวเติมเสริมประสิทธิภาพ (reinforcing filler) เช่น เบม่าดำ หรือถ้าใส่ก็จะเลือกสารโดยไม่ต้องใช้สารตัวเติมเสริมประสิทธิภาพเพียงเด็กน้อยก็จะทำให้ผลิตภัณฑ์ที่มีความยืดหยุ่นสูง และทนทาน การออกสูตรยางธรรมชาติโดยไม่ใส่สารตัวเติม ทำให้ยางมีความสามารถในการยืดได้สูง และมีมาตรฐานต่ำ ความสามารถในการยืดสูง ประมาณ 700-800 เบอร์เซ็นต์ และความต้านทานต่อการดึง 4,000 ปอนต์ต่อบาร์นี้ สมบัตินี้ของยางธรรมชาติเหนือกว่ายางอื่นๆ เช่น ยางสไตรีน ยางไนไตรอล เป็นต้น ซึ่งไม่สามารถใช้งานได้ถ้าไม่ใช้สารตัวเติมชนิดเสริมประสิทธิภาพ เช่น เบม่าดำหรือ ชิลิกา เป็นต้น

2.8.3 ความสามารถในการยืด (elongation at break)

ยางธรรมชาติที่ไม่ใส่สารตัวเติมสามารถยืดได้ถึงประมาณ 1,000 เบอร์เซ็นต์ หรือมากกว่านั้น ความสามารถในการยืดของยางธรรมชาติจะลดลงตามปริมาณของสารตัวเติม ที่เพิ่มขึ้น และตามปริมาณของพันธะวัลค่าไนซ์ สมบัติการยืดได้สูงนี้ทำให้ยางธรรมชาติสามารถใช้ในผลิตภัณฑ์ที่ต้องการความยืดหยุ่นสูง เช่น สายยางยืด ยางรัดของขong และลูกโป่ง เป็นต้น

2.8.4 ความแข็ง (hardness)

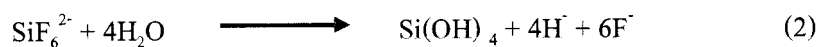
ยางธรรมชาติสามารถวัดค่าในชี้ให้มีความแข็งต่างๆ กัน ได้จ่ายตั้งแต่นิ่มมาก เช่น (30-50 IRHD) ไปจนถึงความแข็งของอีบอนิต (98 IRHD) การปรับความแข็งของยางทำได้โดย การปรับเปลี่ยนปริมาณของสารตัวเติมหรือโดยการเปลี่ยนปริมาณกำมะถัน ในช่วงของการใช้ กำมะถัน ปริมาณ $\geq 20 \text{ phr}$ จะทำให้ยางมีความแข็งแรงคล้ายหนัง (leather-like) (พรพรมณ, 2528)

2.9 การตีฟม

นำ้ำยางเทลงในเครื่องตีฟม หลังจากนั้นเติมสารแคมีเข้าไป ได้แก่ โพแทสเซียมโอลิอุต ปรับความเร็วช้าสุดปั้นเป็นเวลา 7 นาที เติม กำมะถัน ซิงค์ไซเดอเชล ได้ໄร์โอดีบามเเมต ซิงค์เมอร์แคป โตเบนโซ่ไฮอะโซล ปั่นด้วยความเร็วเป็นเวลา 5 นาที เพื่อให้ยางฟูได้ปริมาตรความสูง 3-4 เท่าเดิม ซิงค์ออกไซด์ สารคู่คบ ไชเดน ปั่นด้วยความเร็วช้าสุดเป็นเวลา 3 นาที เติม ไดฟินิกวันนิดิน ปั่นเป็นเวลา 3 นาที และ โซเดียมซิลิฟลูออไรด์ ปั่นเป็นเวลา 1 นาที การปรับความช้าเร็วของเครื่องตีฟมมี ผลต่อการขึ้นรูปและความเนียนละเอียดของฟ้มยาง

2.10 การเทเข้าเบาะและการจับตัว

เบ้าที่ใช้สำหรับฟ้มยางเป็นเบ้าอะลูมิเนียม เนื่องจากเบ้าเป็นตัวนำความร้อนได้ดีหลังจากที่ได้ เติมโซเดียมซิลิฟลูออไรด์ (sodium silifluoride, SSF) ลงในน้ำยางแล้ว ก็ให้เทลงในเบ้าที่จัดเตรียมไว้ และปิดฝาเบ้าจะเกิดการจับตัวของฟองยางในเบ้านั้น ปฏิกริยาการจับตัวมีดังนี้



โปรดอนที่เกิดขึ้นในสมการที่ 2 ทำให้น้ำยางมี pH ลดลงพร้อมกับการเกิด Si(OH)_4^- ซึ่งอาจดูดพอกสนูจากอนุภาคของน้ำยาง ทำให้ฟ้มยางเกิดการจับตัวขึ้นโดยทั่วไปจับตัวภายในระยะเวลา 5–10 นาที ซึ่งพิจารณาได้จากฟ้มยางที่ไหลล้นจากเบ้าในขณะที่เท

2.11 การล้าง

ภายหลังการวัดค่าในชี้จะเอาฟ้มยางออกจากเบ้า แล้วนำไปล้างด้วยน้ำ อาจทำการนำ ฟ้มยาง ผ่านชุดของระบบบัน้ำนิดล้างและผ่านถุงกลึงที่บีบน้ำออก หรืออาจใช้ เครื่องเชนทริฟิวจ์ (hydro-extractor) ซึ่งในการนี้การใช้เครื่อง เชนทริฟิวจ์ต้องกลับการหมุนเอา น้ำออกจากฟ้มยาง

และปล่อยให้น้ำไหลดงไปล้างโฟมยาง การล้างโฟมยางเป็น การล้างเอาสิ่งเจือปนที่สามารถละลายน้ำได้ออกไป ทำให้อาชญากรใช้งานของโฟมยางนานขึ้นและจะมีกลิ่นดีขึ้น อย่างไรก็ตาม ถ้าหากล้างน้ำนานเกินไปจะทำให้ Antioxidant ที่มีอยู่ตามธรรมชาติหรือที่ใส่เข้าไปถูกสกัดออกไปหมดได้ ทำให้ยางเสื่อมเร็วได้

2.12 การทำให้โฟมยางแห้ง

ภายหลังจากการล้างน้ำแล้ว ให้นำโฟมยางไปตากในเตาอบที่มีอุณหภูมนวนและควบคุมอุณหภูมิที่ 80 องศาเซลเซียส ระหว่างการตากแห้งนี้ต้องวางแผนพลิกผั่นท่ออย่างระมัดระวัง เพื่อป้องกันการเสียรูปของโฟมยาง การวางโฟมยางห้ามวางซ้อนกัน เพราะเมื่อยางแห้งแล้วจะแยกออกจากกันได้ยาก

2.13 งานวิจัยที่เกี่ยวข้อง

Alzoubi, Tanbour, & Al-Waked, 2011 การทดสอบแรงอัดที่อุณหภูมิ กลางอัตรา ความเครียดที่แตกต่างกันของตัวอย่างทดสอบ polyurethane (PU) ที่มีความหนาแน่นต่างกันการทดสอบการบีบอัดทำได้โดยใช้เครื่องมือ Lloyd LR5K Plus ที่อัตราความเครียดตั้งแต่ 0.033-0.267 s⁻¹ การทดสอบได้ดำเนินการในตู้ที่มีการทำหม้อน้ำและความชื้น เพื่อให้มีการเปรียบเทียบที่ถูกต้องในการบีบอัด ตัวอย่าง PU ทั้งหมดได้รับการคัดเลือกจากบล็อกโฟมเดียว กัน แต่มีความหนาแน่นของตำแหน่งต่างกัน นอกเหนือจากนี้ตัวอย่าง PU ทั้งหมดได้ผ่านการทดสอบตามทิศทางการขึ้นรูปโฟม (ความหนา) ผลการทดลองแสดงให้เห็นว่าการตอบสนองของตัวอย่าง PU ภายใต้การทดสอบการบีบอัดจะมีความนิ่นในอุณหภูมิที่สูงขึ้นเมื่อดำเนินการในอัตราความเครียดคงที่ ที่อุณหภูมิคงที่ตัวอย่างของ PU จะมีอัตราการลื่นที่สูงขึ้น พบว่าทั้งพลังงานเก็บ และการกระจายตัวขึ้นอยู่ กับความหนาแน่นของ PU ที่อุณหภูมิและอัตราความเครียด

Kapgate & Das, 2014 ศึกษาผลกระทบของการปรับสภาพผิวของฟิลเลอร์-ฟิลเลอร์ และอันตรกิริยาของยาง-ฟิลเลอร์ในยาง ในไตรค์ที่ประกอบด้วยซิลิกา จากการศึกษาทางสัมฐานวิทยา แสดงการกระจายตัวของสารตัวเติมที่ดีขึ้นในวัสดุผสมที่มีซิลิกา การศึกษาสมบัติทางฟิสิกส์ และการวิเคราะห์แบบโควนนิกพบว่าซิลิกาที่ไม่ได้ผ่านการปรับสภาพผิวมีอันตรกิริยาของฟิลเลอร์-ฟิลเลอร์ (silica agglomerates) แต่กลับกันพบว่าซิลิกาที่มีการปรับสภาพผิวมีอันตรกิริยาของยาง-ฟิลเลอร์ที่ดีขึ้นสำหรับคอมโพสิตที่เติม organosilane แบบ bifunctional

Sae-Oui, Thepsuwan, & Hatthapanit, 2004 การศึกษาในครั้งนี้ได้เลือกชนิดของสารคุณภาพอัลกอกซิไซเลนซ์ ได้แก่ bis-(3-triethoxysilylpropyl) tetrasulfane (Si-69) และ 3-thiocyanatopropyl triethoxy silane (Si-264) เพื่อเปรียบเทียบการวัดค่าไนซ์แบบประสิทธิภาพเต็ม (CV), การวัดค่าไนซ์แบบกึ่งประสิทธิภาพ (semi-EV) และ การวัดค่าไนซ์ที่มีประสิทธิภาพ (EV) ผลการทดลองพบว่าการเติมสารคุณภาพอัลกอกซิไซเลนซ์ไม่เพียงแต่ช่วยเพิ่มความสามารถในการทนทานและการลดแรงตึงหัวน้ำ แต่ยังช่วยเพิ่มคุณสมบัติทางกลของยางวัสดุไนซ์ ผลของชนิดสารคุณภาพไซเลนต์อัลกอกซิไซเลนซ์ที่มีระบบการวัดค่าไนซ์ เมื่อเทียบ Si-69 Si-กับ 264 สามารถทำปฏิกริยาบนพื้นผิวซิลิกาได้ง่ายขึ้นเนื่องจากโครงสร้างที่มีขนาดใหญ่และความหนืดต่ำ Si-264 สามารถลดอันตรายของฟิลเลอร์-ฟิลเลอร์ได้มากกว่า Si-69 ซึ่งจะได้ผลที่ดีกว่า ผลของประเภทของสารคุณภาพไซเลนต์อัลกอกซิไซเลนซ์ที่มีระบบการวัดค่าไนซ์ CV และ semi-EV Si-264 มีการเสริมแรงมากกว่า Si-69 อาจเป็นผลมาจากการเข้ากันระหว่างยาง-ฟิลเลอร์ที่ดีขึ้น การกระจายตัวที่ดีขึ้น และสถานะการวัดค่าไนซ์ที่สูงขึ้นเมื่อ Si-69 ถูกแทนที่ด้วย Si-264 นั้นคือ Si-69 ให้การเสริมแรงที่ดีกว่า Si-264 ผลของ Si-69 มีอิทธิพลเฉพาะในระบบ EV เท่านั้น

Julie Chandra, Bipinbal, & Sunil, 2017 การศึกษาสมบัติเชิงกลแบบไดนามิกของวัสดุผสมระหว่างยางธรรมชาติและซิลิกาด้วยอุณหภูมิต่างกัน (40°C , 70°C และ 100°C) โดยใช้เครื่องวิเคราะห์เชิงกลแบบไดนามิกและ rotorless rheometer, RPA ได้ศึกษาวัสดุที่มีปริมาณซิลิกาถึง 40 phr พบว่าค่าโมดูลส์แบบไดนามิกต่อความถี่ที่ได้จากเครื่องมือห้องส่องมีแนวโน้มใกล้เคียงกัน แสดงให้เห็นว่าสมบัติเชิงกลแบบไดนามิกของยางประกอบสามารถกำหนดได้แม้ในระหว่างการวัดค่าไนซ์ ความสัมพันธ์อาจเกิดขึ้นระหว่างชุดข้อมูลทั้งสองทำให้สามารถคาดการณ์ชุดชุดหนึ่งได้จากที่รู้อีกชุดหนึ่ง ได้ทำการศึกษาผลกระบวนการตัวสารคุณภาพไซเลน (bis-3-triethoxysilylpropyl tetrasulphide, TESPT) ต่อความหนืด (viscoelasticity) สมบัติทางกลดีขึ้นเมื่อมี TESPT นอกจากนี้ยังพบความสัมพันธ์ระหว่างความร้อนที่เพิ่มขึ้นเมื่อมี TESPT การสแกนอิเล็กตรอน micrographs พบว่ามีการกระจายตัวของสารตัวเติมที่ดีขึ้นในกรณีของซิลิกาคอมโพสิตซิลิเนต

Katueangngan, Tulyapitak, Saetung, Soontaranon, & Nithi-uthai, 2016 ในงานวิจัยนี้ได้มีการทดลองยางธรรมชาติที่มีน้ำหนักโมลกุลต่ำ และ ไสโคเรเจนเอสเทอร์ไอลต์ต้า (HTNR) โดยการควบคุมอีพอกไซด์ และความแตกต่างของยางธรรมชาติตามด้วยการลดปฏิกริยาของยางธรรมชาติ ควรบอนดิเกลท์ที่ได้ทำการศึกษาอิทธิพลของตัวเร่งปฏิกริยาที่เตรียมขึ้นเพื่อปรับปรุง อันตรายระหว่างยางกับสารตัวเติม โดยศึกษาสมบัติทางกายภาพ และสมบัติเชิงกลของยางธรรมชาติที่เติม

ซิลิกาด้วยปริมาณซิลิกาคงที่ 30 phr เมื่อเปรียบเทียบกับซิลิกาที่ไม่มีตัวทำปฏิกิริยากับตัวประสาน silane ระยะเวลาในการเผาไหม้ และการบ่มที่สั้นลงทำให้ได้ผลของเพย์นท์ต่ำลง และความด้านทานแรงดึงสูงสุดของยางธรรมชาติที่เติมด้วยซิลิกาด้วยการมีตัวเร่งปฏิกิริยาต่อเนื่องที่ 2.4 (phr) นี้เป็นผลมาจากการปฏิกิริยาของกลุ่มโซโลแอลกอฮอล์ที่มีการปรับตัว และความเข้ากันได้ระหว่างตัวสารตัวเติมที่มีการปรับสภาพผิว กับยางธรรมชาติ สำหรับสารประกอบ HTNR เพื่อให้ได้สมบัติที่ดีควรผสมให้มีอุณหภูมิเริ่มต้น 300 °C เวลาในการผสม 12 นาที และความเร็วโรเตอร์ 60 รอบ/นาที อย่างไรก็ตาม TESPT มีประสิทธิภาพมากกว่า HTNR

Yamazaki R., Fujii S., Nakamura Y., & NagataK., 2014 ศึกษาการตกตะกอนด้วยคาร์บอนไครอโอดีดด้วยสารประกอบ 3 - aminopropyltriethoxysilane (A) และ 3 - mercaptopropyltrimethoxysilane (B) ความด้านทานการนีกขาด และการยึดตัวของวัสดุผสมมีค่าสูงกว่าวัสดุที่เคลือบด้วยอนุภาคที่ไม่ผ่านการปรับสภาพพื้นผิวด้วย A หรือ B โดยการเติมส่วนผสม A และ B โดยใช้วิธีผสม และการปรับสภาพผิวส่วนผสมของ A และ B ที่มีโครงสร้าง dialkoxy อย่างไรก็ตามการตรวจสอบเหล่านี้ไม่สามารถปรับปรุงสมบัติทางกลทั้งหมดสามข้อดังกล่าวได้อย่างสมบูรณ์ ในกรณีของชั้นที่ผ่านการบำบัดด้วยสารคุ้มครองไชแลนซึ่งเป็นไปตามเงื่อนไขดังกล่าวพบว่ามีส่วนประกอบของคาร์บอนไครอโอดีดที่มีความเครียดสูงในแนวเดียวกันความเครียดการนีกขาด และการยึดตัวสูงเมื่อนีกขาด

Akadasi, Hidawale, & Kapadi, 2004 ในงานวิจัยนี้ถ้าโลยที่ผ่านการปรับสภาพด้วยตัวประสานคุ้มครองไชแลน (Si69) ถูกนำมาใช้เป็นสารตัวเติมยาง polybutadiene (PBR) การเบรียบเทียบสมบัติของวัสดุผสมที่มีถ้าโลยที่ผ่านการปรับสภาพผิวแล้วและไม่ผ่านการปรับสภาพผิวพบว่าวัสดุผสมที่มีถ้าโลยที่ผ่านการปรับสภาพผิวแล้วมีคุณสมบัติเสริมแรงดีขึ้น

บทที่ 3

สารเคมี อุปกรณ์และวิธีการทดลอง

3.1 น้ำยาและสารเคมี

3.1.1 น้ำยาขัน ร้อยละ 60 ชนิดแอมโนเนียสูง (concentrated latex 60% HA, NR latex) มีลักษณะเป็นสีขาว ทำหน้าที่เป็นน้ำยา ผลิตโดยบริษัทจะนะน้ำยาขัน จำกัด อ.จะนะ จังหวัดสงขลา ประเทศไทย

3.1.2 กำมะถัน (sulphur, S) มีลักษณะเป็นผงสีเหลือง ทำหน้าที่เป็นสารวัลค่าไนซ์ (vulcanizing agent) เป็นเกรดที่ใช้ในอุตสาหกรรมยาง ผลิตโดยบริษัท กรุงเทพเคมีอุตสาหกรรม จำกัด อ.เมืองสมุทรปราการ จังหวัดสมุทรปราการ ประเทศไทย

3.1.3 ชิงค์ไดอีทิลไดโซ่อาร์บามาต (zinc diethyl dithiocarbamate, ZDEC) มีลักษณะเป็นผงสีขาวครีม ทำหน้าที่เป็นสารตัวเร่ง (accelerator) ในปฏิกิริยาวัลค่าไนซ์เป็นสารตัวเร่งใน กลุ่มไดโซ่อาร์บามาต ผลิตโดยบริษัท ไช่น่า เนชั่นแนล เคมิคอล คอนสตรัคชัน (China National Chemical Construction Corp.) ประเทศจีน

3.1.4 ชิงค์เมอร์แคปโตเบนโซไซโธโซล (zinc mercaptobenzothiazole, ZMBT) มีลักษณะเป็นผงสีเหลืองคละอีกด ทำหน้าที่เป็นสารตัวเร่ง (accelerator) ที่ใช้ในการทำโฟมยาง ผลิตโดยบริษัท ไช่น่า เนชั่นแนล เคมิคอล คอนสตรัคชัน (China National Chemical Construction Corp.) ประเทศไทย

3.1.5 ชิงค์ออกไซด์ (zinc oxide, ZnO) มีลักษณะเป็นผงสีขาวละเอียด ชนิดไวท์ซีล (white seal) ทำหน้าที่เป็นสารกระตุ้น (activator) เพิ่มประสิทธิภาพในการทำงานของตัวเร่ง ให้เกิดปฏิกิริยาเร็วขึ้น ผลิตโดยบริษัท อุทิศอุตสาหกรรมเคมี จำกัด แขวงบุคคล เขตธนบุรี กรุงเทพมหานคร ประเทศไทย

3.1.6 โพแทสเซียมโอลิเอต (potassium oleate) มีลักษณะเป็นของเหลวหนืดสีเหลืองทอง คล้ายน้ำมัน ทำหน้าที่เป็นสารที่ใช้ในการทำให้น้ำยาเป็นฟองในโฟม ทำให้น้ำยาเสถียร ไม่ให้น้ำ

ยางจับเป็นเม็ดหรือเป็นก้อน ช่วยลดแรงตึงผิวของยาง ผลิตโดยบริษัท ครากอน อินเตอร์เนชันแนล จำกัด ประเทศไทย

3.1.7 ไดฟีนิลกัวนิดีน (diphenyl guanidine, DPG) มีลักษณะเป็นผงสีขาวละเอียด ทำหน้าที่ให้ฟองยางแตกตัว ช่วยในการคงสภาพของโพฟมไห้นานขึ้น ทำให้ผิวของโพฟมเนียนสวาย ผลิตโดยบริษัท อุทิศอุตสาหกรรมเคมี จำกัด แขวงบุคคล เขตชนบุรี กรุงเทพมหานคร ประเทศไทย

3.1.8 โซเดียม ซิลิโคฟลูออไรด์ (sodium silicofluoride, SSF) มีลักษณะเป็นผงสีขาวละเอียด ทำหน้าที่เป็นสารที่ทำให้หัวยางจับตัวในกระบวนการทำโพฟมยาง ทำให้เกิดการเจล และคงสภาพโพฟม ผลิตโดยบริษัท เทอเปีย โอดเมียวโด (Hebei Domydo Co., Ltd.) ประเทศจีน

3.1.9 ฟูมซิลิกา (fumed silica, SiO₂) มีลักษณะเป็นผงสีขาว น้ำหนักเบา เป็นสารตัวเติม ที่ดีที่สุดในบรรดาสารตัวเติมที่ไม่ใช่สีดำ ช่วยเสริมแรงให้กับโพฟมยาง ผลิตโดย บริษัท เวคเกอ เคมิ คอล ฟูมซิลิกา จำกัด (Wacker Chemical Fumed Silica (Zhangjiagang) Co.Ltd.) ประเทศจีน

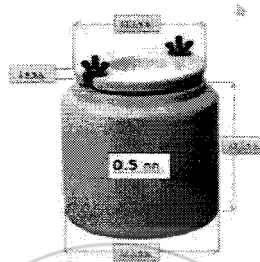
3.1.10 เบนโทไนท์ (bentonite) มีลักษณะเป็นผงสีเทา เป็นสารป้องกันการตกตะกอนของสารเคมี ช่วยในการกระจายของสารเคมีขณะบดและการดูดซับน้ำได้ดี ผลิตโดย บริษัท เทพเกย์ตร อุตสาหกรรม จำกัด แขวงทุ่งครุ เขตทุ่งครุ กรุงเทพมหานคร ประเทศไทย

3.1.11 วัลตามอล (vultamol) มีลักษณะเป็นผงสีน้ำตาล ใช้เป็นสารช่วยให้สารทึบดอยู่ในรูปของดิสเพอร์ชัน ผลิตโดยบริษัทเทพเกย์ตรอุตสาหกรรม จำกัด แขวงทุ่งครุ เขตทุ่งครุ กรุงเทพมหานคร ประเทศไทย

3.1.12 แอมโมเนียมไฮดรอกไซด์ (ammonium hydroxide, NH₄OH) มีลักษณะเป็นของเหลว ไม่มีสี สารละลายน้ำได้ดี ร้อยละ 25 ผลิตโดยบริษัท ควอลิตี้ รีอเจนต์ เคมิคอล จำกัด (Quality Reagent Chemical Co., Ltd.) ประเทศไทย

3.2 เครื่องมือและอุปกรณ์

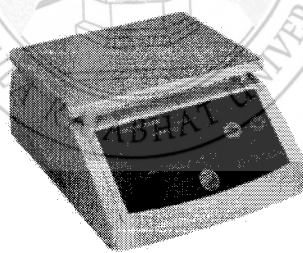
3.2.1 เครื่องบด (ball mill) มีลักษณะเป็นถังกลมรูปทรงกระบอกสีขาว ภายในมีตัวบดเซรามิก สำหรับบดสารเคมีให้อยู่ในรูปคิสเพอร์ฟชัน ใช้มอเตอร์ขับเครื่องให้หมุนในแนวนอนผลิตโดย ห้างหุ้นส่วน ลีมการซ่าง ประเทศไทย



รูปที่ 3.1 เครื่องบด (ball mill)

(ที่มา: <https://www.cerawan.com>)

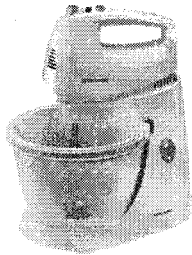
3.2.2 เครื่องชั่งไฟฟ้า (electrical balance) สำหรับชั่งสารเคมี ยี่ห้อ Mettler Toledo รุ่น ML 3002 ชั่งได้ละเอียด 0.01 กรัม สามารถรับน้ำหนักได้สูงสุด 3100 กรัม ผลิตโดย บริษัท เมตเตอร์โตledo จำกัด (Mettler Toledo Co., Ltd.) ประเทศไทยสวิสเซอร์แลนด์



รูปที่ 3.2 เครื่องชั่งไฟฟ้า (electrical balance)

(ที่มา: <http://www.meritech.co.th>)

3.2.3 เครื่องผสมอาหารแบบมือจับ สำหรับทำโฟมยาง ยี่ห้อ Electrolux รุ่น EHSM2000 แรงดันไฟฟ้า 220 – 240 โวลต์ 50/60 เฮิรตซ์ อัตราการใช้ไฟฟ้า 300 วัตต์ น้ำหนัก 2.4 กิโลกรัม ผลิตโดยบริษัทพีอาร์ซี (P.R.C) ประเทศไทย



รูปที่ 3.3 เครื่องผสมอาหารแบบมือจับ
(ที่มา: <http://www.unionaudiosale.com>)

3.2.4 หม้อน้ำไอ้น้ำ ขนาด 32 x 23 เซนติเมตร สำหรับน้ำฟองยาง พลิตโอดิย บริษัท
ทักษิณเอนเตอร์ไพรส์ (ไทย) จำกัด ต.บางเขน อ.เมืองนนทบุรี จังหวัดนนทบุรี ประเทศไทย

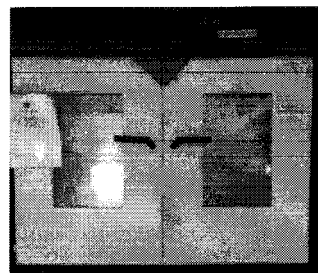


3.2.5 แก๊สหุงต้ม ขนาดน้ำหนักสุทธิ 4 กิโลกรัม เป็นแหล่งให้พลังงานความร้อนแก่
หม้อน้ำไอ้น้ำ พลิตโอดิยบริษัท สยามแก๊ส แอนด์ ปิโตรเคมีคัลล์ จำกัด ประเทศไทย



รูปที่ 3.5 แก๊สหุงต้ม
(ที่มา: <http://homegas.blogspot.com>)

3.2.6 ตู้อบอากาศร้อน (hot air oven) สำหรับในการอบชิ้นทดสอบ เป็นตู้อบอากาศร้อนแบบดิจิตอลสามารถปรับอุณหภูมิสูงสุด ได้ 300 องศาเซลเซียส ยี่ห้อ WTB Binner ผลิตโดยบริษัท ทрудลินจิน (Tuttlingin) ประเทศเยอรมัน



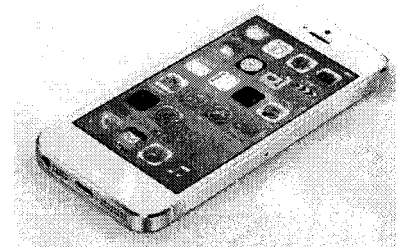
รูปที่ 3.6 ตู้อบอากาศร้อน (hot air oven)

3.2.7 แบบพิมพ์ทรงกระบอกกลูมิเนียม ขนาด 10×5 เซนติเมตร สำหรับใส่โฟมยาง เมื่อปั๊บเสร็จแล้ว ผลิตโดยบริษัท ศรีไทยไฟศาลโลหะการ จำกัด แขวงบางบอน เขตบางบอน กรุงเทพมหานคร ประเทศไทย



รูปที่ 3.7 แบบพิมพ์ทรงกระบอกกลูมิเนียม

3.2.8 กล้องถ่ายรูปมือถือ ยี่ห้อ Iphone รุ่น 5s สำหรับถ่ายรูปชิ้นทดสอบ ผลิตโดยบริษัทแอปเปิล ประเทศไทย



รูปที่ 3.8 กล้องถ่ายรูปมือถือ
(ที่มา: <https://specphone.com>)

3.2.9 กล้องส่องจุลทรรศน์แบบส่องกราด (scanning electron microscopy, SEM) ยี่ห้อ FEI รุ่น Quanta 400 ใช้กำลังขยาย 20x 50x และ 100x ผลิตโดยบริษัทอ็อกฟอร์ด อินสทรูเม้นท์ โอลิวิท แอดสเท็ก (Oxford Instruments provides Aztec) ประเทศสหรัฐอเมริกา



รูปที่ 3.9 กล้องส่องจุลทรรศน์แบบส่องกราด

3.2.10 เครื่องทดสอบความต้านทานต่อแรงดึง (universal testing machine) สำหรับ ใช้งานทุกรูปแบบการทดสอบ ทั้งทางค้านแรงดึง แรงกด การดัดโค้ง แรงเฉือนการหลุดลอก การทดสอบแบบเป็นรอบ (cycle) และการทดสอบแบบขั้นบันได (step test) เป็นต้น ยี่ห้อ Narin รุ่น NRI-TS500-30B 20kN (ASTM D3574) ผลิตโดยบริษัท นรินทร์ อินสทรูเม้นท์ จำกัด (Narin Instruments Co., Ltd) ประเทศไทย



รูปที่ 3.10 เครื่องทดสอบความต้านทานต่อแรงดึง

(ที่มา: <http://chanamachine.blogspot.com>)

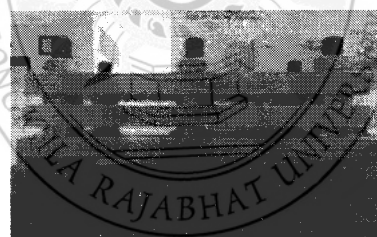


3.2.11 เครื่องทดสอบความแข็ง (hardness tester) สำหรับใช้วัดความแข็งของวัสดุจำพวกยางและพลาสติกชนิดความแข็งน้อย โดยใช้วิธีการเจาะแท่งหัวเข็มเข้าไปในชิ้นงาน ชนิด Shore OO ยี่ห้อ bareiss germany รุ่น 9028-01 D-K-51206-01-00 2016-01 (ASTM D2240) ผลิตโดย บริษัท บาร์เยส (Bareiss (Heinrich Bareiss Prüfgerätebau GmbH)) ประเทศเยอรมัน



รูปที่ 3.11 เครื่องทดสอบความแข็ง

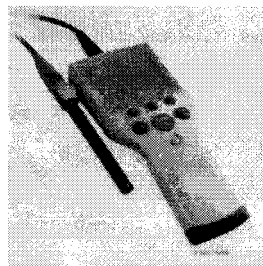
3.2.12 เครื่องทดสอบความด้านทานต่อแรงกด (compression set tester) สำหรับ การทดสอบการวัดสมบัติของการบีบอัดของวัสดุ ยี่ห้อ Yasuda รุ่น JIS-A5756 (ASTM D 395) ผลิตโดยบริษัท ยาซุดะ ไซกิ ไซกาภูรุค (Yasuda Seiki Seisakusho, LTD) ประเทศญี่ปุ่น



รูปที่ 3.12 เครื่องทดสอบความด้านทานต่อแรงกด (compression set tester)

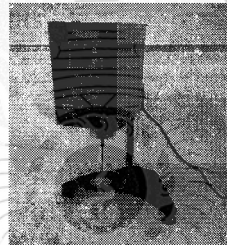
3.2.13 เครื่องวัดความเป็นกรด-ค้าง (pH meter) สำหรับวัดความเป็นกรด-ค้างของพูมซิลิกา ยี่ห้อ Mettler Toledo รุ่น SG2-FK SevenGo Portable pH Meter ผลิตโดยบริษัท เมทเตลเลอร์ โตledo จำกัด (Mettler Toledo Co., Ltd.) ประเทศไทยและแลนด์

๖๗๘.๔
๘๒๔



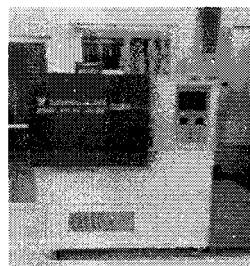
รูปที่ 3.13 เครื่องวัดความเป็นกรด-ด่าง (pH meter)
(ที่มา: <http://pnpscience.weloveshopping.com>)

3.2.14 เครื่องทดสอบความหนืด (Brookfield viscometer) สำหรับหาความหนืดของฟูเมซิลิกา (fume silica) รุ่น Model DV-II ผลิตโดยบริษัท บрукฟิลด์ เอนจิเนียริ่ง แคลบบอราโทรี จำกัด (Brookfield Engineering Laboratories Co., Ltd) ประเทศสหรัฐอเมริกา



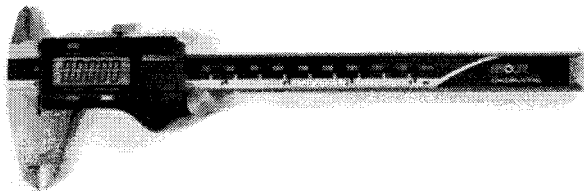
รูปที่ 3.14 เครื่องทดสอบความหนืด (Brookfield viscometer)
(ที่มา: <http://taradlab.tarad.com>)

3.2.15 เครื่องทดสอบการบ่มเร่ง (Gear aging oven) เป็นตู้ควบคุมอุณหภูมิ สำหรับทดสอบความสามารถในการทนต่ออุณหภูมิสูงของวัสดุตัวอย่างประเภทยางและพลาสติก การทดสอบตัวอย่างเป็นแบบเคลื่อนที่หมุนตัวอย่างทดสอบและควบคุมอัตราการถ่ายเทของอากาศ เข้าออกตู้ อุณหภูมิสูงสุด 300 องศาเซลเซียส ความเร็วในการหมุน 5-10 รอบต่อนาที ยี่ห้อ Yasuda รุ่น JIS-A5756 ผลิตโดย บริษัทยาซุดะ ไชกิ ไซกากุชูโระ (Yasuda Seiki Seisakusho, LTD) ประเทศญี่ปุ่น



รูปที่ 3.15 เครื่องทดสอบการบ่มเร่ง (Geer aging oven)

3.2.16 เวอร์เนียดิจิตอล (mitutoyo) สำหรับวัดความหนาของชิ้นทดสอบ ยี่ห้อ Mitutoyo รุ่น 500-197-30 ผลิตโดยบริษัทมิตูโตกะ จำกัด (Mitutoyo Co., Ltd) ประเทศญี่ปุ่น ทดสอบสามารถวัดคละอีกด 0.01 มิลลิเมตร ยี่ห้อ Mitutoyo รุ่น 7301 Standard series ผลิตโดยบริษัทมิตูโตกะ (Mitutoyo Co., Ltd) ประเทศญี่ปุ่น



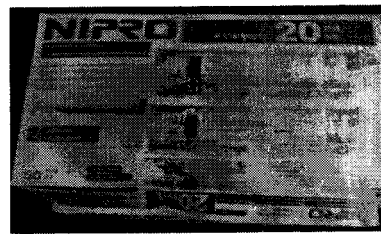
รูปที่ 3.16 เวอร์เนียดิจิตอล (mitutoyo)
(ที่มา: <http://www.bbntool.co.th>)

3.2.17 เครื่องวัดความหนา (micrometer thickness gauge) สำหรับวัดความหนาของชิ้นทดสอบสามารถวัดคละอีกด 0.01 มิลลิเมตร ยี่ห้อ Mitutoyo รุ่น 7301 Standard series ผลิตโดยบริษัทมิตูโตกะ จำกัด (Mitutoyo Co., Ltd) ประเทศญี่ปุ่น



รูปที่ 3.17 เครื่องวัดความหนา (micrometer thickness gauge)
(ที่มา: <http://www.bbntool.co.th>)

3.2.18 กระบอกเข็มฉีดยา ยี่ห้อ nipro ขนาด 10 มิลลิลิตร และ 20 มิลลิลิตร สำหรับป้อนสารเคมีที่เป็นของเหลว ผลิตโดยบริษัท ที ไอ เอส เอฟ จำกัด อำเภอเมืองลำพูน จังหวัดลำพูน



รูปที่ 3.18 ระบบออกแบบนิ่มชา

(ที่มา: <http://essixthai.weloveshopping.com>)

3.2.19 แบบพิมพ์

- แบบพิมพ์ทดสอบสมบัติด้านการรัดซีด (Tensile)

ขนาด 25.4 มิลลิเมตร × 139.7 มิลลิเมตร



รูปที่ 3.19 แบบพิมพ์ทดสอบสมบัติด้านการรัดซีด (Tensile)

- แบบพิมพ์ทดสอบการจัดตัวเนื่องจากแรงกด (Compression set)

ขนาด 50 มิลลิเมตร × 50 มิลลิเมตร



รูปที่ 3.20 แบบพิมพ์ทดสอบการจัดตัวเนื่องจากแรงกด (Compression set)

3.2.20 เครื่องแก้ววิทยาศาสตร์/อุปกรณ์ที่ใช้

- บีกเกอร์ ขนาด 20 มิลลิลิตร 100 มิลลิลิตร และ 500 มิลลิลิตร



รูปที่ 3.21 บีกเกอร์

(ที่มา: <http://guru.sanook.com>)

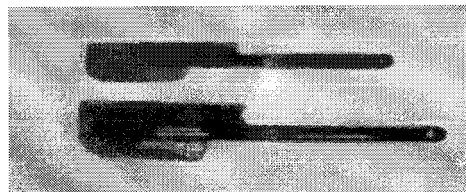
- แท่งแก้วคน



รูปที่ 3.22 แท่งแก้วคน

(ที่มา: <http://sciplus.lnwshop.com>)

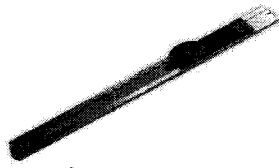
- ไม้กวนแป้งขนม



รูปที่ 3.23 ไม้กวนแป้งขนม

(ที่มา: <http://ibakedhomemadebakery.blogspot.com>)

- มีคัตเตอร์



รูปที่ 3.24 มีคัตเตอร์

(ที่มา: <http://www.officemate.co.th>)

- กรรไกร



รูปที่ 3.25 กรรไกร

(ที่มา: <http://www.officemate.co.th>)

3.3 วิธีดำเนินการทดลอง

3.3.1 การเตรียมสารเคมี

สารเคมีที่ใช้เป็นของแข็งที่ไม่ละลายน้ำ และแตกตัวกระจายในน้ำยา ได้ยกเนื่องจากมีขนาดอนุภาคที่ต่างกัน จึงต้องเตรียมสารเคมีให้เป็นของเหลวที่อยู่ในรูปของดิสเพอร์ชันเพื่อลดอนุภาคของสารเคมีให้มีขนาดที่ใกล้เคียงกับน้ำยา ทำด้วยโดยการบดอมนิล (ball mill) เป็นการบดวัตถุโดยใช้หลักการหมุนของหม้อบด โดยมีลูกบดและสารเคมีที่ช่วยในการลดอนุภาคอยู่ภายใน

ตารางที่ 3.1 การเตรียมสารเคมีดิสเพอร์ชันสำหรับตีโพเมยางธรรมชาติ

สารเคมี	ร้อยละ โดยน้ำหนัก					
	sulphur	ZMBT	ZDC	ZnO	DPG	SFF
	50%	50%	50%	50%	20%	20%
sulphur	50	-	-	-	-	-
ZMBT	-	50	-	-	-	-
ZDC	-	-	50	-	-	-
ZnO	-	-	-	50	-	-
DPG	-	-	-	-	20	-
SSF	-	-	-	-	-	20
SiO ₂	-	-	-	-	-	-
Ammonia	-	-	-	-	-	-
vultamol	1	1	1	1	1	1
bentonite	1	1	1	1	1	1
น้ำกลั่น	48	48	48	48	78	78
เวลาในการบด	72	48	48	48	48	48

โพแทสเซียม โอลิอेट (potassium oleate) เตรียมอยู่ในรูป 20 เปอร์เซ็นต์โดยการใช้กรด โอลิอेट ผสมกับโพแทสเซียม ไฮดรอกไซด์แล้วน้ำตามสูตรดังนี้

ตารางที่ 3.2 สัดส่วนของการเตรียมโพแทสเซียม โอลิอेट

ส่วนที่ 1	ชนิดของสารเคมี	ส่วนโดยน้ำหนัก
1	กรด โอลิอิค	100
	น้ำ	402
2	โพแทสเซียม ไฮดรอกไซด์	23.3
	น้ำ	43

*นำส่วนที่ 1 ไปอุ่นที่อุณหภูมิ 75 องศาเซลเซียส แล้วต้มส่วนที่ 2 ลงไปในส่วนที่ 1 ด้วยความเร็วสูง

3.3.2 ศึกษาอิทธิพลของปริมาณฟูมซิลิกา และแอมโมเนียที่มีต่อสมบัติของ ดิสเพอร์สันฟูมซิลิกา

เตรียมดิสเพอร์สันของฟูมซิลิกาโดยใช้สูตรตามตารางที่ 3.3 เพื่อศึกษาอิทธิพลของ ฟูมซิลิกา และแอมโมเนียที่มีต่อสมบัติของดิสเพอร์สันฟูมซิลิกา โดยบดด้วยเครื่องบดลมเป็นเวลา 72 ชั่วโมง

ตารางที่ 3.3 สูตรที่ใช้ในการเตรียมดิสเพอร์สันฟูมซิลิกา

ชนิดของสารเคมี	1	2	3	4
ฟูมซิลิกา	25	10	10	25
แอมโมเนีย	1	1	10	10
วัลกามอล	1	1	1	1
เบนโทไนท์	1	1	1	1
น้ำกลั่น	72	87	78	63
เวลาที่ใช้ในการบด	72	72	72	72

3.3.3 ศึกษาผลของสารคุณภาพ ไฮเดน และอุณหภูมิในการเตรียม Si69-t-SiO₂ ที่มีผลต่อการขึ้นรูปและสมบัติของฟูมยางธรรมชาติ

3.3.3.1 ศึกษาการเตรียมฟูมซิลิกาที่ปรับสภาพผิวด้วยสารคุณภาพ ไฮเดน Si69

นำดิสเพอร์สันฟูมซิลิกาได้จากการทดลอง 3.3.2 (เลือกสภาพที่ได้ดิสเพอร์สันฟูมซิลิกาที่เหมาะสม) มาปรับปริมาณของ Si69 และ อุณหภูมิในการทำปฏิกิริยาของ Si69

ตามลำดับการทดสอบที่คำนวนได้จากเทคนิค RSM เพื่อหาสภาวะที่เหมาะสมในการเตรียม ดิสเพอร์สชันฟูมซิลิกาที่ปรับสภาพผิวด้วย Si69 โดยทดสอบหาสภาวะที่เหมาะสมของการตีโฟมต่อไป

ตารางที่ 3.4 สูตรการทดสอบ Si69-t-SiO₂ ที่ปรับปรุงสารกรุ่น Si69 และอุณหภูมิในการทำปฏิกิริยา

การทดลองที่	ร้อยละของ Si69	อุณหภูมิ (°C)
1	5.00	54.0
2	8.54	65.3
3	5.00	54.0
4	1.46	65.3
5	10.00	54.0
6	5.00	54.0
7	5.00	70.0
8	8.54	42.69
9	5.00	38.0
10	5.00	54.0
11	1.46	42.7
12	5.00	54.0
13	0.00	54.0

ชั้งฟูมซิลิกาดิสเพอร์สชันที่มีความหนืดที่เหมาะสมจากการทดลองที่ 3.3.2 และสารกรุ่น Si69 ใช้แทนตามลำดับการทดสอบดัง ตารางที่ 3.4 นำดิสเพอร์สชันฟูมซิลิกา และสารกรุ่น Si69 ปรุงสารกรุ่น Si69 ให้เข้ากันและตีฟองโดยใช้อ่างควบคุมอุณหภูมิเป็นตัวปรับอุณหภูมิตามปริมาณสารกรุ่น Si69 ที่ต้องการ 20 นาที และตั้งให้เย็นที่อุณหภูมิห้อง หลังจากนั้นนำดิสเพอร์สชันฟูมซิลิกาปรับสภาพผิวด้วยสารกรุ่น Si69 ใช้แทนมาทดสอบ pH และความหนืด

3.3.3.2 ศึกษาการเตรียมโฟมยางธรรมชาติที่ใช้ฟูมซิลิกาที่ปรับสภาพผิวด้วย Si69 เป็นสารตัวเตม

นำดิสเพอร์สชันฟูมซิลิกาที่ปรับสภาพผิวด้วยสารกรุ่น Si69-t-SiO₂ ที่เตรียมได้ทั้ง 13 การทดลอง จากการทดลองที่ 3.3.3.1 นำมาผสมลงในโฟมยาง เพื่อที่จะศึกษาเปรียบเทียบสมบัติทางพิสิกส์ที่เหมาะสมสำหรับการตีโฟมของผลิตภัณฑ์โฟมยาง

ตารางที่ 3.5 น้ำหนักน้ำยาและสารเคมีที่ใช้เตรียม โฟมยางผสมซิลิกาที่ปรับสภาพผิวด้วย Si69

Chemicals	weight (phr)
NRL	100
Sulphur	3.35
ZMBT	1.67
ZDC	1.67
ZnO	6.71
Si69-t-SiO ₂	1.67
potassium oleate	5.03
DPG	2.01
SSF	1.34

ทำการซั่งสารเคมีตาม ตารางที่ 3.5 โดยซั่ง NRL และ potassium oleate และนำมาเทรwmลงในหม้อของเครื่องตีฟอง เดินเครื่องด้วยความเร็วช้าสุดเป็นเวลา 7 นาที เพื่อไม่ให้แยกไมเนียในน้ำยาของไป เติมสารเคมี Sulphur, ZDC และZMBT ตามสูตรเทลงในหม้อของเครื่องตีฟอง เดินเครื่องด้วยความเร็วช้าสุดเป็นเวลา 5 นาที ลดความเร็วช้าสุด 1 นาที และลดความเร็วปานกลาง 2 นาที ตีฟองให้ได้ความสูง 3-4 เท่า จากนั้นเดินเครื่องด้วยความเร็วช้าเติม ZnO และ Si69-t-SiO₂ เป็นเวลา 3 นาที และเติม DPG ลงไปเป็นเวลา 5 นาที เพื่อให้ฟองละอองแตกเล็กลง ไปอีก เมื่อครบกำหนดเวลาจะที่เครื่องยังเดินอยู่ให้เติมโซเดียม SSF ลงไปเป็นเวลา 1 นาที หยุดเครื่องแล้วเทโฟมยางลงในเบ้าพิมพ์ที่เตรียมไว้ จับเวลาการเจลของโฟมยาง โดยการเทโฟมยางลงในกระถานพิกาน จากนั้นนำโฟมยางที่ได้เตรียมไว้ จับเวลาการเจลของโฟมยาง และหยุดเวลาเมื่อโฟมยางเจลแล้ว นำโฟมยางที่ได้ไปให้ความร้อนในสังเกตการเจลของโฟมยาง และหยุดเวลาเมื่อโฟมยางเจลแล้ว นำโฟมยางที่ได้ไปให้ความร้อนในหม้อนั่งไอน้ำเป็นเวลา 30 นาที เพื่อให้เกิดการวัตถุคายน์ และนำโฟมยางที่ได้ไปล้างน้ำแล้วบีบนำไปห่อ ทำเช่นนี้ หลายๆ ครั้งเพื่อขัดสารเคมีที่ตกค้างอยู่ในโฟมยางออกมาก นำโฟมยางที่ได้ไปอบแห้งที่อุณหภูมิ 100 องศาเซลเซียส จนแห้ง เมื่อโฟมยางแห้งแล้วก็นำมาทดสอบการทดสอบ การขุบตัวของโฟมยาง การทดสอบแรงที่ทำให้ความหนาของโฟมยางลดลง 25% และการทดสอบสมบัติค้านการดึง

3.3.4 ศึกษาและเปรียบเทียบของปริมาณ SiO_2 กับ Si69-t-SiO_2 ที่มีต่อสมบัติของโพเมยางธรรมชาติ

นำดิสเพอร์สชัน จากสูตรที่เหมาะสมที่สุดสำหรับผลิตภัณฑ์โพเมยางมาศึกษาการเปรียบปริมาณของ Si69-t-SiO_2 และเปรียบเทียบกับโพเมยางที่ใช้ SiO_2 อย่างเดียวโดยการแปรปริมาณดังนี้ 0, 0.83, 1.67 และ 2.51 phr ตารางที่ 3.6

ตารางที่ 3.6 น้ำหนักน้ำยางและสารเคมีที่ใช้เตรียมโพเมยาง

น้ำยางและสารเคมี	น้ำหนัก (phr)						
	A	B	C	D	E	F	G
NRL	100	100	100	100	100	100	100
Sulphur	3.35	3.35	3.35	3.35	3.35	3.35	3.35
ZMBT	1.67	1.67	1.67	1.67	1.67	1.67	1.67
ZDC	1.67	1.67	1.67	1.67	1.67	1.67	1.67
ZnO	6.71	6.71	6.71	6.71	6.71	6.71	6.71
Fum Silica	0	0.83	1.67	2.51	-	-	-
Si69-t-SiO_2	-	-	-	-	0.83	1.67	2.51
potassium oleate	5.03	5.03	5.03	5.03	5.03	5.03	5.03
DPG	2.01	2.01	2.01	2.01	2.01	2.01	2.01
SSF	1.34	1.34	1.34	1.34	1.34	1.34	1.34

ทำการทดลองเช่นเดียวกับการทดลองที่ 3.3.3.2 โดยใช้น้ำหนักน้ำยางและสารเคมีตามสูตรในตารางที่ 3.6.

3.3.5 การทดสอบ

3.3.5.1 การทดสอบสารเคมี

1) การทดสอบปริมาณของทั้งหมด (total solid content, TSC %)

- ชั่งน้ำหนักของงานแก้วให้ละเอียดถูกต้องถึง 0.0001 มิลลิกรัม บันทึกน้ำหนักของงานแก้ว

2. เทฟูมซิลิกาตัวอย่างลงไปประมาณ 2.5 ± 0.5 กรัม บันทึกน้ำหนักของฟูมซิลิกาตัวอย่าง
3. เอียงจานไป-มาเพื่อให้ฟูมซิลิกากระจายทั่วจานแก้ว
4. นำจานแก้วไปปอนแห้งที่ตั้งอุณหภูมิไว้แล้วที่ 100 ± 2 องศาเซลเซียส เป็นเวลา 2 ชั่วโมง
5. เอาออกจากตู้อบแห้ง แล้วทิ้งไว้ให้เย็นลงจนถึงอุณหภูมิห้อง
6. ชั่งน้ำหนัก บันทึกน้ำหนักหลังการอบแห้งครั้งที่ 1
7. นำไปปอนซ้ำอีกเป็นเวลา 15 นาที ทำให้เย็นแล้วชั่งน้ำหนักหลังจากการอบแห้งครั้งที่ 2 บันทึกน้ำหนักที่ซึ่งได้ผลต่างของน้ำหนักหลังการอบแห้งครั้งที่ 1 และครั้งที่ 2 ควรจะแตกต่างกันไม่เกิน 1 มิลลิกรัม (ถ้าแตกต่างเกิน 1 มิลลิกรัม ต้องนำไปปอนแห้ง ทำใหม่ให้เย็นและซ้ำซ้ำอีกจนกระหั่งผลต่างของน้ำหนักแตกต่างกันไม่เกิน 1 มิลลิกรัม)
8. คำนวณ TSC ดังนี้

$$TSC, \% = (C-A) / (B-A) \times 100$$

โดย

A = น้ำหนักของจานแก้ว (กรัม)

B = น้ำหนักของจานแก้วกับฟูมซิลิกาตัวอย่าง (กรัม)

C = น้ำหนักของจานแก้วกับฟูมซิลิกาที่แห้งแล้ว (กรัม)

ให้ทำการทดลอง 2 ตัวอย่างต่อฟูมซิลิกาตัวอย่าง 1 ชุด และผลต่างของข้อมูลในฟูมซิลิกาตัวอย่าง ชุดเดียวกันไม่ควรเกิน 0.15% รายงานผลการทดลองโดยใช้ค่ากลาง

2) การทดสอบค่า pH

การทดสอบค่า pH โดยใช้เครื่องวัดค่า pH จะทำการทดสอบ 3 ครั้ง ต่อตัวอย่าง โดยจะรายงานผลด้วยค่ากลาง

3) การทดสอบสมบัติของคิสเพอร์สัชันฟูมซิลิกา

นำฟูมซิลิกาที่เตรียมได้จากการแปรปริมาณของฟูมซิลิกาตามตารางที่ 3.9 มาทดสอบสมบัติทางกายภาพ ดังนี้

(1) การทดสอบปริมาณของหินหมดในสารเคมี(total solid content,TSC)

- ชั่งน้ำหนักของงานแก้วให้ละเอียดถูกต้องถึง 0.0001 มิลลิกรัม บันทึกน้ำหนักของงานแก้ว
- เทฟูมซิลิกาตัวอย่างลงไปประมาณ 2.5 ± 0.5 กรัม บันทึกน้ำหนักของฟูมซิลิกาตัวอย่าง
- เอียงงานไป-มาเพื่อให้ฟูมซิลิกากระจายทั่วงานแก้ว
- นำงานแก้วไปอบแห้งที่ตั้งอุณหภูมิไว้แล้วที่ 100 ± 2 องศาเซลเซียส เป็นเวลา 2 ชั่วโมง
- เอาออกจากตู้อบแห้ง แล้วทิ้งไว้ให้เย็นลงจนถึงอุณหภูมิห้อง
- ชั่งน้ำหนัก บันทึกน้ำหนักหลังการอบแห้งครั้งที่ 1
- นำไปอบซ้ำอีกเป็นเวลา 15 นาที ทำให้เย็นแล้วชั่งน้ำหนักหลังจาก การอบแห้งครั้งที่ 2 บันทึกน้ำหนักที่ชั่งได้ ผลต่างของน้ำหนักหลังการอบครั้งที่ 1 และ ครั้งที่ 2 ควรจะแตกต่างกันไม่เกิน 1 มิลลิกรัม (ถ้าแตกต่างเกิน 1 มิลลิกรัม ต้องนำไปอบแห้งทำให้เย็นและชั่งซ้ำอีกจนกระทั่งผลต่างของน้ำหนักแตกต่างกันไม่เกิน 1 มิลลิกรัม)
- คำนวน TSC ดังนี้

$$\text{TSC, \%} = (\text{C-A}) / (\text{B-A}) \times 100$$

โดยที่

A = น้ำหนักของงานแก้ว (กรัม)

B = น้ำหนักของงานแก้วกับฟูมซิลิกาตัวอย่าง (กรัม)

C = น้ำหนักของงานแก้วกับฟูมซิลิกาที่แห้งแล้ว (กรัม)

ให้ทำการทดลอง 2 ตัวอย่างต่อฟูมซิลิกาตัวอย่าง 1 ชุด และผลต่างของข้อมูลในฟูมซิลิกา ตัวอย่าง ชุดเดียวกันไม่ควรเกิน 0.15 เปอร์เซ็นต์ รายงานผลการทดลองโดยใช้ค่ากลาง

(2) การทดสอบ pH

การทดสอบ pH โดยใช้เครื่องวัดค่า pH จะทำการทดสอบ 3 ครั้ง ต่อตัวอย่างรายงานผลด้วยค่ากลาง

(3) การทดสอบความหนืด (viscosity)

โดยใช้เครื่อง Brookfield viscometer ในการทดสอบ โดยการเลือกแกนหมุน (Spindle) ที่ต้องการมาต่อเข้ากับแกนกลางของเครื่อง โดยให้แกนหมุน (Spindle) จุ่มลงในของเหลวจนระดับของเหลวอยู่ตรงคอกอุดของแกนหมุน (Spindle) พอดีปรับให้เครื่องอยู่ในแนวระดับโดยดูที่ลูกน้ำ ปรับเลือกระดับความเร็วที่ต้องการ แล้วเปิดสวิตส์เดินมอเตอร์เครื่อง ทดสอบความหนืด 5 ครั้ง บันทึกค่าความหนืดได้ รายงานผลการทดลองโดยใช้ค่าเฉลี่ย

3.3.5.2 การทดสอบสมบัติเชิงกล (mechanical properties)

1) การทดสอบหาการยุบตัวถาวรเนื่องจากแรงอัด (compression set)

การทดสอบหาการยุบตัวเนื่องจากแรงอัดทำได้โดยนำชิ้นทดสอบขนาดยาว (50 ± 1) มิลลิเมตร กว้าง (50 ± 1) มิลลิเมตร และหนา (25 ± 1) มิลลิเมตร มาดัดด้วยเครื่องกกดอัดให้มีความหนาลดลง 50% ของความหนาเดิม แล้วนำไปเข้าตู้อบที่อุณหภูมิ (70 ± 1) องศาเซลเซียสเป็นเวลา 22 ชั่วโมง นำออกจากตู้อบแล้วนำชิ้นทดสอบออกจากเครื่องกกดอัด วางทิ้งไว้ 30 นาที แล้วจึงวัดความหนาของชิ้นทดสอบ

คำนวณหาการยุบตัวคิดเป็นร้อยละของความหนาเดิม

$$C_h = \frac{t_0 - t_1}{t_0} \times 100$$

โดยที่ C_h คือ ความหนาที่ลดลงจากความหนาเดิมหลังจากผ่านแรงอัดแล้ว (เปอร์เซ็นต์)

t_0 คือ ความหนาเดิมของชิ้นทดสอบ (มิลลิเมตร)

t_1 คือ ความหนาของชิ้นทดสอบหลังจากผ่านแรงอัดแล้ว (มิลลิเมตร)

2) การทดสอบสมบัติด้านการดึง

ทดสอบสมบัติด้านการดึงตามมาตรฐาน ASTM D3574 โดยการนำแผ่นโพฟ ยางมาตรฐานที่มีขนาด 25.4 มิลลิเมตร $\times 139.7$ มิลลิเมตร วัดความหนาของชิ้นทดสอบ 3 จุด ให้ใช้

ค่ากลางเป็นค่าความหนาของชิ้นทดสอบ แล้วทดสอบด้วยเครื่องทดสอบการดึง ใช้อัตราเร็วในการดึงชิ้นทดสอบ 500 นิวตัน วัดแรงดึงและระยะยืดแล้วนำไปคำนวณสนับตัวง่ายดังนี้

- การทดสอบความต้านทานต่อแรงดึง (tensile strength, TS)

การคำนวณความต้านทานต่อแรงดึงดังสูตรต่อไปนี้

$$\text{tensile strength (N/mm}^2\text{)} = \frac{F}{A}$$

เมื่อ F = แรงที่ใช้ดึงทดสอบจนขาด (นิวตัน)

A = พื้นที่หน้าตัดของชิ้นทดสอบก่อนการดึง (ตารางมิลลิเมตร)

- การทดสอบความสามารถในการยืด (elongation at break, EB)

การคำนวณความสามารถในการยืดดังสูตรต่อไปนี้

$$\text{elongation at break (\%)} = \frac{L - L_0}{L_0} \times 100$$

เมื่อ L คือ ระยะห่างของรอยขีดบนชิ้นทดสอบขณะชิ้นทดสอบ (เซนติเมตร)

L_0 คือ ระยะห่างของรอยขีดบนชิ้นทดสอบก่อนการดึง (เซนติเมตร)

3) การทดสอบความแข็ง

นำชิ้นทดสอบโพลีเมอร์ที่เตรียมไว้ มาทดสอบความแข็งด้วยเครื่องทดสอบความแข็ง ชนิด Shore OO ตามมาตรฐาน ASTM D2240 โดยใช้ชิ้นทดสอบ 1 ชิ้นต่อตัวอย่างที่ทำการทดสอบ ทดสอบวัดความแข็ง 5 จุด รายงานผลโดยค่ากลาง

3.3.5.3 การทดสอบโครงสร้างและสัณฐานวิทยาของโพลีเมอร์

ทำการทดสอบส่องกล้องด้วยกล้องจุลทรรศน์แบบส่องกราด (scanning electron microscopy, SEM) โดยนำชิ้นทดสอบมาตัดให้เป็นชิ้นเล็กและบาง เพื่อศึกษาลักษณะทางสัณฐานวิทยาบริเวณรอยแตกหักของชิ้นทดสอบนำชิ้นทดสอบตัดครึ่งรอยขาดของชิ้นทดสอบที่ได้จากการดึงติดบนแท่งโลหะจากนั้นนำไปเคลือบผิวด้วยทองโดย sputtering technique ก่อนที่จะนำไปวิเคราะห์โดยใช้เทคนิคจุลทรรศน์แบบส่องกราด (scanning electron microscopy, SEM)

บทที่ 4

ผลและอภิปรายผลการทดลอง

4.1 อิทธิพลของเวลาในการบด ปริมาณฟูนชิลิก้า และแอมโนเนียมที่มีต่อสมบัติของ คิสเพอร์สเซ็นฟูนชิลิก้า

ศึกษาอิทธิพลของปริมาณฟูนชิลิก้า ปริมาณแอมโนเนียม รวมถึงเวลาในการบดด้วยข้อมูล โดยออกแบบการทดลองโดยใช้หลักสถิติแบบแฟคทอรีเรียล โดยใช้กราฟพื้นผิวตอบสนองได้ผลดังนี้

4.1.1 ผลการทดสอบค่าการทดสอบปริมาณของแข็งทั้งหมดในสารเคมี (total solid content, TSC)

ตารางที่ 4.1 อิทธิพลและสัมประสิทธิ์ค่าปริมาณของแข็งทั้งหมดในสารเคมี (total solid content, TSC) ของคิสเพอร์สเซ็น

Term	Effect	Coefficient	Standard Error Coefficient	T	P
Constant	-	19.6043	0.007833	2502.85	0.000
X ₁	14.8224	7.4112	0.007833	946.18	0.000
X ₂	1.0282	0.5141	0.007833	65.64	0.000
X ₁ * X ₂	0.3124	0.1562	0.007833	19.94	0.000

หมายเหตุ X₁ = ฟูนชิลิก้า

X₂ = แอมโนเนียม

ตารางที่ 4.2 วิเคราะห์ค่าความแปรปรวนของปริมาณของเชิงทั้งหมด (total solid content, TSC)

Source	Degree of freedom	Sequence Sum of Square	Adjust Sum of Square	Adjust Mean of Square	F	P
Main Effects	2	662.284	662.284	331.142	449780.64	0.000
X ₁	1	659.112	659.112	659.112	895252.99	0.000
X ₂	1	3.172	3.172	3.172	4308.29	0.000
2-Way Interactions	1	0.293	0.293	0.293	397.72	0.000
X ₁ * X ₂	1	0.293	0.293	0.293	397.72	0.000
Residual Error	8	0.006	0.006	0.001		
Pure Error	8	0.006	0.006	0.001		
Total	11	662.583				

หมายเหตุ X_i = พูมซิลิกา

X₁ = แอน โอม เนีย

ตารางที่ 4.1 อิทธิพลและสัมประสิทธิ์สำหรับค่าปริมาณของแข็งทั้งหมด (total solid content, TSC) ของคิสเพอร์ลชัน พบว่าค่าสัมประสิทธิ์จากการวิเคราะห์แบบโค๊ด (code) ได้ในดังตารางที่ 4.1 สามารถเขียนเป็นสมการความสัมพันธ์ระหว่างฟูนซิลิกากับโมเนียได้ว่า

$$Y = 19.6043 + 7.4112 * X_1 + 0.5141 * X_2 + 0.1562 * X_1 * X_2 \quad \dots \dots \dots \quad (1)$$

$$X_1 = 7.4112$$

$$X_2 = 0.5141$$

$$Y = 19.6043$$

แต่เนื่องจากการใช้สมการที่ได้จากข้อมูลแบบโค๊ด (code) จะทำให้เขียนกราฟพื้นที่ผิวตอบสนอง ไม่สอดคล้องกับค่าจริงของตัวแปรดังนั้นจึงทำการวิเคราะห์ด้วยข้อมูลจริงของตัวแปร ทำให้ได้ค่าสัมประสิทธิ์ดังตารางที่ 4.3 และสามารถเขียนสมการได้ดังสมการที่ 2

ตารางที่ 4.3 ค่าสัมประสิทธิ์ของปริมาณของแข็งทั้งหมด (total solid content, TSC)

Term	Coefficient
Constant	2.12855
X_1	0.962705
X_2	0.0332531
$X_1 * X_2$	0.00462840

หมายเหตุ X_1 = ฟูมซิลิกา

X_2 = แอมโมเนียม

$$Y = 2.12855 + 0.962705 * X_1 + 0.0332531 * X_2 + 0.00462840 * X_1 * X_2 \dots \dots \dots (2)$$

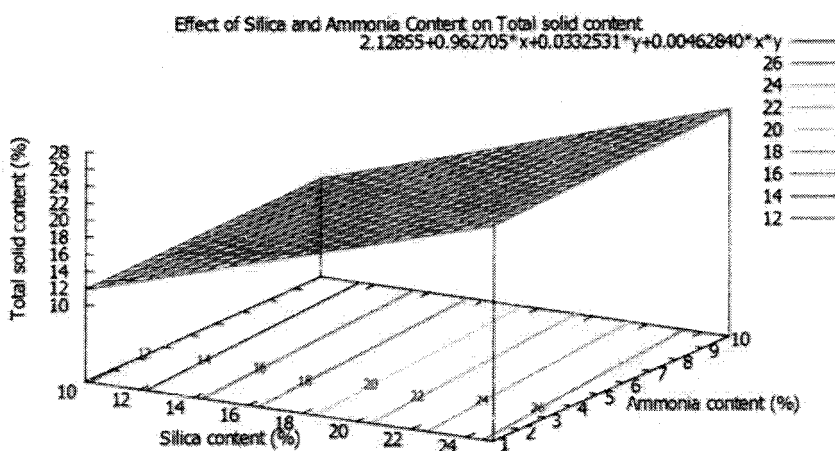
$$X_1 = 0.962705$$

$$X_2 = 0.0332531$$

$$Y = 2.12855$$

ซึ่งจากการวิเคราะห์ พบว่า ค่า R-Square มีค่า 100 % และ R-Square (adjust) มีค่า 100 % แสดงถึงสมการดังกล่าวสามารถดำเนินไปใช้ทำงานผลได้อย่างแม่นยำ

จากค่า p-Value ในตารางที่ 4.3 พบว่า ค่า p-Value ของฟูมซิลิกากับแอมโมเนียมมีค่าเท่ากับ 0.000 แสดงให้เห็นว่าตัวแปรทั้งสองคือฟูมซิลิกากับแอมโมเนียม ตลอดจนอันตราริษาระหว่างตัว แปรทั้งสองมีผลต่อค่าปริมาณของแข็งทั้งหมด (total solid content, TSC) อย่างมีนัยสำคัญ



รูปที่ 4.1 ความสัมพันธ์ระหว่างปริมาณฟูนซิลิกา (%) กับแอมโมเนีย (%) ที่มีต่อค่าปริมาณของแข็งทั้งหมดของดิสเพอร์สชันฟูนซิลิกา

จากรูปที่ 4.1 พบว่าเมื่อปริมาณของฟูนซิลิกาเพิ่มขึ้นส่งผลให้ค่าปริมาณของแข็งทั้งหมดเพิ่มขึ้น เนื่องจากฟูนซิลิกาเป็นบจจัยหลักที่มีผลต่อค่าปริมาณของแข็งทั้งหมด เพราะเป็นสารเคมีตัวเดียวที่มีปริมาณมากที่สุดในดิสเพอร์สชัน และไม่ระเหยไปเมื่อได้รับความร้อน ทำให้ปริมาณฟูนซิลิกามากขึ้น ค่าปริมาณของแข็งทั้งหมดจึงเพิ่มขึ้นอย่างมีนัยสำคัญ สำหรับผลของการแอมโมเนียพบว่ามีผลเล็กน้อย ซึ่งอาจมาจากการระเหยไม่สมบูรณ์ของมัน เนื่องจากผิวของฟูนซิลิกาที่มีหมุ่ไซลอนอลดีดเกาะไว้ (พรพร摊, 2528) เมื่อพิจารณาถึงอันตรายที่อาจเกิดขึ้น ควรระวังหัวใจว่าหัวใจจะส่องไฟฟ้าเมื่อสัมผัสกับฟูนซิลิกา แต่ก็ไม่สามารถระบุได้ว่าหัวใจจะส่องไฟฟ้าเมื่อสัมผัสกับฟูนซิลิกาได้หรือไม่ (บุญธรรม, 2532)

4.1.2 ผลการทดสอบค่าความหนาแน่น (density)

ตารางที่ 4.4 อิทธิพลและสัมประสิทธิ์ค่าความหนาแน่น (Density) ของดิสเพอร์สชัน

Term	Effect	Coefficient	Standard Error Coefficient	T	P
Constant	-	0.98361	0.007862	125.12	0.000
SiO_2	-0.16588	-0.08294	0.007862	-10.55	0.000
NH_3	0.24472	0.12236	0.007862	15.56	0.000
$\text{X}_1 * \text{X}_2$	0.23815	0.11907	0.007862	15.15	0.000

หมายเหตุ $\text{X}_1 = \text{SiO}_2$

$\text{X}_2 = \text{NH}_3$

ตารางที่ 4.5 วิเคราะห์ค่าความแปรปรวนของความหนาแน่น (Density)

<u>Source</u>	<u>Degree of freedom</u>	<u>Sequence</u>	<u>Adjust</u>	<u>Adjust</u>	<u>F.</u>	<u>P.</u>
		<u>Sum of Square</u>	<u>Sum of Square</u>	<u>Mean of Square</u>		
Main Effects	2	0.262211	0.262211	0.131105	176.77	0.000
SiO ₂	1	0.082552	0.082552	0.082552	111.31	0.000
NH ₃	1	0.179659	0.179659	0.179659	242.24	0.000
2-Way Interactions	1	0.170146	0.170146	0.170146	229.41	0.000
X ₁ *X ₂	1	0.170146	0.170146	0.170146	229.41	0.000
Residual Error	8	0.005933	0.005933	0.000742		
Pure Error	8	0.005933	0.005933	0.000742		
Total	11	0.438290				

នាំរាយខេះ $X_1 = \text{SiO}_2$

$$X_2 = \text{NH}_3$$

ตารางที่ 4.4 อิทธิพลและสัมประสิทธิ์สำหรับค่าความหนาแน่น (density) ของดิสเพลร์ชัน พบว่าค่าสัมประสิทธิ์จากการวิเคราะห์แบบโค๊ด (code) ได้ในดังตารางที่ 4.4 สามารถเขียนเป็นสมการเขียนเป็นสมการความสัมพันธ์ระหว่างฟูนชัลิกากับแอมโภเนีย ได้ว่า

$$X_1 = -0.08294$$

$$X_2 = 0.12236$$

$$Y = 0.98361$$

แต่เนื่องจากการใช้สมการที่ได้จากข้อมูลแบบโค๊ด (code) จะทำให้เขียนกราฟพื้นที่ผิวตอบสนอง ไม่สอดคล้องกับค่าจริงของตัวแปรดังนั้นจึงทำการวิเคราะห์ด้วยข้อมูลจริงของตัวแปร ทำให้ได้ค่าสัมประสิทธิ์ดังตารางที่ 4.6 และสามารถเขียนสมการได้ดังสมการที่ 4

ตารางที่ 4.6 ค่าสัมประสิทธิ์ของปริมาณของความหนาแน่น (Density)

Term	Coefficient
Constant	1.36717
X_1	-0.0304637
X_2	-0.0345519
$X_1 * X_2$	0.00352815

หมายเหตุ X_1 = ฟูมซิลิกา

X_2 = แอมโมเนียม

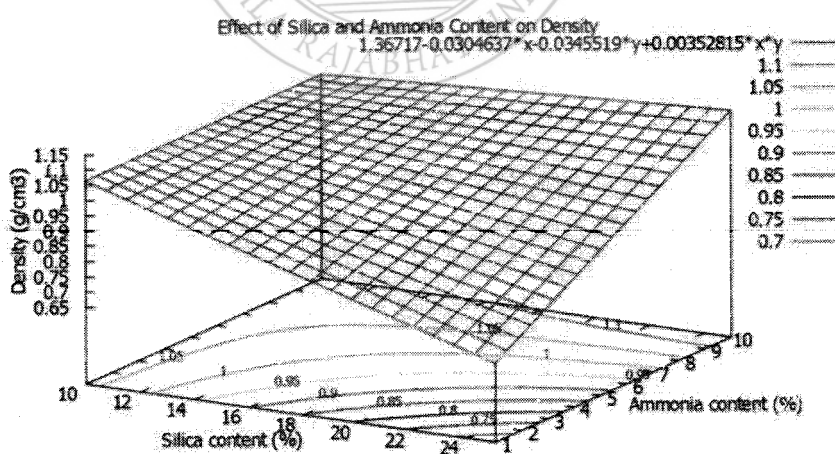
$$Y = 1.36717 - 0.0304637 * X_1 - 0.0345519 * X_2 + 0.00352815 * X_1 * X_2 \dots \dots \dots (4)$$

$$X_1 = -0.0304637$$

$$X_2 = -0.0345519$$

$$Y = 1.36717$$

ซึ่งจากการวิเคราะห์ พบว่า ค่า R-Square มีค่า 98.65 % และ R-Square (adjust) มีค่า 98.14 % แสดงถึงสมการดังกล่าวสามารถนำไปใช้ทำนายผลได้แม่นยำ
จากค่า p-Value ในตารางที่ 4.6 พบว่าค่า p-Value ของฟูมซิลิกากับแอมโมเนียม ค่าเท่ากับ 0.000 แสดงให้เห็นว่าตัวแปรทั้งสองคือฟูมซิลิกากับแอมโมเนียม ตลอดจนอันตรกิริยา ระหว่างตัวแปรทั้งสองมีผลต่อค่าความหนาแน่น (density) อย่างมีนัยสำคัญ



รูปที่ 4.2 ความสัมพันธ์ระหว่างปริมาณฟูมซิลิกา (%) กับแอมโมเนียม (%) ที่มีต่อค่าความหนาแน่น ของดิสเพอร์สชันฟูมซิลิกา

จากรูปที่ 4.2 พบว่าเมื่อปริมาณของฟูมซิลิกาเพิ่มขึ้นส่งผลให้ค่าความหนาแน่นเพิ่มขึ้น เพราะฟูมซิลิกามีความหนาแน่นต่ำ ($0.16-0.19$ กรัม/ลูกบาศก์เซนติเมตร) ดังนั้นเมื่อปริมาณของฟูมซิลิกาเพิ่มขึ้นจึงทำให้ความหนาแน่นของดิสเพอร์สชันลดลง ในขณะเดียวกันปริมาณแอมโมเนียมเพิ่มมากขึ้น พบว่าความหนาแน่นเพิ่มขึ้น (พงษ์ธร, 2548) ทั้งนี้เนื่องจากความหนาแน่นของแอมโมเนียมมีค่าสูงกว่าฟูมซิลิกา (0.91 กรัม/ลูกบาศก์เซนติเมตร) จึงทำให้เมื่อปริมาณของฟูมซิลิกาเพิ่มขึ้น ความหนาแน่นจึงเพิ่มขึ้น เมื่อวิเคราะห์ถึงผลของอันตราริยาระหว่างฟูมซิลิกากับแอมโมเนียมต่อความหนาแน่น พบว่าตัวแปรดังกล่าวมีผลต่อความหนาแน่นเช่นเดียวกัน (พรพรรณ, 2528)

4.1.3 ผลการทดสอบค่าความเป็นกรด - เบส (potential of hydrogen ion, pH)

ตารางที่ 4.7 อิทธิพลและสัมประสิทธิ์ค่าความเป็นกรด-เบส (potential of hydrogen ion, pH)

ของดิสเพอร์สชัน

Term	Effect	Coefficient	Standard Error Coefficient	T	P
Constant	:	10.0742	0.01652	609.81	0.000
X_1	-0.7950	-0.3975	0.01652	-24.06	0.000
X_2	1.1217	0.5608	0.01652	33.95	0.000
$X_1 * X_2$	-0.0017	-0.0008	0.01652	-0.05	0.961

ตารางที่ 4.8 วิเคราะห์ค่าความแปรปรวนของความเป็นกรด-เบส (potential of hydrogen ion, pH)

Source	Degree of freedom	Sequence Sum of Square	Adjust Sum of Square	Adjust Mean of Square	F	P
Main Effects	2	5.67048	5.67048	2.83524	865.72	0.000
X_1	1	1.89608	1.89608	1.89608	578.95	0.000
X_2	1	3.77441	3.77441	3.77441	1152.49	0.000
2-Way Interactions	1	0.00001	0.00001	0.00001	0.00	0.961
$X_1 * X_2$	1	0.00001	0.00001	0.00001	0.00	0.961
Residual Error	8	0.02620	0.02620	0.00328		
Pure Error	8	0.02620	0.02620	0.00327		
Total	11	5.69669				

หมายเหตุ $X_1 = \text{SiO}_2$

$X_2 = \text{NH}_3$

ตารางที่ 4.8 อิทธิพลและสัมประสิทธิ์สำหรับค่าความเป็นกรด (potential of hydrogen ion, pH) ของคิสเพอร์สชัน พบว่าค่าสัมประสิทธิ์จากการวิเคราะห์แบบโค๊ด (code) ได้ในดังตารางที่ 4.8 สามารถเขียนเป็นสมการความสัมพันธ์ระหว่างฟูมซิลิกา กับ แอมโมเนีย ได้ว่า

$$X_1 = -0.3975$$

$$X_2 = 0.5608$$

$$Y = 10.3138$$

แต่เนื่องจากการใช้สมการที่ได้จากข้อมูลแบบโค๊ด (code) จะทำให้เขียนกราฟพื้นที่ผิวตอบสนอง ไม่สอดคล้องกับค่าจริงของตัวแปรดังนั้นจึงทำการวิเคราะห์ด้วยข้อมูลจริงของตัวแปรทำให้ได้ค่าสัมประสิทธิ์ดังตารางที่ 4.10 และสามารถเขียนสมการได้ดังสมการที่ 6

ตารางที่ 4.9 ค่าสัมประสิทธิ์ของปริมาณของความเป็นกรด-เบส (potential of hydrogen ion, pH)

Term	Coefficient
Constant	10.3138
X_1	-0.0528642
X_2	-0.125062
$X_1 * X_2$	-2.46914E-05

หมายเหตุ X_1 = พุ่มชิลิกา

X₁ = แอน ไมเนีย

$$Y = 10.3138 - 0.0528642*X_1 + 0.125062*X_2 - 2.46914E-05*X_1*X_2 \dots \dots \dots (6)$$

$$X_1 = -0.0528642$$

$$X_2 = 0.125062$$

$$Y = 10.3138$$

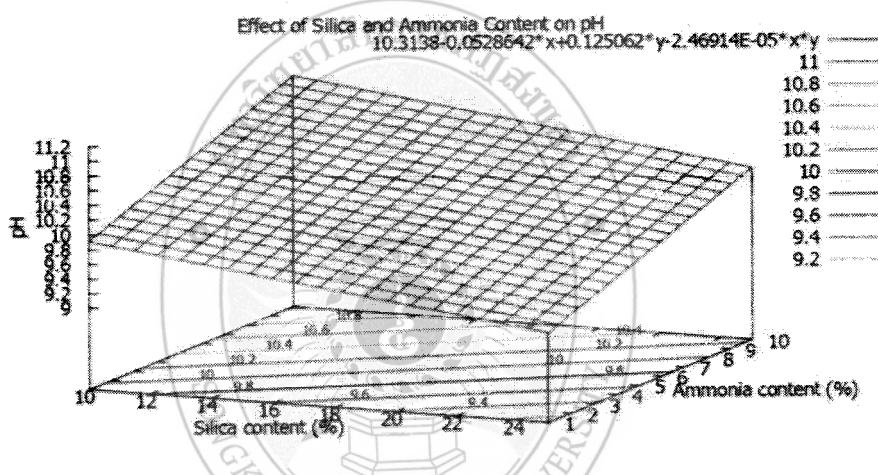
ซึ่งจากการวิเคราะห์พบว่าค่า R-Square มีค่า 99.54 % และ R-Square (adjust) มีค่า 99.37 % แสดงถึงสมการดังกล่าวสามารถนำไปทำนายผลได้แม่นยำ

จากค่า p-Value ในตารางที่ 4.9 พบว่าค่า p-Value ของฟูมซิลิกา กับ แอมโมเนียม มีค่าเท่ากับ 0.961 แสดงให้เห็นว่าตัวแปรหัวส่องคือฟูมซิลิกา กับ แอมโมเนียม ตลอดจนอันตรกิริยา

ระหว่างตัวแปรทั้งสองมีผลต่อค่าความเป็นกรด-เบส (potential of hydrogen ion, pH) อย่างมีนัยสำคัญ

$$Y = 10.3138 - 0.0528642*X_1 + 0.125062*X_2 \dots \dots \dots (7)$$

แต่เนื่องจากการใช้สมการที่วิเคราะห์จากข้อมูลโคล์ด เมื่อนำไปใช้ทำงานจริงมีความผุ่งยากในการแทนค่าดังนั้นจึงนำข้อมูลจริง (uncode) มาวิเคราะห์หาสัมประสิทธิ์ใหม่ ได้ดังสมการที่ (7) และสามารถเขียนกราฟพื้นผิวตอบสนองดังรูปที่ 4.3



รูปที่ 4.3 ความสัมพันธ์ระหว่างปริมาณฟูมซิลิกา (%) กับแอมโมเนีย (%) ที่มีต่อค่าความเป็นกรด-เบสของดีสเพอร์เซชันฟูมซิลิกา

จากรูปที่ 4.3 พบว่าเมื่อปริมาณของฟูมซิลิกาเพิ่มขึ้นส่งผลให้ค่าความเป็นกรด-เบสลดลงเพียงเล็กน้อย เนื่องจากขนาดของซิลิกามีขนาดเล็ก มีพื้นที่ผิวมาก ผิวของซิลิกาเป็นสารอนินทรีย์ที่มี pH เป็นกรด (พรพรรณ, 2528) ทำให้ดิสเพอร์สชันของซิลิกามีค่า pH ต่ำลงและเมื่อปริมาณของแอมโนเนียมเพิ่มขึ้น ส่งผลให้ค่าความเป็นกรด-เบสเพิ่มขึ้น เนื่องจากแอมโนเนียมมีสมบัติเป็นเบส เมื่อปริมาณมากขึ้น จึงทำให้ค่า pH สูงขึ้น การเป็นกรดของดิสเพอร์สชันฟูมซิลิกาลดลง (Dove and Rimstidt, 1994)

4.1.4 ผลการทดสอบค่าความหนืด (viscosity)

ตารางที่ 4.10 อิทธิพลและสัมประสิทธิ์ค่าความหนืด (Viscosity) ของดีสเพอร์สชัน

Term	Effect	Coefficient	Standard Error Coefficient	T	P
Constant	-	445.2	8.541	52.12	0.000
X ₁	-111.0	-55.5	8.541	-6.50	0.000
X ₂	480.3	240.2	8.541	28.12	0.000
X ₁ *X ₂	-220.3	-110.2	8.541	-12.90	0.000

หมายเหตุ X_1 = พุ่มซิลิกา

X_2 = แรม โนมเนีย

ตารางที่ 4.11 วิเคราะห์ค่าความแปรปรวนของความหนืด (Viscosity)

Source	Degree of freedom	Sequence	Adjust	Adjust	F	P
		Sum of Square	Sum of Square	Mean of Square		
Main Effects	2	729129	729129	364565	416.43	0.000
X ₁	1	36964	36964	36964	42.22	0.000
X ₂	1	692165	692165	692165	790.63	0.000
2-Way Interactions	1	145638	145638	145638	166.36	0.000
X ₁ *X ₂	1	145638	145638	145638	166.36	0.961
Residual Error	8	7004	7004	875		
Pure Error	8	7004	7004	875		
Total	11	881771				

หมายเหตุ X. = พมชิกิรา

X₁ = แรมโนเนีย

ตารางที่ 4.11 อิทธิพลและสัมประสิทธิ์สำหรับค่าความหนืด (Viscosity) ของดิสเพอร์สัน
พบว่าค่าสัมประสิทธิ์จากการวิเคราะห์แบบโอดีค (code) ได้ในดังตารางที่ 4.11 สามารถเขียน
เป็นสมการความสัมพันธ์ระหว่างฟูมซิลิกา กับ แอมโมเนีย ได้ว่า

$$X_1 = 55.5$$

$$X_2 = 240.2$$

$$Y = 445.2$$

แต่เนื่องจากการใช้สมการที่ได้จากข้อมูลแบบโค๊ด (code) จะทำให้เขียนกราฟพื้นที่ผิวตอบสนอง ไม่สอดคล้องกับค่าจริงของตัวแปรดังนั้นจึงทำการวิเคราะห์ด้วยข้อมูลจริงของตัวแปรทำให้ได้ค่าสัมประสิทธิ์ดังตารางที่ 4.13 และสามารถเขียนสมการได้ดังสมการที่ 9

ตารางที่ 4.12 ค่าสัมประสิทธิ์ของความหนืด (Viscosity)

Term	Coefficient
Constant	-33.0469
X_1	110.494
X_2	10.5528
$X_1 * X_2$	-3.26417

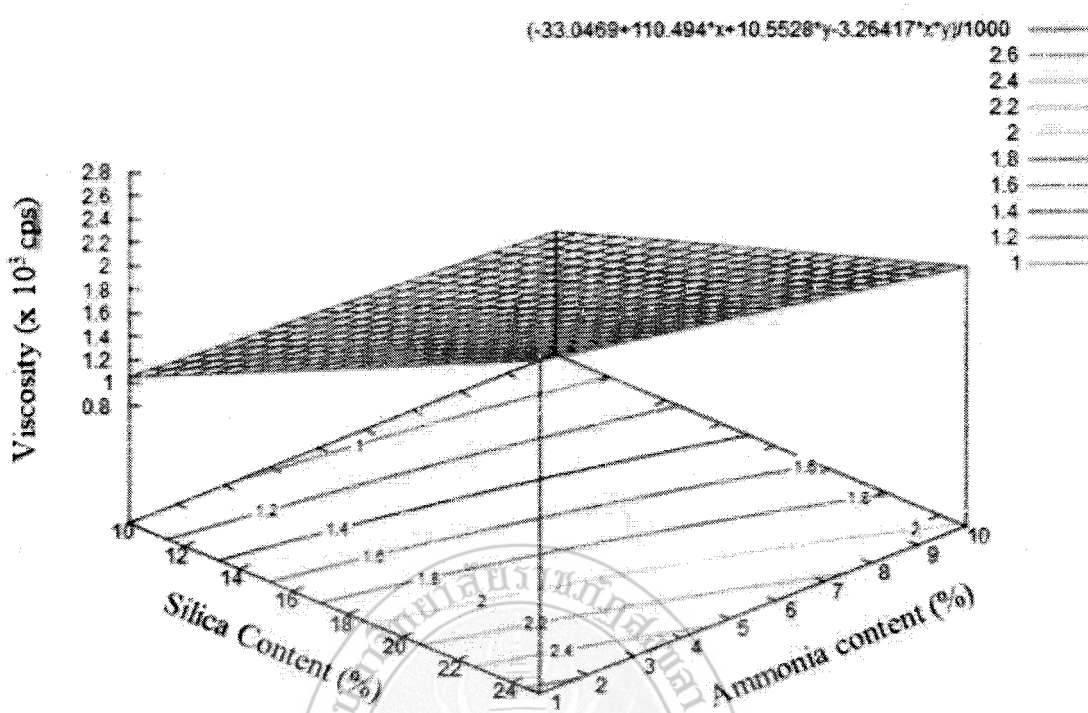
หมายเหตุ X_1 = พุ่มชิลิกา

X₁ = แอนโมนีย

ซึ่งจากการวิเคราะห์พบว่า ค่า R-Square มีค่า 99.21 % และ R-Square (adjust) มีค่า 98.91 % แสดงถึงสมการดังกล่าวสามารถนำไปทำนายผลได้แม่นยำ

จากค่า p-Value ในตารางที่ 4.12 พบว่า ค่า p-Value ของฟูมซิลิกา กับ โมเนีย มีค่าเท่ากัน 0.961 แสดงให้เห็นว่าตัวแปรทั้งสองคือฟูมซิลิกากับ โมเนีย ตลอดงานอันตรรศิริยะระหว่างตัวแปรทั้งสองมีผลต่อค่าความหนืด (Viscosity) อย่างมีนัยสำคัญ

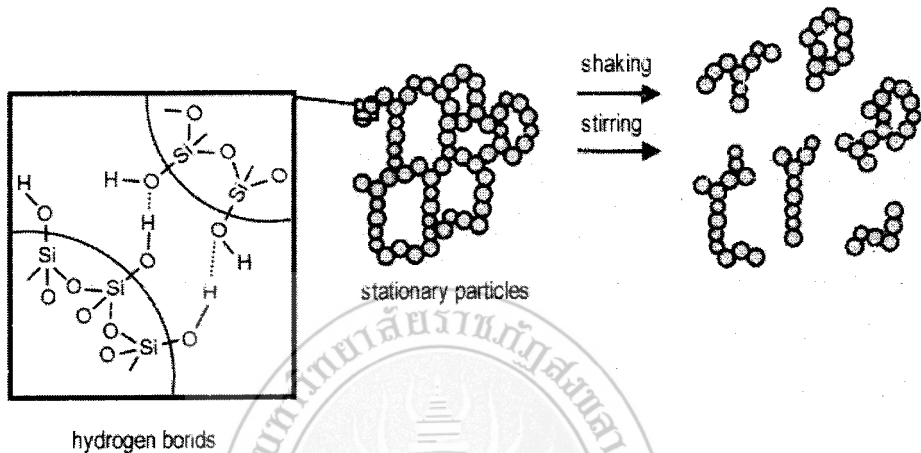
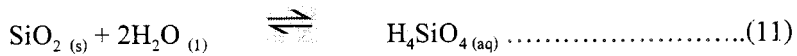
แต่เนื่องจาก การใช้สมการที่วิเคราะห์จากข้อมูลโค๊ด เมื่อนำไปใช้ทำนายจริง มีความยุ่งยาก
ในการแทนค่าดังนั้นจึงนำข้อมูลจริง (uncode) มาวิเคราะห์หาสัมประสิทธิ์ใหม่ได้ดังสมการที่ (10)
และสามารถเขียนกราฟพื้นผิวตอบสนองดังรูปที่ 4.4



รูปที่ 4.4 ความสัมพันธ์ระหว่างปริมาณฟูมซิลิกา (%) กับแอมโมเนีย (%) ที่มีต่อความหนืดของดิสเพอร์สชันฟูมซิลิกา

จากรูปที่ 4.4 พบว่าเมื่อปริมาณของฟูมซิลิกาเพิ่มขึ้นส่งผลค่าความหนืดเพิ่มขึ้น เนื่องจากฟูมซิลิกามีอนุภาคขนาดเล็ก (พรพรรณ, 2528) มีน้ำอุ่นร้อนอนุภาคเป็นจำนวนมาก น้ำดังกล่าวเกิดจากพันธะไฮโดรเจนแทรกระหว่างอนุภาคของฟูมซิลิกาดังรูปที่ 4.5 ดังนั้นมีใช้ฟูมซิลิกาปริมาณเพิ่มขึ้นน้ำจะถูกผิวของซิลิกาดูดซับไว ทำให้ดิสเพอร์สชันมีค่าความหนืดสูงขึ้นตามปริมาณของซิลิกาที่เพิ่มขึ้น และเมื่อใช้ซิลิกาในรูปดิสเพอร์สชันมากเกินไป พบว่า ความหนืดสูงมากจนทำให้ไม่สามารถลดความหนืดได้ อาจขึ้นจากปฏิกิริยาการละลาย (dissolution) ระหว่างฟูมซิลิกากับน้ำ

ดังสมการที่ 11 เกิดเป็น Orthosilicic acid (H_4SiO_4) ซึ่งมีฤทธิ์เป็นกรด (Dove and Rimstidt, 1994) ทำให้ความเสียรของอนุภาคคลอกอยู่ในดิสเพอร์สชันฟูมซิลิกาลดลง ส่งผลให้ความหนืดของดิสเพอร์สชันเพิ่มขึ้นอย่างรวดเร็ว สำหรับผลของแอมโมเนีย พบว่าเมื่อปริมาณแอมโมเนียเพิ่มขึ้น ความหนืดของดิสเพอร์สชันฟูมซิลิกาลดลง อาจเป็นเพราะแอมโมเนียมมีฤทธิ์เป็นเบส ทำให้ลดการเกิด orthosilicic acid (H_4SiO_4) ลดลง ส่งผลให้ความหนืดของดิสเพอร์สชันซิลิกาลดลง



รูปที่ 4.5 การปรับสภาพผิวของฟู่มซิลิกา

(ที่มา: <http://www.chemiedidaktik.uni-wuppertal.de>)

4.2 ผลของสารคุกคามไอลน และอุณหภูมิในการเตรียม Si69-t-SiO₂ ที่มีต่อสมบัติของ Si69-t-SiO₂ ดิสเพอร์สชันการขึ้นรูป และสมบัติของโพลีเมอร์ธรรมชาติ

การศึกษาการเตรียมฟูมซิลิกาที่ปรับสภาพผิวด้วยสารคุ้มคราม Si69 (ตามสูตรในตารางที่ 3.2) เพื่อศึกษาปริมาณการใช้สารคุ้มคราม Si69 และอุณหภูมิในการทำปฏิกิริยาของ Si69 จากนั้นนำมาเปรียบเทียบผลที่ได้เพื่อหาสภาวะที่เหมาะสมสำหรับการตีฟอยล์ ดังต่อไปนี้

4.2.1 ผลการทดสอบความเป็นกรด-เบส ของ Si69-t-SiO₂ คิสเพอร์รัลชัน

ศึกษาอิทธิพลของปริมาณสารคูคิวท์ไซเลน Si69 และอุณหภูมิในการทำปฏิกิริยาของ Si69-t-SiO₂ ที่มีต่อสมบัติของค่า pH ของ Si69-t-SiO₂ และวิเคราะห์ด้วยเทคนิค RSM ได้ผลดังตารางที่ 4.14

ตารางที่ 4.14 ค่าสัมประสิทธิ์ความผิดพลาดมาตรฐานค่า t และค่า p ของสมการพื้นผิวตอบสนองของค่า pH

Source	Estimate	Standard Error	t value	P value
Intercept	9.37199	0.03245	288.9	1.157×10^{-15}
X	0.06704	0.02565	2.613	0.03474
Y	-0.09502	0.02565	-3.704	0.00761
x^2	0.08277	0.02751	3.008	0.01971
y^2	0.05526	0.02751	2.009	0.08454
XY	0.0625	0.03628	1.723	0.12857

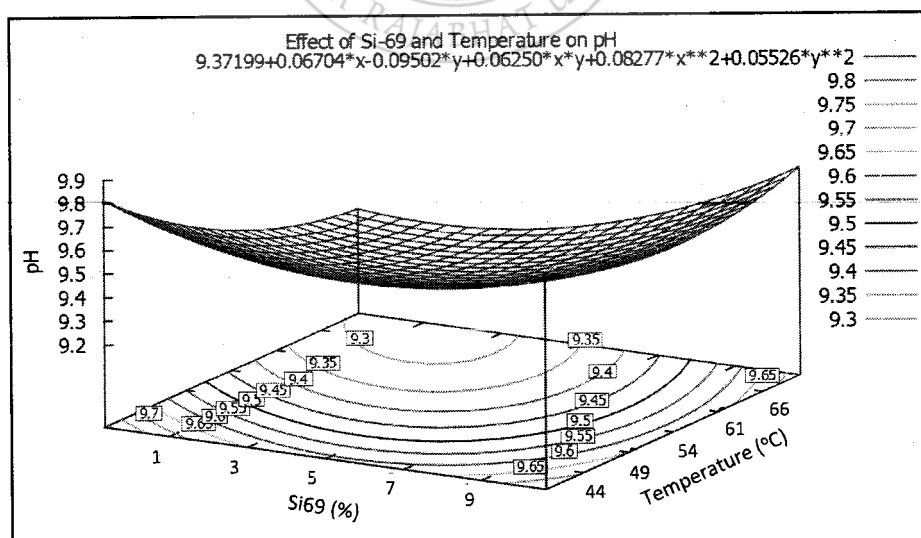
หมายเหตุ : x คือ Si69

Y คือ Temperature

จากตารางที่ 4.1 ข้อมูลการวิเคราะห์ค่าสัมประสิทธิ์ค่าความเป็นกรด-เบส (pH) ของ Si69-t-SiO₂ เป็นสมการได้ดังสมการที่ (4.1)

$$pH = 9.37199 + 0.06704x + 0.09502y + 0.0625xy + 0.08277x^2 + 0.05526y^2 \quad (4.1)$$

จากสมการข้างต้นได้สามารถนำมาวิเคราะห์ค่าความเป็นกรด-เบส ของ Si69-t-SiO₂ โดยการใช้กราฟพื้นผิวตอบสนองแบบสามมิติได้ดังต่อไปนี้



รูปที่ 4.6 อิทธิพลของปริมาณ Si69 และอุณหภูมิในการทำปฏิกิริยาที่มีผลต่อ pH ของ Si69-t-SiO₂ ดิสเพอร์สชัน

จากรูปที่ 4.14 พบว่าเมื่อปริมาณของสารคู่ควบไชเลน Si69 มีผลต่อค่า pH น้อย เนื่องจาก เมื่อมีปริมาณของ Si69-t-SiO₂ ลดลงเพียงเล็กน้อย เนื่องจากคิวของฟูมซิลิกาเป็นสารอนินทรีย์ที่มี pH เป็นกรด (พรพรรณ, 2528) ทำให้ Si69-t-SiO₂ ดิสเพอร์สชันมีค่า pH ต่ำลง และเมื่อใช้อุณหภูมิในการทำปฏิกิริยาสูงขึ้น ความร้อนทำให้ค่า pH ต่ำลง เนื่องจากหมู่ไชланอลทำให้ผิวฟูมซิลิกามีความเป็นกรด และมีความว่องไวต่อปฏิกิริยา เมื่ออุณหภูมิสูงขึ้น และมีการปลดปล่อย NH₃ ที่มีความเป็นเบสออกมา (เชาวน์, 2553) ทำให้ปริมาณของหมู่ไชланอลบนผิวฟูมซิลิกาน้อยลงค่า pH ของ Si69-t-SiO₂ ดิสเพอร์สชันจึงลดต่ำลง เพราะ Si69-t-SiO₂ ที่เพิ่มขึ้นเกิดพันธะไฮโดรเจนกับแอมโมเนีย ไวทำให้แอมโมเนียมเนยไม่ให้ระเหยออกไปได้ง่าย แต่มีอุณหภูมิที่สูงขึ้น ส่งผลให้พันธะไฮโดรเจนระหว่างซิลิกาและแอมโมเนียนี่ระเหยออกไป เมื่อพิจารณาจากค่า p-value ในตารางที่ 4.14 พบว่าสอดคล้องกันนั้น คือ ปริมาณสารคู่ควบไชเลน Si69 มีค่า p-value เช้าใกล้ 0 และ p-value ของสารคู่ควบไชเลน Si69 มากกว่าเล็กน้อย ในการเกิดอันตรักษิราะหว่างสารคู่ควบไชเลน Si69 และอุณหภูมิในการทำปฏิกิริยาพบว่ามีค่า p-value เช้าใกล้ 0 ไม่มากแต่เชื่อให้เห็นว่ามีผลต่อค่า pH ซึ่งสอดคล้องกับกราฟพื้นผิวตอบสนองในรูปที่ 4.1 ที่ค่า pH จะต่ำที่สุดเมื่อปริมาณของสารคู่ควบไชเลน Si69 ต่ำสุด และอุณหภูมิในการทำปฏิกิริยาเพิ่มขึ้นถึงจุดสูงสุด

4.2.2 ผลการทดสอบความหนึ่ดของ Si69-t-SiO₂ ดิสเพอร์สชัน

ศึกษาอิทธิพลของปริมาณสารคู่ควบไชเลน Si69 และอุณหภูมิในการทำปฏิกิริยาของ Si69-t-SiO₂ ที่มีต่อสมบัติของค่าความหนืดของ Si69-t-SiO₂ และวิเคราะห์ด้วยเทคนิค RSM ได้ผลดังตารางที่ 4.15

ตารางที่ 4.14 ค่าสัมประสิทธิ์ความผิดพลาดมาตรฐานค่า t และค่า p ของสมการพื้นผิวตอบสนองของค่าความหนืด

Source	Estimate	Standard Error	t-value	p-value
Intercept	2192.05	214.51	10.22	1.85 x 10 ⁻⁵
X	50.36	169.6	0.297	0.7751
Y	170.72	169.6	1.007	0.3476
x ²	202.68	181.9	1.114	0.302
y ²	-622.07	181.9	-3.42	0.0111
Xy	370	239.83	239.8	0.1668

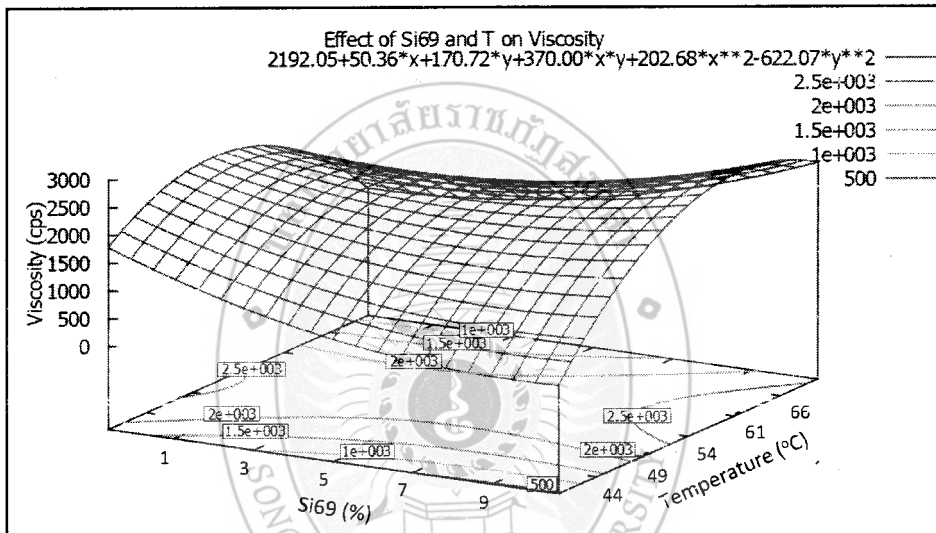
หมายเหตุ : x คือ Si69

Y คือ Temperature

จากตารางที่ 4.1 ข้อมูลการวิเคราะห์ค่าสัมประสิทธิ์ค่าความหนืดของ Si69-t-SiO₂ เป็นสมการได้ดังสมการที่ (4.2)

$$\text{viscosity} = 2192.05 + 50.36x + 170.72y + 370xy + 202.68x^2 - 622.07y^2 \quad (4.2)$$

จากสมการข้างต้นได้สามารถนำวิเคราะห์ค่าความหนืดของ Si69-t-SiO₂ โดยการใช้กราฟพื้นผิวตอบสนองแบบสามมิติได้ดังต่อไปนี้



รูปที่ 4.7 อิฐธิผลของปริมาณ Si69 และอุณหภูมิในการทำปฏิกิริยาที่มีผลต่อค่าความหนืดของ Si69-t-SiO₂ ดิสเพอร์สชัน

จากรูปที่ 4.7 พบว่าเมื่อเพิ่มปริมาณสารคู่ไฮเดน Si69 มากขึ้นส่งผลทำให้ค่าความหนืดของ Si69-t-SiO₂ ดิสเพอร์สชันลดลง เนื่องจากสารคู่ควบคู่ไฮเดนที่เติมเข้าไปในดิสเพอร์สชันฟูมซิลิกา จะลดอันตรายกิริยาระหว่างอนุภาคของซิลิกาด้วยกันเอง และการกระจายตัวของอนุภาคซิลิกาที่ดี (Kapgate & Das, 2014; เชawan, 2553) ในขณะเดียวกันหากเพิ่มอุณหภูมิในการทำปฏิกิริยาให้สูงขึ้น ส่งผลทำให้ค่าความหนืดของ Si69-t-SiO₂ ดิสเพอร์สชันมีค่าสูงขึ้น เนื่องจากความร้อนที่สูงขึ้น หมุ่ไชลานออบนพิวซิลิกาทำปฏิกิริยาได้ดีกับสารคู่ควบคู่ไฮเดน (เชawan, 2553) และของเหลวที่ผสมอยู่ ในดิสเพอร์สชันฟูมซิลิกาอย่างเช่น น้ำ และแอมโมเนียม ระหว่างออกไบปางส่วน จึงมีปริมาณของส่วนที่เป็นฟูมซิลิกามากขึ้น ปริมาณของเหลวลดลง ทำให้ออนุภาคของฟูมซิลิกาที่กระจายตัวอยู่ใน Si69-t-SiO₂ ดิสเพอร์สชันมีความหนาแน่นมากขึ้น Si69-t-SiO₂ ดิสเพอร์สชันสูญเสียความเสถียรของสภาวะการเป็นคอลลอยด์ จึงทำให้มีความหนืดสูงมากขึ้น ดังนั้นมีอัตราพิจารณาค่า p-value จาก

ตารางที่ 4.2 พบว่าค่า p-value ของอุณหภูมิเข้าใกล้เข้า去找 0 มากกว่า p-value ของสารคุ่คิวบ์ไซเลน Si69 นั้นแสดงให้เห็นว่าอุณหภูมิมีผลมากกว่าปริมาณสารคุ่คิวบ์ไซเลน Si69 ซึ่งสอดคล้องกับกราฟพื้นผิวตอบสนองในรูปที่ 4.2 มีค่าความหนืดสูงสุดเมื่ออุณหภูมิในการทำปฏิกิริยาอยู่ที่ประมาณ 49-61 °C และปริมาณของสารคุ่คิวบ์ไซเลน Si69 ประมาณ 1-9% ของฟูมซิลิกา

4.2.3 ผลการทดสอบค่าความด้านทานต่อแรงกดของโฟมยางที่ใช้ Si69-t-SiO₂ ดิสเพอร์สชันเป็นสารตัวเติม

ศึกษาอิทธิพลของปริมาณสารคุ่คิวบ์ไซเลน Si69 และอุณหภูมิในการทำปฏิกิริยาของ Si69-t-SiO₂ ดิสเพอร์สชันที่มีต่อสมบัติของค่าความด้านทานต่อแรงกดของโฟมยางที่ใช้ Si69-t-SiO₂ ดิสเพอร์สชันเป็นสารตัวเติม และวิเคราะห์ด้วยเทคนิค RSM ได้ผลดังตารางที่ 4.16

ตารางที่ 4.15 ค่าสัมประสิทธิ์ความผิดพลาดมาตรฐานค่า t และค่า p ของสมการพื้นผิวตอบสนองของค่าความด้านทานต่อแรงกดของโฟมยาง

Source	Estimate	Standard Error	t-value	p-value
Intercept	56.491	4.497	12.651	0.00000468
X	2.401	3.556	0.675	0.521
Y	-1.04	3.556	-0.293	0.778
x ²	-5.309	3.814	-1.392	0.206
y ²	6.222	3.814	1.631	0.147
Xy	7.167	5.028	-1.425	0.197

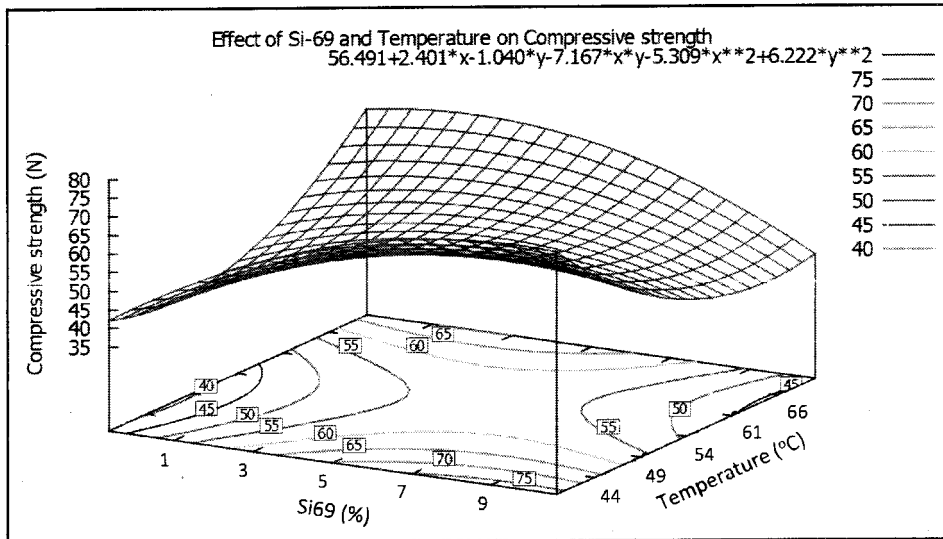
หมายเหตุ : x คือ Si69

Y คือ Temperature

จากตารางที่ 4.16 ข้อมูลการวิเคราะห์ค่าสัมประสิทธิ์ค่าความด้านทานต่อแรงกดของโฟมยางที่ใช้ Si69-t-SiO₂ ดิสเพอร์สชันเป็นสารตัวเติม เป็นสมการได้ดังสมการที่ (4.3)

$$\text{compressive strength} = 56.491 + 2.401x - 1.040y + 7.167xy - 5309x^2 + 7.167y^2 \quad (4.3)$$

จากสมการข้างต้นได้สามารถนำมารวิเคราะห์ค่าความด้านทานต่อแรงกดของโฟมยางที่ใช้ Si69-t-SiO₂ ดิสเพอร์สชันเป็นสารตัวเติม โดยการใช้กราฟพื้นผิวตอบสนองแบบสามมิติได้ดังต่อไปนี้



รูปที่ 4.8 อิทธิพลของปริมาณ Si69 และอุณหภูมิในการทำปฏิกิริยาที่มีผลต่อค่าความด้านทาน ต่อ แรงกดของโฟมยางที่ใช้ Si69-t-SiO₂ ดิสเพอร์สชันเป็นสารตัวเติม

จากรูปที่ 4.8 พบว่าเมื่อเพิ่มปริมาณสารคู่คบว ใช้เลน Si69 มากขึ้นส่งผลทำให้ค่าความด้านทานต่อแรงกดมีค่าสูงขึ้นเพราสารคู่คบว ใช้เลนเป็นตัวกลางที่ช่วยประสานระหว่างยางกับฟูมซิลิกาทำให้อันตรกิริยาระหว่างยางกับฟูมซิลิกาสูงขึ้น ประสิทธิภาพในการเสริมแรงของฟูมซิลิกาจึงสูงขึ้นด้วย และกระจายอยู่ในโฟมยางได้ดี (Sae-Oui et al., 2004) จึงรับแรงกดได้มากขึ้น ในขณะเดียวกันเมื่อใช้อุณหภูมิในการทำปฏิกิริยาสูงขึ้น ส่งผลให้โฟมยางมีความนิ่มขึ้น มีความด้านทานต่อแรงกดน้อยลง เนื่องจากหมู่ไซลานอลูบันพื้นผิวของซิลิกามีความว่องไวต่อปฏิกิริยา เมื่ออุณหภูมิสูงขึ้น (เขawan, 2553) หมู่ไซลานอลูบันที่ทำปฏิกิริยากับหมู่อัลคลอกซิลิกาด้วยกันของสารคู่คบว ใช้เลน มีการลดปลดล็อกออกฤทธิ์ออกมาดังรูปที่ 2.4 ทำให้อันตรกิริยาระหว่างฟูมซิลิกาตัวอย่างลดลง ส่งผลให้มีเม็ดเติมลง Si69-t-SiO₂ ในโฟมยาง เกิดการกระจายตัวได้ดี และเข้ากันได้ดีขึ้นกับยาง ดังนั้นเมื่อพิจารณาตัวแปรอุณหภูมิและปริมาณสารคู่คบว ใช้เลนจากการฟันผิวตอบสนองในรูปที่ 4.3 พบว่ามีช่วงที่ทำให้ค่าความด้านทานต่อแรงกดของโฟมยางที่ใช้ Si69-t-SiO₂ ดิสเพอร์สชันเป็นสารตัวเติมคือที่เข้มเมื่อใช้อุณหภูมิในการทำปฏิกิริยาที่ 49-66 °C ขึ้นไป และมีปริมาณสารคู่คบว ใช้เลนอยู่ในช่วง 5-8% ของฟูมซิลิกา

4.2.4 ผลการทดสอบการจัดตัวเนื่องจากแรงอัดของโฟมยางที่ใช้ Si69-t-SiO₂ ดิสเพอร์สชัน เป็นสารตัวเติม

ศึกษาอิทธิพลของปริมาณสารคูคูบ ไซเดน Si69 และอุณหภูมิในการทำปฏิกิริยาของ Si69-t-SiO₂ ดิสเพอร์สชันที่มีต่อสมบัติของการจัดตัวเนื่องจากแรงอัดของโฟมยางที่ใช้ Si69-t-SiO₂ ดิสเพอร์สชันเป็นสารตัวเติม และวิเคราะห์ด้วยเทคนิค RSM ได้ผลดังตารางที่ 4.17

ตารางที่ 4.16 ค่าสัมประสิทธิ์ความผิดพลาดมาตรฐานค่า t และค่า p ของสมการพื้นผิวตอบสนอง ของค่าการจัดตัวเนื่องจากแรงอัดของโฟมยาง

Source	Estimate	Standard Error	t-value	p-value
Intercept	41.0892	9.4351	4.355	0.00333
X	15.7408	7.4597	2.11	0.07278
Y	9.4167	7.4597	1.262	0.24725
x ²	0.3404	8.0008	-0.043	0.96725
y ²	5.3263	8.0008	0.666	0.52691
Xy	-17.59	10.5488	-1.667	0.13935

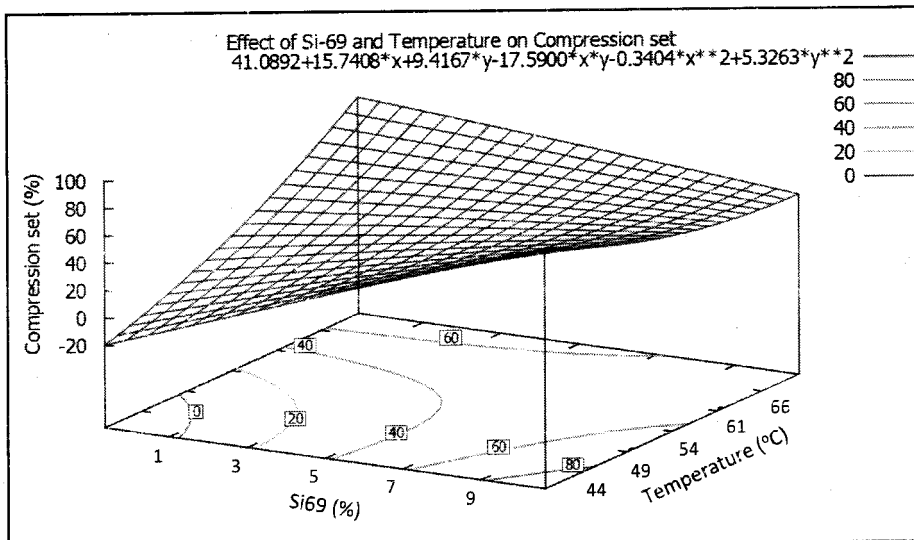
หมายเหตุ : x คือ Si69

Y คือ Temperature

จากตารางที่ 4.17 ข้อมูลการวิเคราะห์ค่าสัมประสิทธิ์ค่าการจัดตัวเนื่องจากแรงอัดของ โฟมยางที่ใช้ Si69-t-SiO₂ ดิสเพอร์สชันเป็นสารตัวเติม เป็นสมการได้ดังสมการที่ (4.4)

$$\text{compersion set} = 41.089 + 15.741x + 9.417y - 17.590xy + 0.340x^2 + 5.326y^2 \quad (4.4)$$

จากสมการข้างต้นได้สามารถนำมาวิเคราะห์ค่าการจัดตัวเนื่องจากแรงอัดของโฟมยางที่ ใช้ Si69-t-SiO₂ ดิสเพอร์สชันเป็นสารตัวเติม โดยการใช้กราฟพื้นผิวตอบสนองแบบสามมิติได้ ดังต่อไปนี้



รูปที่ 4.9 อิทธิพลของปริมาณ Si69 และอุณหภูมิในการทำปฏิกิริยาที่มีผลต่อค่าการจัดตัวเนื่องจากแรงอัดของโฟมยางที่ใช้ Si69-t-SiO₂ ดิสเพอร์สชันเป็นสารตัวเติม

จากรูปที่ 4.9 พบว่าเมื่อเพิ่มปริมาณของสารคู่คบ ไซเลน Si69 มากขึ้นส่งผลให้ค่าการจัดตัวเนื่องจากแรงอัดของโฟมยางที่ใช้ Si69-t-SiO₂ ดิสเพอร์สชันเป็นสารตัวเติมมีค่าที่สูงขึ้น เนื่องจากสารคู่คบ ไซเลนมีกำมะถันเป็นองค์ประกอบ (เชawan, 2553) จึงทำให้โฟมยางที่คงรูปแล้วนำไปอัดที่ อุณหภูมิ 70 °C มีการวัลภาชนะซึ่งพิมพ์ขึ้นทำให้โฟมยางคงรูปในขณะที่โคนอัดอยู่พิมพ์ขึ้นจึงทำให้เกิดการคืนตัวได้น้อยลงเมื่อออยู่ในสภาวะที่ปกติ ในขณะเดียวกันอุณหภูมิในการทำปฏิกิริยาสูงขึ้น ส่งผลให้ ค่าการจัดตัวเนื่องจากแรงอัดของโฟมยางที่ใช้ Si69-t-SiO₂ ดิสเพอร์สชันเป็นสารตัวเติมมีค่าลดลงเพียงเล็กน้อย เนื่องจากอุณหภูมิในการทำปฏิกิริยาสูงขึ้น ปฏิกิริยาเกิดได้เร็วขึ้น ซึ่งจะส่งผลให้ปริมาณของหมูไซเลนลดลง (เชawan, 2553) เมื่อเติมในโฟมยางจึงทำให้โฟมยาง จึงไม่มีการดูดซับสารตัวเร่งเกิดการวัลภาชนะซึ่งต้องได้ออก ดังนั้นเมื่อพิจารณาตัวแปรอุณหภูมิในการทำปฏิกิริยา และปริมาณสารคู่คบ ไซเลน Si69 จากกราฟพื้นผิวตอบสนองในรูปที่ 4.4 พบว่ามีช่วงที่ทำให้ค่าการจัดตัวเนื่องจากแรงอัดของโฟมยางที่ใช้ Si69-t-SiO₂ ดิสเพอร์สชันเป็นสารตัวเติมดีที่สุดเมื่อใช้อุณหภูมิในการทำปฏิกิริยา 61 °C ขึ้นไป และมีปริมาณสารคู่คบ ไซเลน Si69 อยู่ในช่วง 5-7% ของฟูมซิลิกา

4.2.5 ผลการทดสอบความสามารถในการยึดจันขาดของโฟมยางที่ใช้ Si69-t-SiO₂ ดิสเพอร์สชันเป็นสารตัวเติม

ศึกษาอิทธิพลของปริมาณสารคู่ควบคุม Si69 และอุณหภูมิในการทำปฏิกิริยาของ Si69-t-SiO₂ ดิสเพอร์สชันที่มีต่อสมบัติของค่าความสามารถในการยึดจันขาดของโฟมยางที่ใช้ Si69-t-SiO₂ ดิสเพอร์สชันเป็นสารตัวเติม และวิเคราะห์ด้วยเทคนิค RSM ได้ผลคังตารางที่ 4.18

ตารางที่ 4.17 ค่าสัมประสิทธิ์ความผิดพลาดมาตรฐานค่า t และค่า p ของสมการพื้นผิวตอบสนองของค่าความสามารถในการยึดจันขาดของโฟมยาง

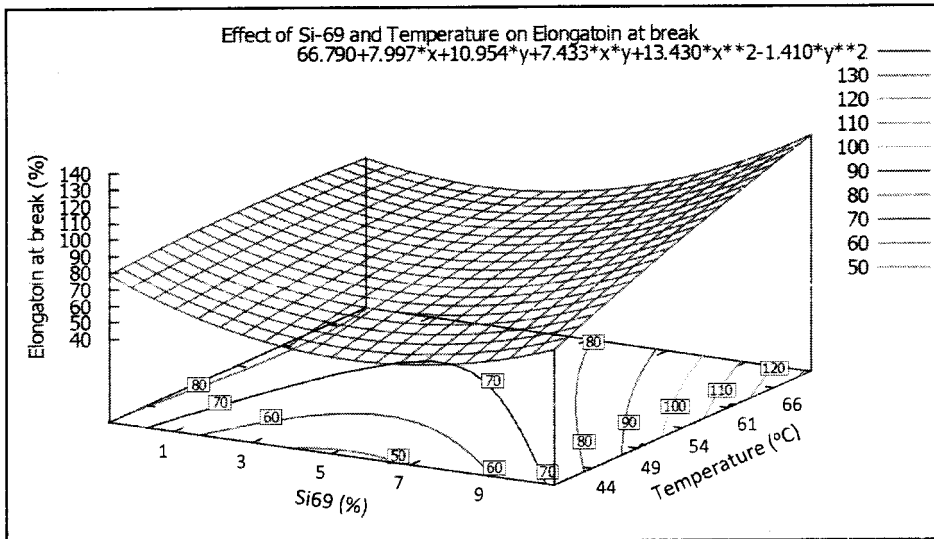
Source	Estimate	Standard Error	t-value	p-value
Intercept	66.79	18.655	3.58	0.00897
X	7.997	14.749	0.58	0.60452
Y	10.954	14.749	0.743	0.48182
x ²	13.43	15.819	0.849	0.42397
y ²	-1.41	15.819	-0.849	0.93148
Xy	7.433	20.857	0.356	0.73207

หมายเหตุ : x คือ Si69 , y คือ Temperature

จากตารางที่ 4.18 ข้อมูลการวิเคราะห์ค่าสัมประสิทธิ์ค่าความสามารถในการยึดจันขาดของโฟมยางที่ใช้ Si69-t-SiO₂ ดิสเพอร์สชันเป็นสารตัวเติม เป็นสมการได้ดังสมการที่ (4.5)

$$\text{elongation at break} = 66.790 + 7.997x - 10.954y + 7.433xy + 13.410x^2 - 1.410y^2 \quad (4.5)$$

จากสมการข้างต้นได้สามารถนำมาวิเคราะห์ค่าความสามารถในการยึดจันขาดของโฟมยางที่ใช้ Si69-t-SiO₂ ดิสเพอร์สชันเป็นสารตัวเติม โดยการใช้กราฟพื้นผิวตอบสนองแบบสามมิติได้ดังค่อไปนี้



รูปที่ 4.10 อิทธิพลของปริมาณ Si69 และอุณหภูมิในการทำปฏิกิริยาที่มีผลต่อค่าความสามารถในการยืดจันภาคของโฟมยางที่ใช้ Si69-t-SiO₂ ดิสเพอร์สชันเป็นสารตัวเติม

จากรูปที่ 4.10 พบว่าเมื่อเพิ่มปริมาณสารคู่ควบ ไซเลน Si69 ส่งผลให้สมบัติด้านความสามารถในการยืดจันภาคของโฟมยางที่ใช้ Si69-t-SiO₂ ดิสเพอร์สชันเป็นสารตัวเติมดีขึ้นเพียงเล็กน้อย เพราะสารคู่ควบ ไซเลนที่ทำหน้าที่เป็นกลางทำให้เกิดอันตรายระหง่านทางก้าฟูมซิลิกา ถูกขึ้น (Kapgate & Das, 2014; เชาวน์, 2553) จึงทำให้โฟมยางยืดออกได้มากขึ้นเมื่อโคนดึง (Julie Chandra, Bipinbal, & Sunil, 2017) แต่เมื่อใช้กับโฟมยางจึงไม่เห็นผลมากนักเนื่องจากเซลล์ของฟองอากาศมีจำนวนมากเมื่อใช้โฟมยางออกจึงทำให้เซลล์ของของอากาศที่บังเกิดการฉีกขาดได้ง่าย ในขณะเดียวกันเมื่อใช้อุณหภูมิในการทำปฏิกิริยาสูงขึ้นทำให้ค่าความสามารถในการยืดจันภาคของโฟมยางที่ใช้ Si69-t-SiO₂ ดิสเพอร์สชันเป็นสารตัวเติมสูงขึ้นด้วย เพราะอุณหภูมิยิ่งสูงขึ้น ปฏิกิริยาเกิดได้เร็วขึ้นปริมาณของหมู่ ไซเลนลดลงพื้นผิวของฟูมซิลิกามีปริมาณลดลง (เสาวน์, 2553) เมื่อเติมในโฟมยางจึงทำให้โฟมยาง จึงไม่มีการดูดซับสารตัวเร่งเกิดการรักษาไนซ์ได้ดี สามารถเสริมแรงทำให้โครงสร้างของโฟมยางดีขึ้น จึงทนต่อการฉีกขาดได้ดีขึ้น เมื่อพิจารณาตัวแปรอุณหภูมิในการทำปฏิกิริยา และปริมาณสารคู่ควบ ไซเลน Si69 จากกราฟพื้นผิวตอนบนในรูปที่ 4.10 ความสามารถในการยืดจันภาคดีที่สุด เมื่อใช้อุณหภูมิในการทำปฏิกิริยาสูงกว่า 61 °C ขึ้นไป และปริมาณของสารคู่ควบ ไซเลนสูงขึ้น

4.2.6 ผลการทดสอบค่าความต้านทานต่อแรงดึงของโฟมยางที่ใช้ Si69-t-SiO₂ ดิสเพอร์สชัน เป็นสารตัวเติม

ศึกษาอิทธิพลของปริมาณสารคุณภาพไซเลน Si69 และอุณหภูมิในการทำปฏิกิริยาของ Si69-t-SiO₂ ดิสเพอร์สชันที่มีต่อสมบัติของค่าความต้านทานต่อแรงดึงของโฟมยางที่ใช้ Si69-t-SiO₂ ดิสเพอร์สชันเป็นสารตัวเติม และวิเคราะห์ด้วยเทคนิค RSM ได้ผลดังตารางที่ 4.19

ตารางที่ 4.18 ค่าสัมประสิทธิ์ความผิดพลาดมาตรฐานค่า t และค่า p ของสมการพื้นผิวตอบสนอง ของค่าความต้านทานต่อแรงดึงของโฟมยาง

Source	Estimate	Standard Error	t-value	p-value
Intercept	0.120005	0.018929	6.34	0.000389
X	0.002413	0.014966	0.161	0.876468
Y	0.006251	0.014966	0.418	0.688688
x ²	0.00225	0.016051	0.156	0.880729
y ²	-0.015008	0.016051	-0.935	0.380918
Xy	0.0075	0.021163	0.354	0.733479

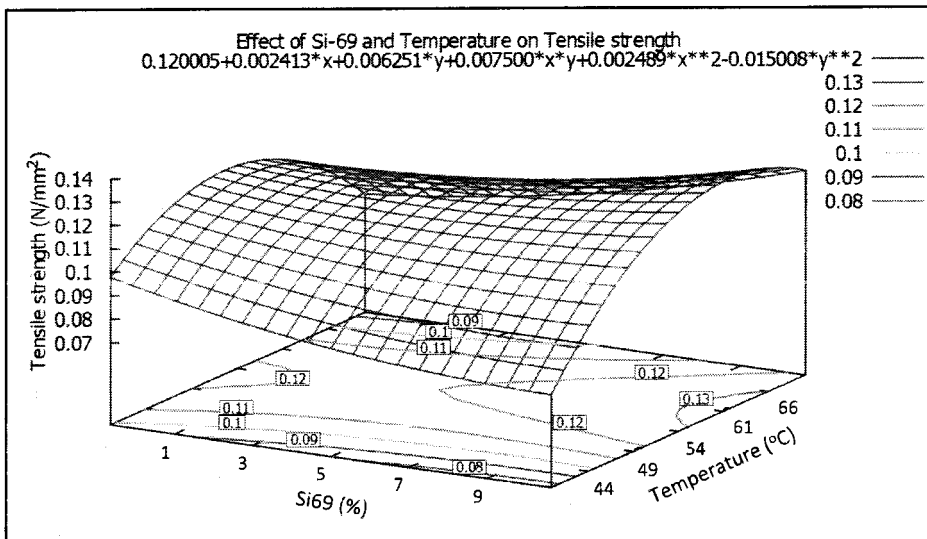
หมายเหตุ : x คือ Si69

Y คือ Temperature

จากตารางที่ 4.6 ข้อมูลการวิเคราะห์ค่าสัมประสิทธิ์ค่าความต้านทานต่อแรงดึงของ โฟมยางที่ใช้ Si69-t-SiO₂ ดิสเพอร์สชันเป็นสารตัวเติม เป็นสมการได้ดังสมการที่ (4.6)

$$\text{tensile strength} = 0.1200 + 0.0024x + 0.0063y + 0.0075xy + 0.0023x^2 - 0.0150y^2 \quad (4.6)$$

จากสมการข้างต้นได้สามารถนำมารวิเคราะห์ค่าความต้านทานต่อแรงดึงของโฟมยางที่ใช้ Si69-t-SiO₂ ดิสเพอร์สชันเป็นสารตัวเติม โดยการใช้กราฟพื้นผิวตอบสนองแบบสามมิติได้ดังต่อไปนี้



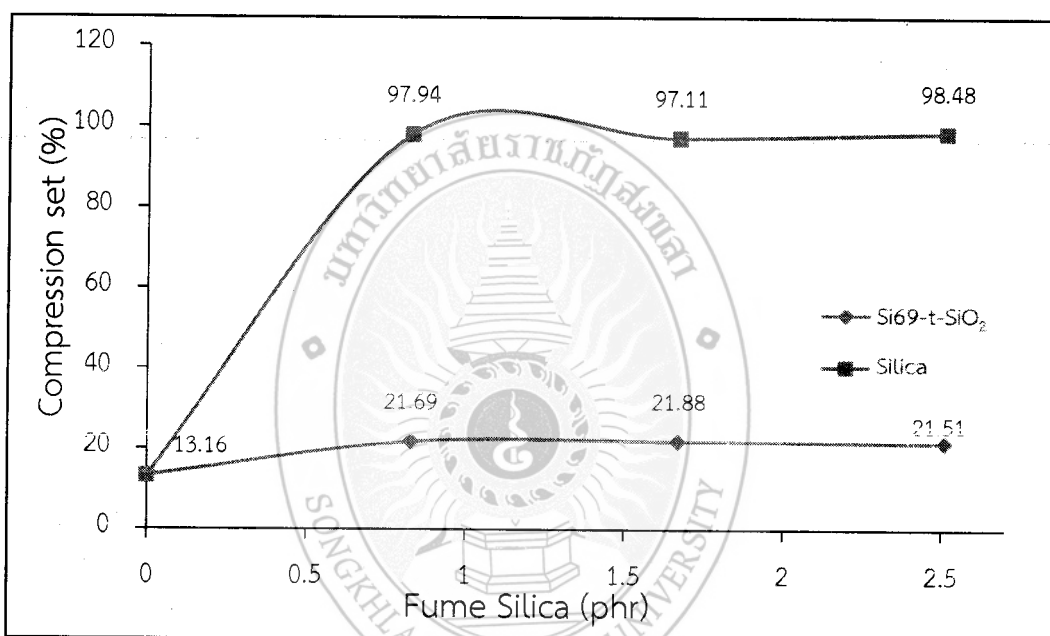
รูปที่ 4.11 อิทธิพลของปริมาณ Si69 และอุณหภูมิในการทำปฏิกิริยาที่มีผลต่อค่าความต้านทานต่อแรงดึงของโฟมยางที่ใช้ Si69-t-SiO₂ ดิสเพอร์สชันเป็นสารตัวเติม

จากรูปที่ 4.11 พบว่าเมื่อเพิ่มปริมาณสารคู่ควบไชเคน Si69 ส่งผลให้สมบัติด้านความต้านทานต่อแรงดึงของโฟมยางที่ใช้ Si69-t-SiO₂ ดิสเพอร์สชันเป็นสารตัวเติมลดลง เพราะสารคู่ควบไชเคนที่ทำหน้าที่เป็นกลางทำให้เกิดอันตรกิริยาระหว่างยางกับฟูมซิลิกาสูงขึ้นจึงทำให้โฟมยางยืดออกได้มากขึ้นเมื่อโดนดึง (Julie Chandra et al., 2017) แต่เมื่อใช้กับโฟมยางจึงส่งผลให้เซลล์ของฟองอากาศมีจำนวนมาก และมีความบางมาก เมื่อยืดโฟมยางออกจึงทำให้เซลล์ของอากาศที่บังเกิดการฉีกขาด ได้ง่าย ในขณะเดียวกันเมื่อใช้อุณหภูมิในการทำปฏิกิริยาสูงขึ้นทำให้ค่าของความต้านทานต่อแรงดึงของโฟมยางที่ใช้ Si69-t-SiO₂ ดิสเพอร์สชันเป็นสารตัวเติมสูงขึ้นด้วย เพราะอุณหภูมิยิ่งสูงขึ้น ปฏิกิริยาเกิดได้เร็วขึ้นปริมาณของหมูไช dane ลดลงพื้นผิวของฟูมซิลิกามีปริมาณลดลง เมื่อเติมในโฟมยางจึงทำให้โฟมยาง จึงไม่มีการดูดซับสารตัวเร่งเกิดการรัลคานาซีได้สามารถเสริมแรงทำให้โครงสร้างของโฟมยางดีขึ้น จึงมีความทานทานต่อแรงดึงสูงขึ้นเช่นเดียวกับรูปที่ 4.11 เมื่อพิจารณาตัวแปรอุณหภูมิและปริมาณสารคู่ควบไชเคนจากกราฟพื้นผิวตอบสนองในรูปที่ 4.12 ความสามารถในการยึดจันหาดสูงขึ้นเมื่อใช้อุณหภูมิในการทำปฏิกิริยาอยู่ในช่วง 49-61 °C และปริมาณของสารคู่ควบไชเคนอยู่ในช่วง 3-5% ของฟูมซิลิกา

4.3 ผลการศึกษาและเปรียบเทียบของปริมาณ SiO_2 กับ Si69-t-SiO_2 ที่มีต่อสมบัติของโพฟยางธรรมชาติ

4.3.1 อิทธิพลของปริมาณฟูมซิลิกาที่มีผลต่อสมบัติด้านการยุบตัวของโพฟยาง

ทำการศึกษาผลของโพฟยางในการแปรปริมาณฟูมซิลิกาที่ปริมาณต่างๆ โดยนำไปทดสอบการยุบตัวเนื่องจากแรงอัดของโพฟยาง เพื่อหาค่าการยุบตัวของโพฟยาง โดยใช้เครื่องการยุบตัวภาวนีองจากแรงอัด และทดสอบตามมาตรฐาน ASTM D395



รูปที่ 4.12 อิทธิพลของปริมาณฟูมซิลิกาต่อการจัดตัวเนื่องจากแรงอัดของโพฟยางที่แปรปริมาณ Si69-t-SiO_2 0, 0.83, 1.67 และ 2.51 phr

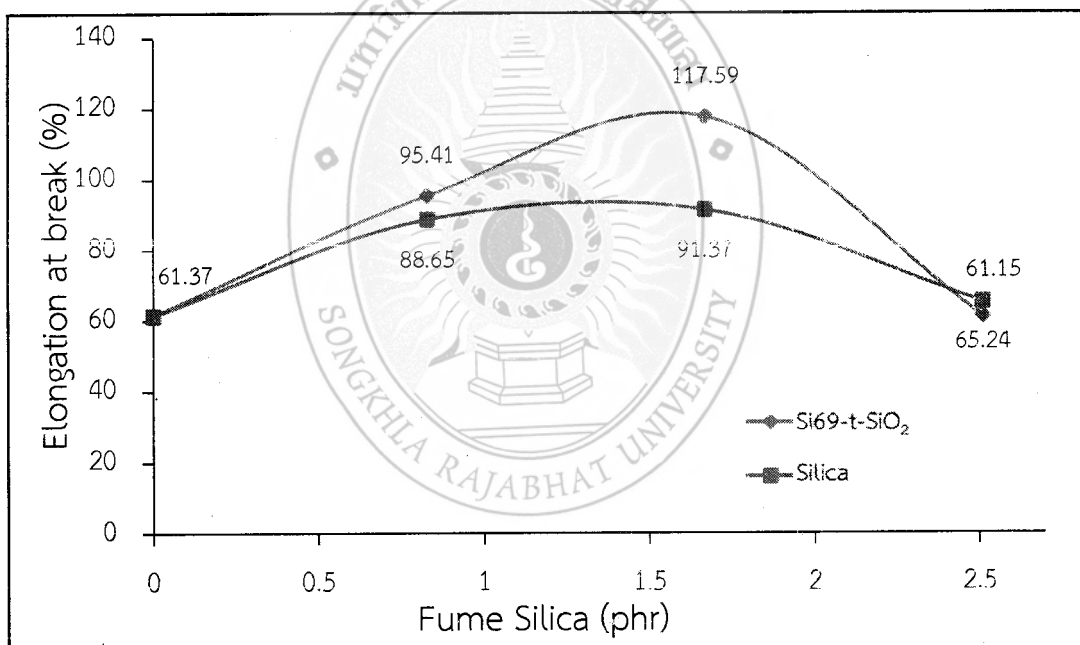
เมื่อปริมาณของ SiO_2 ที่ใช้ไม่ปรับสภาพผิวเพิ่มขึ้นทำให้ค่าการจัดตัวเนื่องจากแรงอัดของโพฟยางสูงขึ้น ในขณะที่การใช้ Si69-t-SiO_2 ทำให้ค่าจัดตัวเนื่องจากแรงอัดไม่เปลี่ยนแปลงมากนัก ทั้งนี้อาจเนื่องจากบริเวณผิวของซิลิกามีหมู่ไซเลนอล (silanol groups) สูง ทำให้มีอันตรกิริยาระหว่างอุนภาคซิลิกามีประดิษฐภาพสูง ซึ่งนำไปสู่การรวมตัว และการเกาะตัวของอนุภาคซิลิกาด้วยกันเอง เกิดเป็นก้อนอนุภาคฟูมซิลิกาขนาดใหญ่ แต่เมื่อทำการปรับสภาพผิวของฟูมซิลิกาด้วยสารคู่ควบคุมไซเดน Si69 ทำให้อุนภาคปฐมของฟูมซิลิกามีความหนาแน่นที่เกากันแตกออก และกลับเข้ามาร่วมเป็นก้อนขนาดใหญ่ได้ยากขึ้น เมื่อนำไปผสมกับยาง สารคู่ควบคุมไซเดน จะทำหน้าที่เป็นตัวกลาง เชื่อมโยงระหว่างสารตัวเติมกับยาง ทำให้เกิดอันตรกิริยาระหว่างยาง-สารตัวเติมมาก

ขึ้น (Kapgate & Das, 2014; Katueangngan et al., 2016; เชาว์, 2553) ส่งผลให้การจัดตัวเนื่องจากแรงอัดของโฟมยางที่ Si69 -t-SiO₂ มีค่าต่ำกว่าโฟมยางที่ใช้ SiO₂ ที่ยังไม่ปรับสภาพผิว

4.3.2 อิทธิพลของปริมาณฟูมซิลิกาที่มีต่อสมบัติต้านการดึง

ทำการศึกษาผลของโฟมยางในการแปรปริมาณฟูมซิลิกาที่ปริมาณต่างๆ โดยนำไปทดสอบความต้านทานต่อแรงดึงและค่าระยะยืดเมื่อยางขาด เพื่อหาค่าความต้านทานต่อ แรงดึงและระยะเมื่อยางขาดของโฟมยาง โดยใช้เครื่อง NRI Universal Testing Machine และทดสอบตามมาตรฐาน ASTM D3574

4.3.2.1 ความสามารถในการยืดจนขาด (elongation at break)

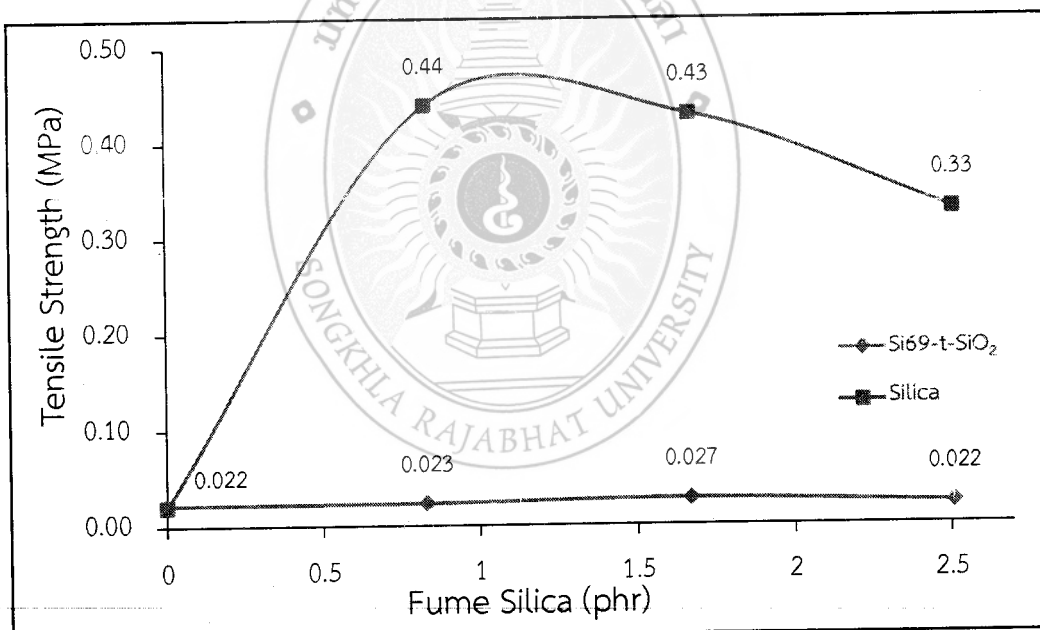


รูปที่ 4.13 อิทธิพลของปริมาณฟูมซิลิกาต่อความสามารถในการยืดจนขาดของโฟมยางที่ แปรปริมาณ Si69-t-SiO₂ 0, 0.83, 1.67 และ 2.51 phr

การเพิ่ม Si69-t-SiO₂ เข้าไปในผลิตภัณฑ์โฟมยางมีผลทำให้ความสามารถในการยืดจนขาดของโฟมยางมีแนวโน้มสูงขึ้นเมื่อปริมาณลดลงเมื่อมี Si69-t-SiO₂ มากกว่า 1.67 phr เนื่องจากมีลักษณะที่เป็นฟองอากาศจึงมีความเป็นรูพรุนเมื่อเติมสารตัวเติมในปริมาณที่สูงทำให้โฟมยางขาดได้ง่ายขึ้น นอกจากนี้พบว่าที่ปริมาณการใช้ฟูมซิลิกา 1.67 phr ให้ความสามารถในการยืดจนขาดของโฟมยางสูงที่สุดคือ 1.67 phr หากพิจารณาจากสัณฐานวิทยาของโฟมยางที่ผสม SiO₂ ที่ยัง

ไม่ปรับสภาพผิว (รูปที่ 4.16) ปริมาณของ SiO_2 ที่เพิ่มขึ้นส่างผลให้โฟมยางมีขนาดเซลล์ฟองเล็กลง และเมื่อเปรียบเทียบกับที่โฟมยางที่ผสม Si69-t-SiO_2 (รูปที่ 4.17) พบว่ามีขนาดเด็กกว่า ซึ่งขนาดของเซลล์ฟองอาจส่างผลให้โฟมยางที่ใส่ฟูมชิลิกาดีได้มากกว่า นอกจากนี้ การใช้สารคุ้มครองไว้ชลน Si69 ปรับสภาพผิวฟูมชิลิกา ทำให้มีอันตรายร้ายแรงกว่าสารตัวเติม-สารตัวเติมลดลง (Kapgate & Das, 2014; เชาวน์, 2553) ส่างผลให้อุณหภูมิที่เกิดจาก การเกาะกลุ่มกันของอนุภาคปูนฟูมชิลิกาแตกออกได้ง่ายขึ้น เมื่อทำเป็นดิสเพอร์สชัน และมีจุดอ่อนใน โฟมยางน้อยกว่า จึงทำให้โฟมยางที่ผสม Si69-t-SiO_2 สามารถยืดได้มาก และเมื่อเพิ่มปริมาณของ ดิสเพอร์สชันฟูมชิลิกาเพิ่มขึ้น ทำให้ความสามารถในการยืดสูงขึ้นกว่า โฟมยางที่ใช้ดิสเพอร์สชันฟูมชิลิกาปรับสภาพผิวด้วยสารคุ้มครองไว้ชลน

4.3.2.2 ความต้านทานต่อแรงดึง (tensile strength)



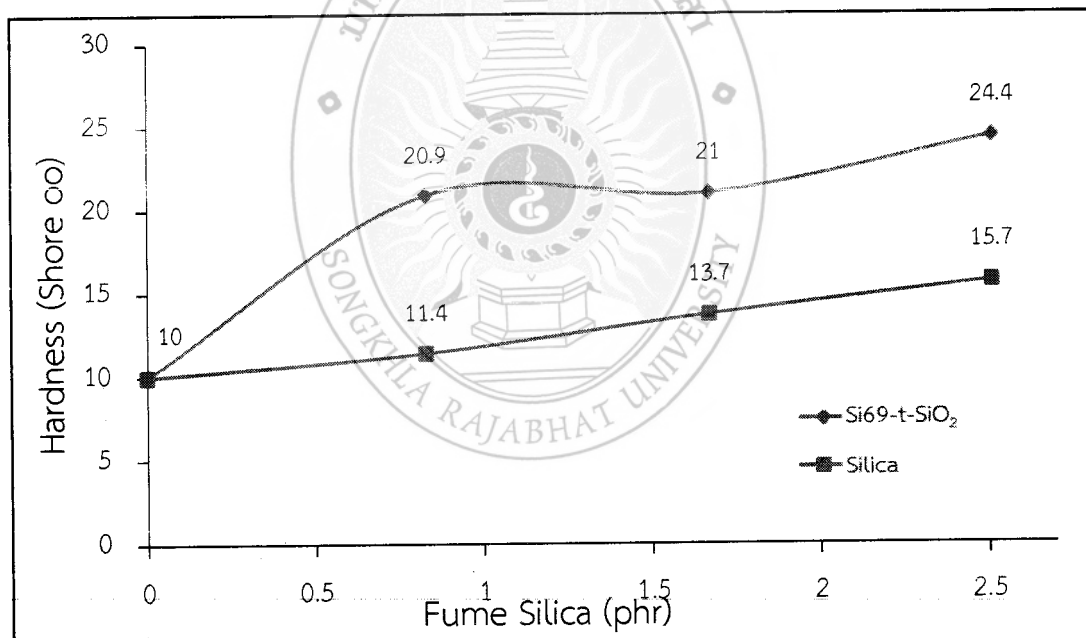
รูปที่ 4.14 อิทธิพลของปริมาณฟูมชิลิกาต่อความต้านทานต่อแรงดึงของโฟมยางที่ปรับปริมาณ Si69-t-SiO_2 0, 0.83, 1.67 และ 2.51 phr

การใช้ SiO_2 ที่ยังไม่ปรับสภาพผิว ทำให้ความต้านทานต่อแรงดึงสูงขึ้น โดยมีค่าสูงสุดที่ปริมาณ SiO_2 เท่ากับ 0.83 phr จากนั้นค่าความต้านทานต่อแรงดึงจะลดลง แต่ในขณะที่การใช้ Si69-t-SiO_2 เป็นสารตัวเติมใน โฟมยาง ไม่มีผลต่อความต้านทานต่อแรงดึง ซึ่ง หากพิจารณาจากสัณฐานวิทยาของ โฟมยางที่ผสม SiO_2 ที่ยังไม่ปรับสภาพผิว (รูปที่ 4.16) ปริมาณของ SiO_2 ที่เพิ่มขึ้นส่างผล

ให้โฟมยางมีขนาดเซลล์ฟองเล็กลงและเมื่อเปรียบเทียบกับที่โฟมยางที่ผสม Si69-t-SiO₂ (รูปที่ 4.17) พบว่ามีขนาดเล็กกว่า ซึ่งขนาดของเซลล์ฟองอาจส่งผลให้โฟมยางที่ใส่ SiO₂ ที่ยังไม่ปรับสภาพผิว มีความด้านทานต่อแรงดึงสูง แต่เมื่อปริมาณเพิ่มมากขึ้นค่าความด้านทานต่อแรงดึงจะลดลง ซึ่งอาจเกิดจากการมีปริมาณ SiO₂ ที่ยังไม่ปรับสภาพผิวสูงขึ้น ส่งผลให้มีจุดอ่อนในยางมากขึ้น ส่งผลให้ค่าความด้านทานต่อแรงดึงลดลง

4.3.3 อิทธิพลของปริมาณฟูมซิลิกาที่มีต่อสมบัติด้านความแข็งของโฟมยาง

ทำการศึกษาผลของโฟมยางในการแปรปริมาณฟูมซิลิกาที่ยังไม่ปรับสภาพผิวและปรับสภาพผิวด้วย Si69 ปริมาณต่างๆ โดยทดสอบสมบัติด้านความแข็ง เพื่อทดสอบความแข็งของโฟมยาง โดยใช้เครื่องทดสอบความแข็งหัวกด แบบ (Shore OO) และทดสอบตามมาตรฐาน ASTM D2240



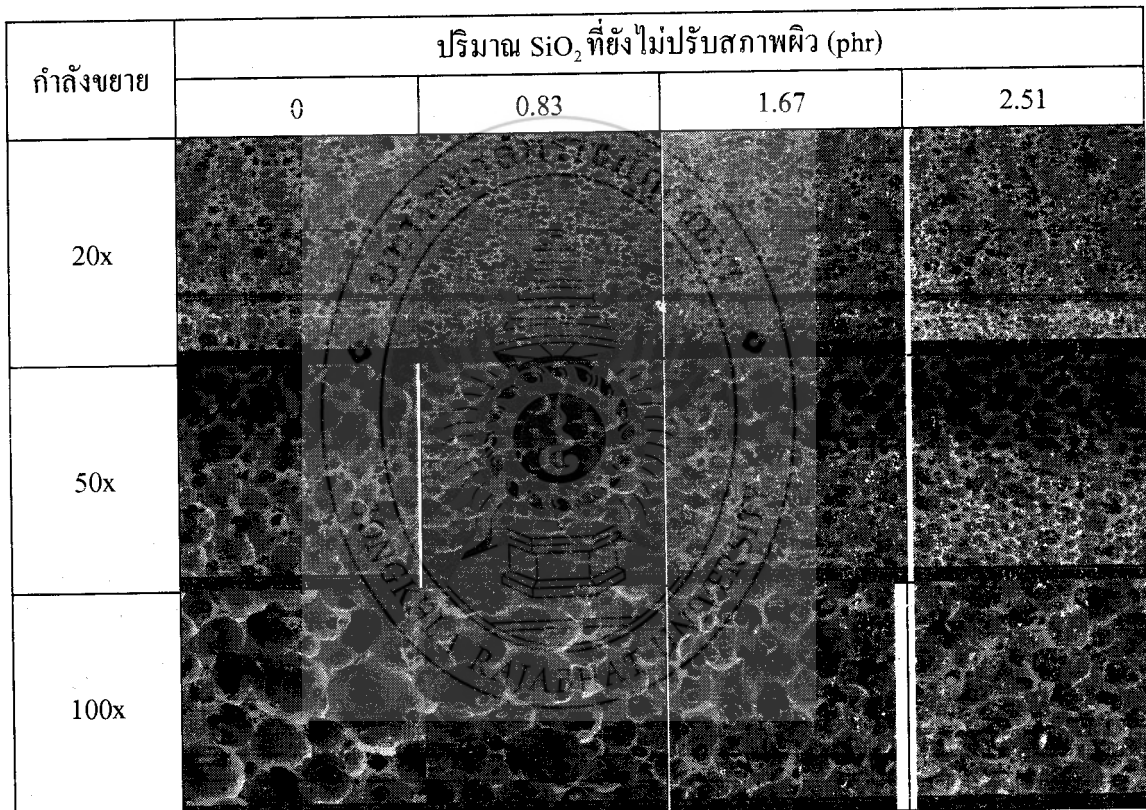
รูปที่ 4.15 อิทธิพลของปริมาณฟูมซิลิกาต่อความแข็งของโฟมยางที่แปรปริมาณ Si69-t-SiO₂ 0, 0.83, 1.67 และ 2.51 phr

การใช้ฟูมซิลิกาที่ปรับสภาพผิวด้วยสารคู่ควบไชเลน Si69 ทำให้ความแข็งต่ำกว่าการใช้ดิสเพอร์สชันฟูมซิลิกาที่ไม่ปรับสภาพผิว และเมื่อเพิ่มปริมาณของดิสเพอร์สชันค่าความแข็งเพิ่มขึ้น ตามปริมาณฟูมซิลิกาที่เพิ่มขึ้น ซึ่งสอดคล้องกับผลการทดลองของ (Alzoubi et al., 2011) ซึ่งศึกษาการใช้สารคู่ควบไชเลน ปรับสภาพผิวของถ้าลอย เพื่อนำมาเป็นสารตัวเติมในยางบิวตะไดอีน

นอกจากนี้ยังมี (เชawan, 2553) ที่รายงานถึงความแข็งของยางที่ใช้ซิลิกาปรับสภาพผิวด้วยสารกู้คืน ไซเลน มีค่ามากกว่าการใช้ซิลิกาที่ไม่ปรับสภาพผิว

4.3.4 อิทธิพลของปริมาณฟูมซิลิกา ที่มีต่อสมบัติทางสัณฐานวิทยาของโพเมยาง

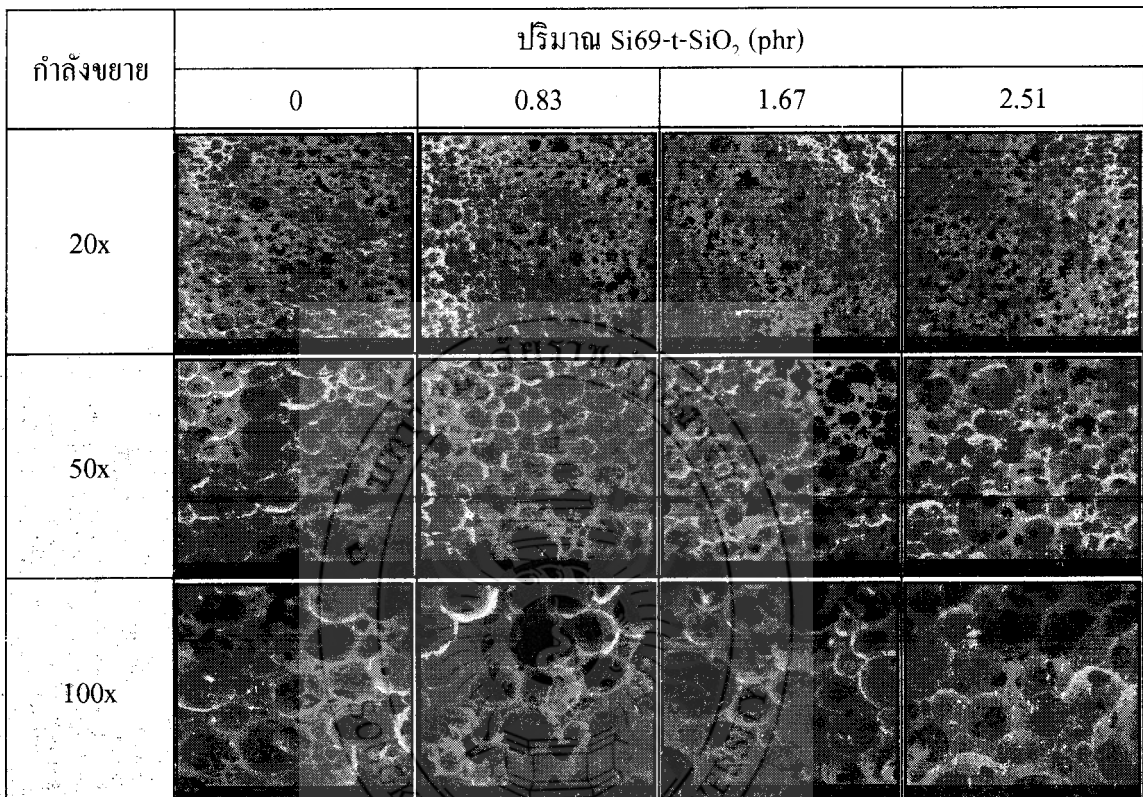
โพเมยางเครื่องไคจากน้ำยางธรรมชาติ มีลักษณะเป็นรูพรุน ซึ่งสัณฐานวิทยาของโพเมยาง มีความแตกต่างกันไปขึ้นอยู่กับ ขนาด รูปร่างของฟองอากาศที่เกิดขึ้นภายในโพเมยาง อธิบายได้ดังภาพด่อไปนี้



รูปที่ 4.16 ภาพขยายของโพเมยาง ด้วยกล้องจุลทรรศน์แบบส่องกราดที่มีกำลังขยาย 20x 50x และ 100x โดยการแปรปริมาณ SiO_2 0, 0.83, 1.67 และ 2.51 phr

จากรูปที่ 4.16 พบว่าที่ปริมาณของฟูมซิลิกาเพิ่มขึ้น ขนาดของฟองอากาศในโพเมยาง จะเล็กลงและมีปริมาณมากขึ้น เนื่องจากฟูมซิลิกามีขนาดของอนุภาคปฐมภูมิที่เล็กมาก แต่ สามารถเสริมแรงให้ยางมีความแข็งแรงมากขึ้น (พรพรรณ, 2528) ส่งผลให้ฟองอากาศใน โพเมยางขยายตัวได้ยากขณะตีฟอง จึงทำให้ขนาดของฟองเล็กลง

จากการเปรียบเทียบผลของปริมาณฟูมซิลิกาจากภาพขยายโฟมยางด้วยกล้องจุลทรรศน์แบบส่องกราดกับการขูดตัวถ่วงเนื่องจากแรงอัดของโฟมยาง พบร่วมกันว่าเมื่อปริมาณของฟูมซิลิกาเพิ่มขึ้น ขนาดของฟองอากาศโฟมยางเล็กลง มีปริมาณมากขึ้น



รูปที่ 4.17 ภาพขยายของโฟมยาง ด้วยกล้องจุลทรรศน์แบบส่องกราดที่มีกำลังขยาย 20x 50x และ 100x โดยการแปรปริมาณ Si69-t-SiO₂ 0, 0.83, 1.67 และ 2.51 phr

จากรูปที่ 4.17 พบร่วมกันว่าการที่ปริมาณของ Si69-t-SiO₂ เพิ่มขึ้น ขนาดของฟองอากาศในโฟมยางจะเล็กลง และมีความเป็นระเบียบมากขึ้น เนื่องจากฟูมซิลิกามีขนาดของอนุภาคปูนภูมิที่เล็กมาก แต่สามารถเสริมแรงให้ยางมีความแข็งแรงมากขึ้น ประกอบกับการปรับสภาพผิวฟูมซิลิกาด้วยสารคุณค่าวาใจเลน Si69 ทำให้ฟูมซิลิกาสามารถเกิดอันตรายร้ายแรงระหว่างยาง-สารตัวเติมได้ดีขึ้น (Alkadasi et al., 2004; Kapgate & Das, 2014; Yamazaki et al.; เชawan, 2553) ส่งผลให้ฟองอากาศในโฟมยางขยายตัวได้ยากขณะที่โฟมจึงทำให้ขนาดของฟองเล็กลง

บทที่ 5

สรุปและข้อเสนอแนะ

5.1 สรุปผลการทดลอง

ในการเตรียมดิสเพอร์สชันฟูมซิลิกา พบร่วงปริมาณของซิลิกาที่เพิ่มขึ้น ทำให้ดิสเพอร์สชันซิลิกา มีปริมาณของแข็งหักหมด และความหนืดเพิ่มขึ้น ในขณะที่ความหนาแน่น และค่า pH ลดลง ปริมาณแอมโมเนียในดิสเพอร์สชันซิลิกาที่เพิ่มขึ้นทำให้ปริมาณของแข็งหักหมด ความหนาแน่น pH แต่ความหนืดลดลง โดยพบว่าในการเตรียมดิสเพอร์สชันฟูมซิลิกา สภาวะที่เหมาะสมคือ ปริมาณ SiO_2 และแอมโมเนีย คือร้อยละ 25 และ 10 ตามลำดับ โดยใช้วัสดุамอัดร้อยละ 1 และน้ำกลั่นร้อยละ 64 บอลงมิกเป็นเวลา 72 ชั่วโมง สภาวะที่เหมาะสมในการเตรียมฟูมซิลิกาปรับสภาพผิวตัวยไซเลน Si69 ที่นำไปใช้ในโพฟเมยางและไหสูบติดที่ดี คืออุณหภูมิในการทำปฏิกิริยา 60 องศาเซลเซียส และปริมาณ Si69 ร้อยละ 5 โดยพบว่าที่อุณหภูมิปฏิกิริยาสูง ปริมาณ Si69 ที่เพิ่มขึ้น ส่งผลให้ความต้านทานต่อการดึงยึด และความสามารถในการยึดจันขาดเพิ่มขึ้น แต่ความต้านทานต่อแรงกด และค่าการจัดตัวเนื่องจากการอัดลดลง ในทางกลับกัน ที่อุณหภูมิในการทำปฏิกิริยาต่ำ เมื่อปริมาณของไซเลนเพิ่มขึ้น ทำให้ค่าความต้านทานต่อแรงกด และค่าการจัดตัวเนื่องจากการอัดมีค่าสูงขึ้น แต่ความต้านทานต่อการดึงยึด และความสามารถในการยึดจันขาดลดลง ค่ามีผลต่อการปรับสภาพผิวของซิลิกาเล็กน้อยดังจะเห็นได้จากการเปลี่ยนแปลงสูบติดทางฟิสิกส์ของโพฟเมยางที่ดีขึ้น เล็กน้อยในทุกสูบติด แต่ค่าความหนืดของดิสเพอร์สชันซิลิกาสูงขึ้น เมื่อปริมาณของดิสเพอร์สชันฟูมซิลิกาเพิ่มขึ้นและแอมโมเนียลดลง โดยดิสเพอร์สชันที่มีปริมาณฟูมซิลิกาต่ำที่สุด (ร้อยละ 20 โดยประมาณ) มีค่าความหนืดต่ำที่สุด ในขณะที่ดิสเพอร์สชันที่มีปริมาณฟูมซิลิกา สูงเกินไป (ร้อยละ 28 โดยประมาณ) พบร่วงความหนืดสูงเกินไปจนไม่สามารถวัดความหนืดได้ทำให้ในการศึกษาในครั้งนี้ ได้เลือกใช้ดิสเพอร์สชันที่มีปริมาณฟูมซิลิการ้อยละ 26 โดยประมาณ เพราะ มีความหนืดและปริมาณฟูมซิลิกาเหมาะสมในการนำไปใช้ในการทดสอบกับน้ำยางธรรมชาติเพื่อผลิตเป็นโพฟเมยาง จากการทดลองพบว่าปริมาณฟูมซิลิกาที่เพิ่มขึ้น ส่งผลให้ความแข็งและการจัดตัวการเรนเน่องจากการอัดเพิ่มขึ้นตามลำดับ แต่ความต้านทานต่อแรงดึงและความสามารถในการยึดจันขาดต่ำ และขนาดของฟองอากาศจะเล็กลงและมีปริมาณมากขึ้น การใช้ Si69-t-SiO_2 ในโพฟเมยาง ในปริมาณน้อย (0.8-2.5 phr) ไม่มีผลต่อการแปรรูปของโพฟเมยาง ขนาดของเซลล์โพฟเมยาง การจัดตัวเนื่องจากการการอัด และความต้านทานต่อการดึงยึด แต่ทำให้ความแข็ง และความสามารถในการยึดจันขาดเพิ่มขึ้น เล็กน้อย ซึ่งปริมาณ Si69-t-SiO_2 ที่เหมาะสมของ คือ 2.5 phr

5.2 ข้อเสนอแนะ

1. ศึกษาอิทธิพลปริมาณของฟูมซิลิกาเพื่อปรับระดับความแข็งของโฟมยาง เพื่อผลิตโฟมยางให้ได้ความแข็งตามที่ต้องการ เป็นการพัฒนาโฟมยางจากน้ำจากธรรมชาติโดยใช้ฟูมซิลิกาให้ดีขึ้นกว่าเดิม

2. เปลี่ยนชนิดสารตัวเติมจากซิลิกาเป็นสารตัวอื่น เช่น แคลเซียมคารบอนেตหรือสารจำพวกแป้งเพื่อเบร์ชบเที่ยบสมบัติทางเชิงกล และสมบัติทางสัณฐานวิทยาของโฟมยาง เพื่อเพิ่มทางเลือกให้แก่ผู้อุตสาหกรรมการผลิตโฟมยาง



บรรณานุกรม

ชินรัตน์ ลากพูดនะอนันต์. (2558). เทคโนโลยีการผลิตและทดสอบ ไฟฟายางจากน้ำยางธรรมชาติ.

เครื่องข่ายพัฒนาอุตสาหกรรมผลิตภัณฑ์ยางและไม้ยางพารา.

<https://www.shorturl.at/bmzAW>

ชาวน์ ศรีเพชรดี. (2553) การศึกษาการใช้ชีวิตรักษาสุขภาพในชนิดมีรูพรุน ที่สังเคราะห์จากถ่านแกลบ เพื่อเสริมแรงในยางธรรมชาติ โดยกระบวนการโซลเซล. มหาวิทยาลัยศิลปากร.

นครปฐม. DOI : https://doi.nrct.go.th>ListDoi/listDetail?Resolve_DOI=

ชาลินี ปรีชา และธิติกาญจน์ ชาติชนชาวน์. (2558). การเตรียมและสังบัดดิของไฟฟายางธรรมชาติที่ ประปริมาณ SSF และ DPG. วิทยานิพนธ์ปริญญาวิทยาศาสตรบัณฑิต, โปรแกรมวิชา เทคโนโลยียางและพอกดิเมอร์, คณะวิทยาศาสตร์และเทคโนโลยี. มหาวิทยาลัยราชภัฏ สงขลา. สงขลา.

น้ำยาง. (2015, มีนาคม 6). วิกิพีเดีย สารานุกรมเสรี. สืบค้นเมื่อ 18:00, มีนาคม 6, 2015 จาก <https://th.wikipedia.org/w/index.php?title=%E0%B8%99%E0%B9%89%E0%B8%B3%E0%A2%E0%B8%B2%E0%B8%87&oldid=5824294>

บุญธรรม นิธิอุทัย. (2532). ปฏิบัติการเทคโนโลยีน้ำยาง. คณะวิทยาศาสตร์และเทคโนโลยี. มหาวิทยาลัยสงขลานครินทร์ วิทยาเขตปัตตานี. ปี๓

พัชรินทร์ วรธนกุล. (2010). Sol-gel เทคโนโลยีสังเคราะห์ชีวิการจากชานอ้อย. วารสารส่งเสริม เทคโนโลยี, 36(209), 39–43.

พรพรรณ นิธิอุทัย. (2528). สารเคมีสำหรับยาง. คณะวิทยาศาสตร์และเทคโนโลยี. มหาวิทยาลัยสงขลานครินทร์ วิทยาเขตปัตตานี. ปี๓

พงษ์ธร แซ่ อุย. (2548). สารเคมียาง. สูญญ์เทคโนโลยีโลหะและวัสดุแห่งชาติ. สำนักงานพัฒนา วิทยาศาสตร์และเทคโนโลยีแห่งชาติ. กระทรวงวิทยาศาสตร์และเทคโนโลยี. ปทุมธานี.

วีระเดช พิณเสนานะ, ศิริพงษ์ จันทร์พุนทรพย, สมเจตน์ พัชรพันธ์ และ ณรงค์ฤทธิ์ สมบัติสมกพ. (2546). อิทธิพลของปริมาณสารตัวเติมชีวิตรักษาสุขภาพและสารตัวเติมผสมที่ มีต่อสมบัติของยางไฟฟายางธรรมชาติ. ใน เรื่องเติมการประชุมทางวิชาการของ มหาวิทยาลัยเกษตรศาสตร์ ครั้งที่ 41: สาขาวิศวกรรมศาสตร์และสาขาวิชาปัตยกรรม ศาสตร์ (น. 517-524). กรุงเทพฯ: สำนักงานกองทุนสนับสนุนการวิจัย.

บรรณานุกรม (ต่อ)

วรากรน์ ชร. ไชยกุล. (2555). เทคโนโลยีน้ำยาง. กรุงเทพฯ: สำนักงานกองทุนสนับสนุนการวิจัย.

สพดิยาฯ ไทย. (2557). สถาบันวิจัยยาง. สืบคืบเมื่อ 20 มีนาคม 2559, จาก

http://www.rubberthai.com/statistic/stat_index.htm

Alkadasi, N., Hundiwale, D., & Kapadi, U. (2004). Studies on the effect of silane coupling agent (2.0 per cent) on the mechanical properties of flyash filled polybutadiene rubber. *Journal of Scientific & Industrial Research*, 63, 603–609.

Alzoubi, M., Al-Waked, R., & Tanbour, E. (2011). Compression and Hysteresis Curves of Nonlinear Polyurethane Foams Under Different Densities, Strain Rates and Different Environmental Conditions. *Journal of Mechanical Engineering, Volume 9*, 101–109.
<https://doi.org/10.1115/IMECE2011-62290>

Brown, R. (2006). *Physical Testing of Rubber*. Springer Science & Business Media.

Dove, P.M. and Rimstidt, J.D. (1994). *Silica Water Interactions*. In Silica Reviews in Mineralogy. Mineral Society of America. 29, 259-307.

Wikipedia contributors. (2021, March 31). *Fumed silica*. In Wikipedia, The Free Encyclopedia. Retrieved 03:19, June 1, 2021, from
https://en.wikipedia.org/w/index.php?title=Fumed_silica&oldid=1015271283

Blomfield, G. A., & Little, L. H. (1973). Chemisorption of Ammonia on Silica. *Canadian Journal of Chemistry*, 51(11), 1771–1781. <https://doi.org/10.1139/v73-265>

Hosseini, S. M., & Razzaghi-Kashani, M. (2014). Vulcanization kinetics of nano-silica filled styrene butadiene rubber. *Polymer*, 55(24), 6426–6434.

<https://doi.org/10.1016/j.polymer.2014.09.073>

Hofmann, W. (1996). *Rubber technology handbook*. Munich: Hanser.

Julie Chandra, C. S., Bipinbal, P. K., & Sunil, K. N. (2017). Viscoelastic behaviour of silica filled natural rubber composites—Correlation of shear with elongational testing. *Polymer Testing*, 60, 187–197.

Kapgate, B. P., & Das, C. (2014). Filler–filler and rubber–filler interactions in nitrile rubber/silica composites. *Emerging Materials Research*, 3(1), 46–51.

บรรณานุกรม (ต่อ)

- Katueangngan, K., Tulyapitak, T., Saetung, A., Soontaranon, S., & Nithi-uthai, N. (2016). Renewable Interfacial Modifier for Silica Filled Natural Rubber Compound. *Procedia Chemistry*, 19, 447–454.
- Liu X., Zhao S., Zhang X., Li X. and Bai Y. (2014). Preparation, structure, and properties of solution-polymerized styrene-butadiene rubber with functionalized end-groups and its silica-filled composites. *Polymer*, 55(8), 1964–1976.
- Prasertsri S. and Rattanasom N. (2012). Fumed and precipitated silica reinforced natural rubber composites prepared from latex system: Mechanical and dynamic properties. *Polymer Testing*, 31(5), 593–605.
- Sarkawi S. S., Dierkes W. K. and Noordermeer J. W. M. (2013). The influence of non-rubber constituents on performance of silica reinforced natural rubber compounds. *European Polymer Journal*, 49(10), 3199–3209.
- Sae-Oui, P., Thepsuwan, U., & Hatthapanit, K. (2004). Effect of curing system on reinforcing efficiency of silane coupling agent. *Polymer Testing*, 23(4), 397–403.
- Bhagat, V. J. (2001). Behaviour of Expandable Graphite as a Flame Retardant in Flexible Polyurethane Foam. *Polyurethane Foam Association*, 1-17.
- Yamazaki R., Fujii S., Nakamura Y., & Nagata K. (2014). Mechanical Properties of Isoprene Rubber Filled with Surface Treated Calcium Carbonate with The Mixture of Two Silane Coupling Agents. *Journal of The Adhesion Society of Japan*, 50(4), 131–136.
<https://doi.org/10.11618/adhesion.50.131>
- Ziraki, S., Zebarjad, S. M., & Hadianfard, M. J. (2016). A study on the tensile properties of silicone rubber/polypropylene fibers/silica hybrid nanocomposites. *Journal of the Mechanical Behavior of Biomedical Materials*, 57, 289–296.
<https://doi.org/10.1016/j.jmbbm.2016.01.019>
- Zhang, Z.-X., Gao, C., Xin, Z. X., & Kim, J. K. (2012). Effects of extruder parameters and silica on physico-mechanical and foaming properties of PP/wood-fiber composites. *Composites Part B: Engineering*, 43(4), 2047–2057.
<https://doi.org/10.1016/j.compositesb.2012.01.047>

ภาคผนวก

ภาคผนวก ก	การเผยแพร่ผลงาน
ภาคผนวก ข	วิธีการทดสอบสมบัติของ SiO_2 และ $\text{Si}69\text{-t-SiO}_2$ และโพฟยาง
ภาคผนวก ค	สมบัติของสารเคมีที่ใช้ในการทดลอง
ภาคผนวก ง	ข้อมูลการทดลองการเตรียม $\text{Si}69\text{-t-SiO}_2$
ภาคผนวก จ	ข้อมูลการทดลองสมของโพฟยางที่ปรับปรุงสารตัวเติม
ภาคผนวก ฉ	ประวัติผู้ปฏิบัติการวิจัย



ภาคผนวก ก
การเผยแพร่ผลงาน

บทความวิชาการ

การประชุมวิชาการระดับชาติ ครั้งที่ 9 มหาวิทยาลัยราชภัฏนគรมปฐม
 “พัฒนางานวิจัย สร้างสรรค์คุณศึกษาไทย ก้าวไกลสู่ Thailand 4.0”

วันที่ 28 – 29 กันยายน 2560

ณ ห้องประชุมปืนเกลี้ยง อาคารศูนย์ภาษาและศูนย์คอมพิวเตอร์
 มหาวิทยาลัยราชภัฏนគรมปฐม อำเภอเมือง จังหวัดนគรมปฐม

ชื่อบทความ การใช้ฟูมซิลิกาในผลิตภัณฑ์โฟมยางที่ผลิตจากน้ำยาฆ่าเชื้อ
 ผู้เขียน อัษฎา ศักดา อาทีพิรุ๊ บุตรรา เอกฤกษ์ พุ่มนก และรัฐพงษ์ หนูหมาย

การประชุมวิชาการนำเสนอผลงานวิจัย ครั้งที่ 1

“นักคิด นักสร้างสรรค์ พัฒนานวัตกรรมสู่สังคม”

วันที่ 12-13 กุมภาพันธ์ พ.ศ. 2561

ณ ห้องโถง อาคาร 19 ชั้น 1

มหาวิทยาลัยราชภัฏนគรมราช อำเภอเมืองนគรมราชนครศีริธรรมราช จังหวัดนគรมราชนครศีริธรรมราช

ชื่อบทความ การใช้ฟูมซิลิกาที่ปรับสภาพพิเศษใช้แทนใน
 ผลิตภัณฑ์ โฟมยางที่ผลิตจากน้ำยาฆ่าเชื้อ
 ผู้เขียน เจริญ คำสิงโต จิรายุ ทองเชื้อ และเอกฤกษ์ พุ่มนก

วันที่ 28 – 29 กันยายน 2560
 ณ ห้องประชุมบีนแกลียา อาคารศูนย์ภาษาและศูนย์คอมพิวเตอร์
 มหาวิทยาลัยราชภัฏนราธิวาสราชนครินทร์ อำเภอเมือง จังหวัดนราธิวาส

ชื่อบทความ การใช้ฟุ่มซิลิกาในผลิตภัณฑ์ฟอยล์ที่ผลิตจากน้ำยาฆ่าเชื้อ
 ผู้เขียน อัษฎา ศิริภาดา อาทิตพิพัฒน์ บุตรรา เอกฤกษ์ พุ่มนก และรัฐพงษ์ หนูหมาย





ภาคผนวก ข

วิธีการทดสอบสมบัติของ SiO_2 และ Si69-t-SiO_2 และโฟมยาง

ข.1 การทดสอบปริมาณของแข็งทั้งหมด (total solid content)

ทำได้โดยชั่งน้ำหนักของงานแก้วให้ละเอียดถูกต้องถึง 0.0001 มิลลิกรัม น้ำหนักของงานแก้วเทปูมซิลิกาตัวอย่าง ไปประมาณ 2.5 ± 0.5 กรัม และบันทึกน้ำหนักของดิสเพอร์ชันฟูมซิลิกาตัวอย่าง เอียงงานไป-มาเพื่อให้ฟูมซิลิกากระจายทั่วงานแก้ว และนำงานแก้วไปอบแห้งที่ตั้งอุณหภูมิไว้แล้วที่ 100 ± 2 องศาเซลเซียส เป็นเวลา 2 ชั่วโมง เมื่อครบเวลาเอารอจากตู้อบแห้ง แล้วทิ้งไว้ให้เย็นลงในโถดุดความชื้นจนถึงอุณหภูมิห้องจากนั้นชั่งน้ำหนัก บันทึกน้ำหนักหลังการอบแห้งครั้งที่ 1 และทำซ้ำอีก 2 รอบ ผลต่างของน้ำหนักหลังการอบแต่ละครั้ง ควรจะแตกต่างกันไม่เกิน 1 มิลลิกรัม (ถ้าแตกต่างเช่นเดิมกิน 1 มิลลิกรัม นำไปอบแห้ง ทำให้เย็นและซ้ำซ้ำอีก จนกระทั่งผลต่างของน้ำหนักแตกต่างกันไม่เกิน 1 มิลลิกรัม) นำผลที่ได้มาคำนวณ ดังนี้

$$\text{การทดสอบปริมาณของแข็งทั้งหมด} = \frac{(C - A)}{(B - A)} \times 100$$

โดย A	=	น้ำหนักของงานแก้ว (กรัม)
B	=	น้ำหนักของงานแก้วกับฟูมซิลิกาตัวอย่าง (g)
C	=	น้ำหนักของงานแก้วกับฟูมซิลิกาที่แห้งแล้ว (g)

ข.2 การทดสอบค่า pH ฟูมซิลิกาที่ปรับสภาพผิวด้วย Si69

การทดสอบค่า pH โดยการนำตัวอย่างมาทดสอบด้วยเครื่องวัดค่า pH จะทำการทดสอบ 3 ครั้ง ต่อตัวอย่าง โดยจะรายงานผลด้วยค่ากลาง

ข.3 การทดสอบความหนืด viscosity ฟูมซิลิกาที่ปรับสภาพผิวด้วย Si69

โดยใช้เครื่อง (brookfield) ในการทดสอบโดยการเลือกแกนหมุน (spindle) ที่ต้องการมาต่อเข้ากับแกนกลางของเครื่องโดยใช้แกนหมุน (spindle) จุ่มลงในของเหลวจนระดับของเหลวอยู่ต่ำสุดของแกนหมุนพอดีปรับให้เครื่องอยู่ในระดับโดยดูที่ถูกน้ำ ปรับเลือกระดับความเร็วที่

ต้องการแล้วปิดสวิตซ์ เดินมอเตอร์เครื่อง ทดสอบความหนืด 3 ครั้ง บันทึกค่าความหนืดได้รายงานผลการทดสอบโดยใช้ค่ากลาง (ใช้ในภาคผนวก)

ข.4 การทดสอบการยุบตัวของโฟมยางที่เติมฟูมชีลิกาที่ปรับสภาพผิวด้วย Si69

การทดสอบหากการยุบตัวเนื่องจากแรงอัด (compression set) การทดสอบหากการยุบตัวเนื่องจากแรงอัด ทำได้โดยนำชิ้นทดสอบ ขนาดยาว (50 ± 1) มิลลิเมตร กว้าง (50 ± 1) มิลลิเมตร และหนา (25 ± 1) มิลลิเมตร มากดด้วยเครื่อง กดอัดให้มีความหนาลดลง 50% ของความหนาเดิม แล้วนำไปเข้าตู้อบที่อุณหภูมิ (70 ± 1) °C เป็นเวลา 22 ชั่วโมง นำออกจากตู้อบ แกะชิ้นทดสอบออกจากเครื่องกดอัด วางทิ้งไว้ 30 นาที แล้วจึงวัดความหนาของชิ้นทดสอบ คำนวณหากการยุบตัวคิดเป็นร้อยละของความหนาเดิม

$$\text{การยุบตัวเนื่องจากแรงอัด} = \frac{t_0 - t_1}{t_0 - t_s} \times 100$$

โดยที่ C_d คือ ระยะยุบตัวที่เปลี่ยนไปจากระยะยุบตัวเดิม (ครั้งหนึ่ง

ของ

ความหนาเดิม) หลังจากผ่านแรงอัดแล้ว (%)

t_0 คือ ความหนาเดิมของชิ้นทดสอบ (mm)

t_1 คือ ความหนาของชิ้นทดสอบที่เปลี่ยนแปลงหลังจากผ่านแรงอัดแล้ว (mm)

t_s คือ ความสูงของแท่งเหล็กกล้า (mm)

ข.5 การทดสอบแรงที่ทำให้ความหนาของโฟมยางที่เติมฟูมชีลิกาที่ปรับสภาพผิวด้วย Si69

เป็นการวัดแรงกดทั้งหมดที่ทำให้ความหนาของโฟมยางลดลงจากความหนาเดิม 25% ทำได้โดยนำชิ้นทดสอบขนาดไม่น้อยกว่า 100×50 มิลลิเมตร และมีความหนา (40 ± 1) มิลลิเมตร มาวางบนฐานรองรับของเครื่องทดสอบ จากนั้นเลื่อนแผ่นกด (indentor foot) ที่มีลักษณะกลมแบน มีพื้นที่ขนาด 50 ตารางนิ้ว) แตะบนชิ้นทดสอบ แล้วใช้แรง (preload) 400 นิวตัน กดลงบนชิ้นทดสอบ วัดความหนาเริ่มต้นของชิ้นทดสอบ จากนั้นเพิ่มแรงกดต่อไปจนความหนาลดลงจากความหนาเดิม 25% บันทึกแรงกดทั้งหมดเป็นหน่วยนิวตัน (ซึ่งรวมทั้งแรงกดเดิม 400 นิวตัน) รายงานผลด้วยค่ากลาง

๘.๖ การทดสอบสมบัติด้านการดึงของโพลีเมทิลไนโตรฟูโรฟอยาที่ปรับสภาพผิวด้วย Si69

ทดสอบสมบัติด้านการดึงตามมาตรฐาน ASTM D3574 โดยการ นำแผ่นโพลีเมทิลไนโตรฟูโรฟอยามาตรฐานที่มีขนาด 25.4×139.7 มิลลิเมตร วัดความหนาของชิ้นทดสอบ ๓ ชุด ให้ใช้ค่ากลางเป็นค่าความหนาของชิ้นทดสอบ แล้วทดสอบด้วยเครื่องทดสอบการดึง ใช้อัตราเร็วในการดึงชิ้นทดสอบ ๕๐๐ นิวตัน/วัตต์แรงดึงและระยะยืดแล้วนำไปคำนวณสมบัติต่างๆดังนี้

- 1) การทดสอบความต้านทานต่อแรงดึง (tensile strength, TS) การคำนวณความต้านทานต่อแรงดึงดังสูตรต่อไปนี้

$$\text{ความต้านทานต่อแรงดึง} = \frac{F}{A}$$

เมื่อ F = แรงที่ใช้ดึงทดสอบน้ำหนัก (N)
 A = พื้นที่หน้าตัดของชิ้นทดสอบก่อนการดึง (mm^2)

- 2) การทดสอบความสามารถในการยืด (elongation at break, EB) การคำนวณความสามารถในการยืดดังสูตรต่อไปนี้

$$\text{ความสามารถในการยืด} = \frac{L - L_0}{L_0} \times 100$$

เมื่อ L คือ ระยะห่างของรอยขีดบนชิ้นทดสอบขณะชิ้นทดสอบ (cm)
 L_0 คือ ระยะห่างของรอยขีดบนชิ้นทดสอบก่อนการดึง (cm)

๘.๗ การทดสอบความแข็ง (hardness, HD) ของโพลีเมทิลไนโตรฟูโรฟอยา

โดยการนำชิ้นทดสอบโพลีเมทิลไนโตรฟูโรฟอยาที่เตรียมไว้มาทดสอบความแข็งตามมาตรฐาน ASTM D2240 โดยใช้ชิ้นทดสอบ ๑ ชิ้นต่อตัวอย่างที่ทำการทดสอบ ทดสอบวัดความแข็ง ๕ ชุด รายงานผลโดยค่ากลาง

ข.8 การทดสอบโครงสร้างและสัณฐานวิทยาของโพมยาง

การทดสอบส่องกล้องด้วยกล้องจุลทรรศน์แบบส่องกราด (scanning electron microscopy, SEM) นำชิ้นทดสอบมาตัดให้เป็นชิ้นเล็กและบาง เพื่อศึกษาลักษณะทาง สัณฐานวิทยาบริเวณรอยแตกหักของชิ้นทดสอบ นำชิ้นทดสอบตัดตรงรอยขาดของชิ้นทดสอบที่ได้จาก การดึงติดบนแท่งโลหะจากนั้นนำยางไปเคลือบผิวด้วยทองโดย sputtering technique ก่อนที่จะ นำไปวิเคราะห์โดยใช้ เทคนิคจุลทรรศน์แบบส่องกราด (scanning electron microscopy, SEM)



ภาคผนวก ค
สมบัติของสารเคมีที่ใช้ในการทดสอบ

ตารางที่ ค. 1 ปริมาณของแข็งทั้งหมดของดิสเพอร์สชันของสารเคมีที่ใช้ในการเตรียมโพลีเมร์ (total solid content, TSC%)

chemicals	no.	%TSC	median
Sulphur	1	52.67	52.51
	2	52.51	
	3	52.30	
ZMBT	1	52.83	52.83
	2	53.91	
	3	16.91	
DPG	1	21.08	21.13
	2	21.13	
	3	21.05	
ZnO	1	51.39	52.54
	2	52.94	
	3	52.54	
ZDC	1	54.05	54.94
	2	54.94	
	3	62.15	
SSF	1	21.19	21.19
	2	20.08	
	3	25.61	

ตารางที่ ค.1 ปริมาณของแข็งทั้งหมดของดิสเพอร์สชันของสารเคมีที่ใช้ในการเตรียมโพลีเมย์ (total solid content, TSC%) (ต่อ)

chemicals	no.	%TSC	median
Silica	1	26.38	27.60
	2	27.69	
	3	27.60	

ตารางที่ ค.2 ความเป็นกรด – เบส ทั้งหมดของสารเคมี

สารเคมี	ครั้งที่	ค่า pH	ค่ากลาง
ZMBT	1	7.64	7.75
	2	7.75	
	3	7.81	
ZDC	1	7.85	7.94
	2	7.94	
	3	7.99	
DPG	1	10.33	10.39
	2	10.42	
	3	10.39	
SSF	1	4.86	4.77
	2	4.77	
	3	4.63	
ZnO	1	9.24	9.25
	2	9.25	
	3	9.33	
Sulphur	1	8.70	8.77
	2	8.83	
	3	8.77	

ตารางที่ ค.2 ความเป็นกรด – เบส ทั้งหมดของสารเคมี (ต่อ)

สารเคมี	ครั้งที่	ค่าpH	ค่ากลาง
potassium oleate	1	12.68	12.56
	2	12.53	
	3	12.56	

ตารางที่ ค.3 ปริมาณของเบสทั้งหมดของฟูมซิลิกาคิดิสเพอร์สเซ้นท์ทำการแปรปริมาณของฟูมซิลิกาที่ 10-25 phr และแอมโมเนีย 1-10 phr

สารเคมี	ครั้งที่	ค่าTSC (%)	ค่าเฉลี่ย (%)
ฟูมซิลิกา 25 phr	1	26.3144	26.3451
	2	26.3759	
ฟูมซิลิกา 10 phr	1	12.5184	12.5510
	2	12.5835	
ฟูมซิลิกา 10 phr	1	11.8087	11.8351
	2	11.8616	
ฟูมซิลิกา 25 phr	1	27.6703	27.6858
	2	27.7013	

ตารางที่ ค.4 ความเป็นกรด – เบส ของฟูมซิลิกาดิสเพอร์สชันที่ทำการแปรปริมาณของฟูมซิลิกา ที่ 10-25 phr และแอมโมเนียที่ 1-10 phr

สารเคมี	ครั้งที่	ค่า pH	ค่ากลาง
ฟูมซิลิกา 25 phr แอมโมเนีย 1 phr	1	8.24	8.24
	2	8.32	
	3	8.15	
ฟูมซิลิกา 10 phr แอมโมเนีย 1 phr	1	9.93	9.92
	2	9.92	
	3	9.88	
ฟูมซิลิกา 10 phr แอมโมเนีย 10 phr	1	11.00	11.04
	2	11.04	
	3	11.06	
ฟูมซิลิกา 25 phr แอมโมเนีย 10 phr	1	9.38	9.40
	2	9.44	
	3	9.4	

ตารางที่ ก.๕ ความหนืดของฟูมซิลิกาดิสเพอร์สชันที่ทำการแปรปริมาณของฟูมซิลิกาที่ 10-25 phr และแอมโมเนียที่ 1-10 phr

สารเคมี	รูปภาพ	การเปรียบเทียบ
ฟูมซิลิกา 25 แอมโมเนีย 1		มีลักษณะเป็นเหนียวหนืด และไม่เป็นสารละลาย หากความหนืดได้ โดยใช้วิธีเจือจางสารละลาย ความหนืด = 2.65×10^3 cps
ฟูมซิลิกา 25 แอมโมเนีย 10		มีลักษณะเป็นเหนียวหนืด ไม่มีการแยกชั้น ความหนืด = 2.02×10^3 cps
ฟูมซิลิกา 10 แอมโมเนีย 1		มีลักษณะเป็นเหนียวหนืด และสารกับน้ำยังไม่แยกชั้น กัน จึงหาความหนืดได้โดย ความหนืด = 1.05×10^3 cps
ฟูมซิลิกา 10 แอมโมเนีย 10		มีลักษณะเป็นเหนียวหนืด และสารกับน้ำยังไม่แยกชั้น กัน จึงหาความหนืดได้โดย ความหนืด = 851 cps

ภาคผนวก ๔

ข้อมูลการทดลองการเตรียม Si69-t-SiO₂

ตารางที่ ๔.๑ ขนาดอนุภาคของ Si69-t-SiO₂ วิเคราะห์ด้วยเครื่อง Zeta-potential

ตัวอย่างที่	ขนาดอนุภาค
1	200
2	210
เฉลี่ย	205

รูปที่ ๔.๑ ภาพ TEM ของ Si69-t-SiO₂



ตารางที่ 3.2 การทดสอบหาค่า pH ของ Si69-t-SiO₂

Si69/T %/ ^o C	pH			
	1	2	3	median
5/54	9.43	9.40	9.74	9.43
8.54/65	9.59	9.60	9.63	9.60
5/54	9.22	9.27	9.28	9.27
1.46/65	9.36	9.32	9.31	9.32
10/54	9.60	9.55	9.58	9.58
5/54	9.38	9.40	9.37	9.38
5/70	9.30	9.33	9.3	9.30
8.54/43	9.62	9.65	9.69	9.65
5/38	9.59	9.54	9.61	9.59
5/54	9.39	9.48	9.46	9.46
1.46/43	9.66	9.62	9.57	9.62
5/54	9.32	9.34	9.29	9.32
0/54	9.36	9.42	9.48	9.42

ตารางที่ 4.3 การทดสอบหาค่า viscosity ของ Si69-t-SiO₂

Si69/T %/ ^o C	viscosity (cps)			
	1	2	3	median
5/54	3.11x10 ³	3.06x10 ³	3.21x10 ³	3.11x10 ³
8.54/65	2.10x10 ³	2.04x10 ³	1.95x10 ³	2.10x10 ³
5/54	2.40x10 ³	2.35x10 ³	2.15x10 ³	2.35x10 ³
1.46/65	1.30x10 ³	1.29x10 ³	1.32x10 ³	1.30x10 ³
10/54	2.91x10 ³	2.90x10 ³	2.87x10 ³	2.90x10 ³
5/54	1.95x10 ³	1.90x10 ³	1.85x10 ³	1.90x10 ³
5/70	1.50x10 ³	1.45x10 ³	1.30x10 ³	1.45x10 ³
8.54/43	1.15x10 ³	1.05x10 ³	1.10x10 ³	1.10x10 ³
5/38	852	798	852	852
5/54	1.75x10 ³	1.80x10 ³	1.70x10 ³	1.75x10 ³
1.46/43	1.66x10 ³	1.80x10 ³	1.78x10 ³	1.78x10 ³
5/54	1.90x10 ³	1.75x10 ³	1.85x10 ³	1.85x10 ³
0/54	2.65x10 ³	2.70x10 ³	2.96x10 ³	2.70x10 ³

ตารางที่ ๔.4 ผลการทดสอบ compressive strength ของ Si69-t-SiO₂

Si-69/T %/ ^o C	Compressive strength (N)			
	1	2	3	median
5/54	54.43	57.28	56.17	56.17
8.54/65.31	48.77	50.7	46.49	48.77
5/54	47.09	53.56	40.16	47.09
1.46/65.31	74.54	65.96	53.37	65.96
10/54	47.04	58.53	51.09	51.09
5/54	56.92	51.68	64.83	56.92
5/70	65.95	69.13	67.53	67.53
8.54/42.69	70.37	89.94	62.29	70.37
5/38	63.14	81.23	53.43	63.14
5/54	66.37	73.42	77.15	73.42
1.46/42.69	61.21	58.89	48.02	58.89
5/54	49.78	48.86	42.26	48.86
0/54	33.47	35.09	32.84	33.47

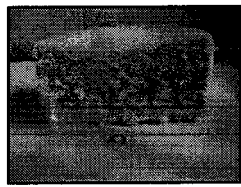
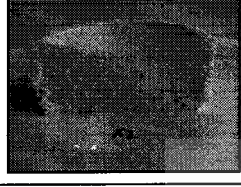
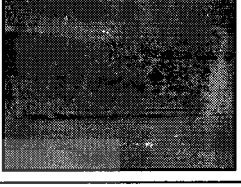
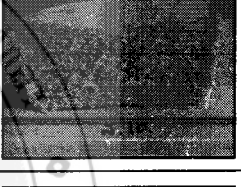
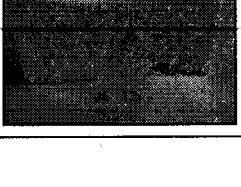
ตารางที่ 4.5 ผลการทดสอบ compression set ของ Si69-t-SiO₂

Si-69/T %/"C	thickness after (mm)			thickness before (mm)			compression set (%)			
	1	2	3	1	2	3	1	2	3	median
5/54	20.68	21.78	20.9	17.66	18.5	18	27.01	26.71	25.44	26.71
8.54/65.31	20.7	20.9	21.1	16.5	16.8	16.8	37.50	37.07	37.07	37.07
5/54	20.6	20.46	20	15.3	17.4	15.45	47.75	27.92	43.33	43.33
1.46/65.31	20.7	20.2	20.14	14.39	14.4	13.2	56.34	54.21	65.23	56.34
10/54	19.32	21.8	21.12	10.98	12.58	12	84.93	74.96	78.49	78.49
5/54	20.46	20.8	20.2	17.86	17.52	17.2	23.72	29.03	28.04	28.04
5/70	20.9	19.92	19.7	12.36	11.7	12	74.91	78.89	75.49	75.49
8.54/42.69	18.56	19.4	18.1	13	13.3	13	61.37	61.62	59.30	61.37
5/38	18.44	19.58	19.02	14.5	16	15.44	44.07	35.52	37.61	37.61
5/54	21.41	20.25	21.26	11.82	11.3	11.6	80.52	83.26	82.14	82.14
1.46/42.69	20.2	21.26	20.2	18.9	20.4	19.1	12.15	7.31	10.28	10.28
5/54	21	21	20.62	18.1	18.58	17.8	25.22	21.04	25.36	25.22
0/54	19.58	19.54	19.88	18	18.4	18.64	15.67	11.35	11.95	11.95

ตารางที่ 4.6 ผลการทดสอบ tensile strength และ elongation at break ของ Si69-t-SiO₂

Si69/T %/ ^o C	No	thickness (mm)	F (N)	TS (N/mm ²)	EB (%)	Si69/T %/ ^o C	No	thickness (mm)	F (N)	TS (N/mm ²)	EB (%)
5/54	1	8.31	25.28	0.12	85.85	8.54/43	1	8.09	19.54	0.10	69.16
	2	8.35	25.26	0.12	85.86		2	7.60	18.00	0.09	56.05
	3	8.27	28.12	0.14	93.15		3	7.91	18.65	0.09	57.96
8.54/65	1	8.52	28.22	0.13	91.33	5/38	1	7.56	20.37	0.11	63.63
	2	8.79	29.66	0.13	100.75		2	7.70	19.50	0.10	70.85
	3	8.30	30.67	0.15	104.73		3	7.37	21.05	0.11	72.66
5/54	1	7.40	14.96	0.08	0.00	5/54	1	9.98	35.21	0.14	48.73
	2	7.77	11.83	0.06	0.00		2	10.25	33.50	0.13	46.70
	3	7.44	12.18	0.07	0.00		3	9.98	35.63	0.14	50.45
1.46/65	1	7.99	13.55	0.07	48.58	1.46/43	1	8.27	11.35	0.05	31.92
	2	7.63	14.01	0.07	48.58		2	7.76	14.73	0.08	46.89
	3	7.66	13.68	0.07	50.40		3	7.53	11.25	0.06	35.52
10/54	1	7.72	23.01	0.12	107.99	5/54	1	7.76	32.54	0.17	124.79
	2	6.91	24.00	0.14	121.12		2	7.65	30.09	0.16	110.02
	3	7.41	20.08	0.11	87.60		3	7.54	32.06	0.17	147.22
5/54	1	8.02	19.79	0.10	74.55	0/54	1	7.62	31.11	0.16	113.72
	2	8.10	21.99	0.11	76.43		2	7.88	35.51	0.18	121.51
	3	7.76	18.94	0.10	70.81		3	7.85	32.8	0.17	115.52
5/70	1	7.68	21.16	0.11	87.79						
	2	7.67	21.01	0.11	93.32						
	3	7.82	22.97	0.12	100.67						

ตารางที่ ๔.7 ลักษณะตัวอย่างชิ้นทดสอบของโฟมยางที่เติม Si69-t-SiO₂

Si69/T %/ [°] C	form	nature	Si69/T %/ [°] C	form	nature
5/54		เกิดการบุบและกลวงค้านในฟองมีขนาดเล็ก	8.54/43		เกิดการบุบและกลวงค้านในฟองมีขนาดเล็ก
8.54/65		เกิดการบุบและฟองมีขนาดเล็กและอิ่ม	5/38		เกิดการบุบและกลวงค้านในฟองมีขนาดเล็ก
5/54		เกิดการบุบและกลวงค้านในเล็กน้อย ฟองมีลักษณะหยาบ	5/54		เกิดการบุบและกลวงค้านในเล็กน้อย ฟองมีขนาดเล็ก
1.46/65		เกิดการบุบและกลวงค้านในเล็กน้อย ฟองมีขนาดเล็ก	1.46/43		เกิดการบุบและกลวงค้านในเล็กน้อย ฟองมีขนาดเล็ก
10/54		เกิดการบุบและกลวงค้านในฟองมีขนาดเล็ก	5/54		เกิดการบุบและฟองมีขนาดเล็กและอิ่ม
5/54		เกิดการบุบและกลวงค้านในฟองมีขนาดเล็ก	0/54		เกิดการบุบและกลวงค้านในฟองมีขนาดไม่สม่ำเสมอ ก้อน
5/70		เกิดการบุบและฟองมีขนาดเล็กและอิ่ม			

ภาคผนวก จ

ข้อมูลการทดลองสมบัติของโพลีเมทธิลีไนโตรเจนที่เปลี่ยนรูปแบบสารตัวเติม

ตารางที่ จ.1 การเปรียบเทียบผลของปริมาณ SiO_2 และ Si69-t-SiO_2 ต่อสมบัติ Compression set

volume (phr)	no.	thickness after (mm)		thickness before (mm)		compression set (%)	
		SiO_2	Si69-t-SiO_2	SiO_2	Si69-t-SiO_2	SiO_2	Si69-t-SiO_2
	1	17.10	17.10	16.10	16.10	13.16	13.16
0	2	16.90	16.90	15.00	15.00	25.68	25.68
	3	17.10	17.10	16.20	16.20	11.84	11.84
	1	26.52	19.88	10.07	17.80	96.65	20.04
0.83	2	26.06	19.42	9.75	17.20	98.49	22.38
	3	25.99	19.78	9.84	17.55	97.94	21.69
	1	24.81	20.84	9.61	18.20	99.28	23.28
1.67	2	23.71	18.00	9.91	16.14	97.11	21.88
	3	23.99	20.40	10.06	18.58	96.14	16.70
	1	22.98	19.60	10.20	17.6	94.81	19.80
2.51	2	23.35	18.52	9.71	16.58	98.48	21.51
	3	23.58	19.46	9.63	16.38	99.08	30.92

ตารางที่ จ.2 ผลการทดสอบค่า Median ของสมบัติ compression set ที่ได้จากการปริมาณ SiO₂ และ Si69-t-SiO₂ 0, 0.83, 1.67 และ 2.51 phr

volume (phr)	compression set (%)	
	SiO ₂	Si69-t-SiO ₂
0	13.16	13.16
0.83	97.94	21.69
1.67	97.11	21.88
2.51	98.48	21.51

ตารางที่ จ.3 การเปรียบเทียบผลของปริมาณ SiO₂ และ Si69-t-SiO₂ ต่อสมบัติ tensile strength และ elongation at break

volume (phr)	tensile strength (N/mm ²)		elongation at break (%)	
	SiO ₂	Si69-t-SiO ₂	SiO ₂	Si69-t-SiO ₂
0	0.022	0.022	74.760	74.760
0.83	0.445	0.023	92.54	95.410
1.67	0.446	0.027	96.29	117.590
2.51	0.341	0.022	67.87	61.150

ตารางที่ จ.4 ผลการทดสอบค่า hardness (Shore OO) ของโพลีเมชันที่มีการแปรปริมาณ SiO_2 และ Si69-t-SiO_2 0, 0.83, 1.67 และ 2.51 phr

volume (phr)	hardness (Shore OO)	
	SiO_2	Si69-t-SiO_2
0	10.0	10.0
0.83	11.4	20.9
1.67	13.7	21.0
2.51	15.7	24.4

ตารางที่ จ.5 ลักษณะตัวอย่างชิ้นทดสอบที่แปรปริมาณ Si69-t-SiO_2 0, 0.83, 1.67 และ 2.51 phr

volume (phr)	form	nature
0		เกิดการยุบและ พองมีความหยาบ
0.83		เกิดการยุบ พองมีขนาดเล็ก

ตารางที่ จ.6 ลักษณะเนื้อฟอยล์ที่ผสม Si69-t-SiO₂ ในปริมาณ 0, 0.83, 1.67 และ 2.51 phr (ต่อ)

1.67		เกิดการยุบ พองมีขนาดเล็ก
2.51		เกิดการยุบ พองมีขนาดเล็กและอ่อนตัว



ภาคผนวก ฉ
ประวัติผู้ปฏิบัติการวิจัย

หัวหน้าโครงการวิจัย

1. ชื่อ - นามสกุล (ภาษาไทย) นาย. เอกฤกษ์ พุ่มนก
2. ชื่อ - นามสกุล (ภาษาอังกฤษ) Mr, Ekaroeck Phumnonk
3. เลขหมายบัตรประจำตัวประชาชน 3909900210111
4. ตำแหน่งปัจจุบัน อาจารย์

หน่วยงานและสถานที่อยู่ที่ติดต่อ ได้括弧 พร้อมหมายเลขโทรศัพท์ โทรสาร และไปร์เมีย
อีเล็กทรอนิกส์ (e-mail)

คณะวิทยาศาสตร์และเทคโนโลยี มหาวิทยาลัยราชภัฏสงขลา ถ.กาญจนวนิช ต.เขารูปช้าง อ.
เมือง จ.สงขลา 90000 โทรศัพท์ 074-336949 E-mail ekaroeck.ph@skru.ac.th

5. ประวัติการศึกษา

วุฒิการศึกษา วิศวกรรมศาสตร์มหาบัณฑิต สาขาวิชา วิศวกรรมเครื่อง

6. สาขาวิชาการที่มีความชื่นชอบพิเศษ (แต่งต่างจากวุฒิการศึกษา) ระบุสาขาวิชาการ
เทคโนโลยียางและพอลิเมอร์

ประสบการณ์ที่เกี่ยวข้องกับการบริหารงานวิจัยทั้งภายในและภายนอกประเทศ โดยระบุ
สถานภาพในการทำการวิจัยว่าเป็นผู้อำนวยการแผนงานวิจัย หัวหน้าโครงการวิจัย หรือผู้ร่วมวิจัย
ในแต่ละผลงานวิจัย

หัวหน้าโครงการวิจัย :

1. หัวโครงการวิจัย “ปัจจัยในการเตรียมมาตรฐานเตอร์แบนท์เข้ม่าคำจากสภาวะน้ำย่างโดยใช้
น้ำยางสด”
2. หัวโครงการวิจัย “การเตรียมมาตรฐานเตอร์แบนท์เข้ม่าคำและทดสอบความคงทนของเน็ตจาก
สภาวะน้ำย่างโดยใช้น้ำยางสด”

ผู้ร่วมวิจัย 1

1. ชื่อ - นามสกุล (ภาษาไทย) นายรัฐพงษ์ หนุมานด
2. ชื่อ - นามสกุล (ภาษาอังกฤษ) Mr, Rattapong Numard
3. เลขหมายบัตรประจำตัวประชาชน 1910600004287
4. ตำแหน่งปัจจุบัน อาจารย์

5. หน่วยงานและสถานที่อยู่ที่ติดต่อได้สะดวก พร้อมหมายเลขโทรศัพท์ โทรสาร และไปรษณีย์ อิเล็กทรอนิกส์ (e-mail)
6. คณะวิทยาศาสตร์และเทคโนโลยี มหาวิทยาลัยราชภัฏสงขลา ถ.กาญจนวนิช ต.เข้ารูปช้าง อ.เมือง จ.สงขลา 90000 โทรศัพท์ 074-336949 E-mail rattapong.nu@skru.ac.th
7. ประวัติการศึกษา
8. วุฒิการศึกษา วิทยาศาสตรบัณฑิต สาขาวิชา วิทยาศาสตร์และเทคโนโลยีพอลิเมอร์
9. สาขาวิชาการที่มีความชำนาญพิเศษ (แตกต่างจากวุฒิการศึกษา) ระบุสาขาวิชาการ
10. เทคโนโลยียางและพอลิเมอร์
11. ประสบการณ์ที่เกี่ยวข้องกับการบริหารงานวิจัยทั้งภายในและภายนอกประเทศ โดยระบุ สถานภาพในการทำ การวิจัยว่าเป็นผู้อำนวยการแผนงานวิจัย หัวหน้าโครงการวิจัย หรือผู้ร่วม วิจัยในแต่ละผลงานวิจัย
หัวหน้าโครงการวิจัย :

 1. งานวิจัยที่เสร็จสิ้นแล้ว: ชื่อโครงการวิจัย “การศึกษาน้ำมันปาล์มคัดแปลงเป็นสารเสริม ประสิทธิภาพพลาสติกใน PVC”
 2. งานวิจัยที่กำลังทำ: “การเตรียมและสมบูรณ์เชิงกลของไม้เชิงประกอบจากขวดน้ำที่ใช้ แล้ว กับผงไม้ไผ่พารา ทุนวิจัยคณะวิทยาศาสตร์และเทคโนโลยี มหาวิทยาลัยราชภัฏ สงขลา และสถานภาพในการทำวิจัย งานที่ได้ดำเนินการเสร็จสิ้นแล้ว ประมาณร้อย ละ 80 ของงานทั้งหมด

ผู้ร่วมวิจัย 2

1. ชื่อ - นามสกุล (ภาษาไทย) นางวรรณฤดี หมื่นพล
2. ชื่อ - นามสกุล (ภาษาอังกฤษ) Mrs. Wanrudee Munchpol
3. เลขหมายบัตรประจำตัวประชาชน 3940700337039
4. ตำแหน่งปัจจุบัน นักวิทยาศาสตร์
5. หน่วยงานและสถานที่อยู่ที่ติดต่อได้สะดวก พร้อมหมายเลขโทรศัพท์ โทรสาร และไปรษณีย์ อิเล็กทรอนิกส์ (e-mail)
6. คณะวิทยาศาสตร์และเทคโนโลยี มหาวิทยาลัยราชภัฏสงขลา ถ.กาญจนวนิช ต.เข้ารูปช้าง อ.เมือง จ.สงขลา 90000 โทรศัพท์ 074-336949 E-mail [wanrudee.me@skru.ac.th](mailto>wanrudee.me@skru.ac.th)
7. ประวัติการศึกษา
8. วุฒิการศึกษา วิทยาศาสตรบัณฑิต สาขาวิชา เทคโนโลยียางและพอลิเมอร์

9. สาขาวิชาการที่มีความชำนาญพิเศษ (แตกต่างจากวุฒิการศึกษา) ระบุสาขาวิชาการ
10. เทคโนโลยีข้างและพอลิเมอร์
11. ประสบการณ์ที่เกี่ยวข้องกับการบริหารงานวิจัยทั้งภายในและภายนอกประเทศ โดยระบุสถานภาพในการทำงานวิจัยว่าเป็นผู้อำนวยการแผนงานวิจัย หัวหน้าโครงการวิจัย หรือผู้ร่วมวิจัยในแต่ละผลงานวิจัย

ผู้ร่วมวิจัย

1. งานวิจัยที่กำลังทำ : ชื่อโครงการวิจัย “การเตรียมและสมบูรณ์เชิงกลของไนท์เริง ประกอบจากขวดน้ำที่ใช้แล้ว กับผงไม้ยางพารา ทุนวิจัยคณะวิทยาศาสตร์และเทคโนโลยี มหาวิทยาลัยราชภัฏสังขละ คณะสถานภาพในการทำงานวิจัย งานที่ได้ดำเนินการเสร็จสิ้นแล้ว ประมาณร้อยละ 80 ของงานทั้งหมด

ผู้ช่วยวิจัย 1

1. ชื่อ - นามสกุล (ภาษาไทย) นางสาวอัสมา ศิริกานต์
2. ชื่อ - นามสกุล (ภาษาอังกฤษ) Ms. Asma Sigakarn
3. เลขหมายบัตรประจำตัวประชาชน ๑๕๑๗๘๐๐๔๒๖๐๓
4. ตำแหน่งปัจจุบัน นักศึกษา
5. หน่วยงานและสถานที่อยู่ที่ติดต่อได้สะดวก พร้อมหมายเลขอุตสาหกรรม โทรคัพท์ โทรสาร และไปรษณีย์ อีเมลทอนิกส์ (e-mail)
6. คณะวิทยาศาสตร์และเทคโนโลยี มหาวิทยาลัยราชภัฏสังขละ ต.กาญจนวนิช ต.เขาวูปช้าง อ.เมือง จ.สangklaburi 90000 โทรคัพท์ 074-336949 E-mail -
7. ประวัติการศึกษา
8. วุฒิการศึกษา วิทยาศาสตรบัณฑิต สาขาวิชา เทคโนโลยีข้างและพอลิเมอร์
9. สาขาวิชาการที่มีความชำนาญพิเศษ (แตกต่างจากวุฒิการศึกษา) ระบุสาขาวิชาการ
 - เทคโนโลยีข้างและพอลิเมอร์

ผู้ช่วยวิจัย 2

1. ชื่อ - นามสกุล (ภาษาไทย) นางสาวอาตีฟะ บุตรา
2. ชื่อ - นามสกุล (ภาษาอังกฤษ) Ms. Atifa Sigakarn
3. เลขหมายบัตรประจำตัวประชาชน ๑๕๑๗๘๐๐๔๒๖๐๓

4. ตำแหน่งปัจจุบัน นักศึกษา
5. หน่วยงานและสถานที่อยู่ที่ติดต่อได้สะดวก พร้อมหมายเลขโทรศัพท์ โทรสาร และไปรษณีย์ อิเล็กทรอนิกส์ (e-mail)
6. คณะวิทยาศาสตร์และเทคโนโลยี มหาวิทยาลัยราชภัฏสงขลา ถ.กาญจนวนิช ต.เขารูปช้าง อ.เมือง จ.สงขลา 90000 โทรศัพท์ 074-336949 E-mail -
7. ประวัติการศึกษา
8. วุฒิการศึกษา วิทยาศาสตรบัณฑิต สาขาวิชา เทคโนโลยียางและพอลิเมอร์
9. สาขาวิชาการที่มีความชำนาญพิเศษ (แตกต่างจากวุฒิการศึกษา) ระบุสาขาวิชาการ
 - เทคโนโลยียางและพอลิเมอร์

